

# 法政大学学術機関リポジトリ

## HOSEI UNIVERSITY REPOSITORY

PDF issue: 2025-05-10

### Bifidobacterium longum との共培養で発現する大腸菌プロモーターの同定

田村, 正典 / TAMURA, Masanori

---

(発行年 / Year)

2011-03-24

(学位授与年月日 / Date of Granted)

2011-03-24

(学位名 / Degree Name)

修士(工学)

(学位授与機関 / Degree Grantor)

法政大学 (Hosei University)

2010 年度 修士論文

***Bifidobacterium longum* との共培養で発現する  
大腸菌プロモーターの同定**

Identification of *E. coli* promoter induced in co-culture with  
*Bifidobacterium longum*.

指導教官 山本 兼由

法政大学大学院工学研究科

物質化学専攻修士課程

学生証番号 09R2113

田村 正典

## <略語>

ACed	autoclaved
AI	autoinducer
Amp	ampicillin
<i>Bifido.</i>	<i>Bifidobacterium</i>
<i>B. adolescentis</i>	<i>Bifidobacterium adolescentis</i>
<i>B. angulatum</i>	<i>Bifidobacterium angulatum</i>
<i>B. bifidum</i>	<i>Bifidobacterium bifidum</i>
<i>B. catenulatum</i>	<i>Bifidobacterium catenulatum</i>
<i>B. dentium</i>	<i>Bifidobacterium dentium</i>
<i>B. kashiwanohense</i>	<i>Bifidobacterium kashiwanohense</i>
<i>B. longum</i>	<i>Bifidobacterium longum</i> subsp. <i>longum</i>
<i>B. pseudolongum</i>	<i>Bifidobacterium pseudolongum</i> subsp. <i>pseudolongum</i>
<i>B. scardovii</i>	<i>Bifidobacterium scardovii</i>
<i>B.</i> sp. HM5-2	<i>Bifidobacterium</i> sp. HM5-2
bp	base pair(s)
BPB	Bromophenol blue
CFU	colony forming unit
CM	conditioned medium
ddH <sub>2</sub> O	double distilled water
DEPC	diethylpyrocarbonate
DNA	deoxyribonucleic acid
DNase	deoxyribonuclease
dNTP	deoxynucleoside triphosphate
<i>E. coli</i>	<i>Escherichia coli</i>
EDTA	ethylenediaminetetraacetic acid
EGFP	Enhanced GFP
EtBr	ethidium bromide
EtOH	ethanol
FITC	fluorescein-4-isothiocyanate
GFP	green fluorescent protein
Gly	glycine
LB	Luria-Bertani
MW	molecular weight
NaOAc	sodium acetate
OD	optical density

PAGE	polyacrylamide gel electrophoresis
PCR	polymerase chain reaction
PhOH	phenol
PPT	promoter project team
PTA	phosphotungstic acid
RNA	ribonucleic acid
RNase	ribonuclease
rpm	revolutions per minute
SDS	sodium dodecyl sulfate
Ser	serine
TCS	two component system
TE	Tris-EDTA
TEM	Transmission Electron Microscope
Tris	tris(hydroxymethyl) amino methane
Tyr	tyrosine

## ＜目次＞

	頁
第1章 序論 .....	1
第2章 実験材料と方法 .....	5
2-1. 汎用試薬 .....	5
2-1-1. ABCM 液体培地 .....	5
2-1-2. BL 寒天培地 .....	5
2-1-3. LB 液体培地 .....	5
2-1-4. LB 寒天培地 .....	5
2-1-5. 100 mg/mL Amp .....	6
2-1-6. 0.1 M CaCl <sub>2</sub> .....	6
2-1-7. 0.1% DEPC water .....	6
2-1-8. 0.5 M EDTA(pH8.0) .....	6
2-1-9. 70% EtOH .....	6
2-1-10. 60% Glycerol .....	6
2-1-11. 5 N HCl .....	7
2-1-12. H <sub>2</sub> O 飽和 PhOH .....	7
2-1-13. 5 N NaOH .....	7
2-1-14. 1 M NaOAc .....	7
2-1-15. 3 M NaOAc .....	7
2-1-16. 1% PTA .....	7
2-1-17. 10% SDS .....	7
2-1-18. Solution A .....	8
2-1-19. 50X TAE buffer .....	8
2-1-20. 1X TAE buffer .....	8
2-1-21. 10X TBE buffer .....	8
2-1-22. 1.2X TBE buffer .....	8
2-1-23. TE 飽和 PhOH .....	8
2-1-24. 0.1 M Tris-HCl(pH 8.0 at 4°C) .....	9
2-1-25. 0.5 M Tris-HCl(pH 8.0 at 4°C) .....	9
2-2. 細菌株 .....	9
2-3. プラスミドとプライマー .....	9
2-4. 大腸菌とビフィズス菌の純粋培養 .....	10

2-5. 大腸菌とビフィズス菌の共培養における増殖曲線と pH の測定 .....	11
2-6. CFU/mL による液体培養液中の生菌数の測定 .....	11
2-7. 大腸菌及びビフィズス菌の培養上清による CM 調製 .....	11
2-8. 透過型電子顕微鏡による細菌細胞の観察 .....	12
2-9. PPT クローンの作製 .....	12
2-10. 蛍光プレートリーダーによる大腸菌細胞内の GFP 蛍光強度の測定 .....	17
2-10-1. BioTek 製 PL600 による GFP 蛍光強度の測定 .....	17
2-10-2. コロナ電気製 MTP-880 による GFP 蛍光強度の測定 .....	17
2-11. フローサイトメトリーによる大腸菌細胞内の GFP 蛍光強度の測定 .....	17
2-12. PPT クローンを用いたプライマー伸長法による転写開始点の決定 .....	17
<b>第3章 結果 .....</b>	<b>21</b>
3-1. 大腸菌 W3110 と各種ビフィズス菌の形態、生育及びコロニー形成 .....	21
3-1-1. 形態 .....	21
3-1-2. 増殖曲線と培養液 pH .....	23
3-1-3. コロニー形成 .....	26
3-2. 大腸菌 W3110 と各種ビフィズス菌の共培養 .....	26
3-2-1. 共培養時の増殖曲線と培養液 pH .....	26
3-2-2. 定常期共培養液中の生菌数 .....	30
3-2-3. 共培養実験の総括 .....	32
3-3. <i>B. longum</i> との共培養で発現する大腸菌プロモーター .....	32
3-3-1. <i>B. longum</i> との共培養定常期に発現する大腸菌プロモーター .....	32
3-3-2. ビフィズス菌培養上清で発現する大腸菌プロモーター .....	37
3-3-2-1. <i>B. longum</i> の培養上清で発現する大腸菌プロモーター .....	37
3-3-2-2. 他種ビフィズス菌培養上清で発現する大腸菌プロモーター .....	38
3-3-2-3. 熱処理した細菌培養上清で発現する大腸菌プロモーター .....	39
3-3-3. <i>B. longum</i> との共培養後早期に発現する大腸菌プロモーター .....	41
3-3-3-1. <i>B. longum</i> との共培養後早期に発現する大腸菌プロモーター .....	41
3-3-3-2. <i>proX</i> プロモーターの転写開始点の決定 .....	44
3-3-3-3. <i>rpoS, beaSR, cpxAR</i> の <i>proX</i> プロモーター発現への影響 .....	46
<b>第4章 考察 .....</b>	<b>48</b>

4-1. 大腸菌 W3110 と各種ビフィズス菌の共培養で形成される細菌叢 .....	48
4-2. <i>B. longum</i> と共存時の大腸菌の応答機構 .....	48
<b>第5章 参考文献 .....</b>	<b>51</b>
<b>第6章 謝辞 .....</b>	<b>53</b>

## 第1章 序論

大腸菌はグラム陰性の通性嫌気性桿菌で分子生物学の分野でモデル生物として最も研究が行われてきた生物種である。大腸菌 K-12 株ゲノムはおよそ 4.6 Mbp の環状 DNA であり、そのゲノム上には 4453 の遺伝子がコードされている (Fig. 1, Table 1)(Blattner et al., 1997; Riley et al., 2006)。そのうち現在までに 2825 の遺伝子について実験的に機能が証明されている。また実験的証明はなされていないが 1157 の遺伝子について、その DNA 配列から機能が予測されている。しかし残りの 471 の遺伝子については全くの機能未知である。大腸菌遺伝子研究は長年行われているにもかかわらず、未だ全体の 10 %以上の遺伝子の機能が未知のままである。遺伝子の全貌解明に至らない要因の一つとして、実験室における実験環境の自然界からの乖離が考えられる。本来、自然界で細菌は様々な環境中に生育しており、その菌体は絶えず化学的・物理的・生物学的な外的作用を受けている。その外的作用に対し、ゲノム上に内包される多数の遺伝子の中から適応する為の遺伝子を選択的に発現することで生存している。しかし、今日まで行われている大腸菌遺伝子研究のほとんどが純粋培養系であり、また大腸菌が増殖しやすい環境を整えた実験系による解析である。この実験環境と自然環境の乖離が機能未解明な遺伝子が多く存在している要因と考えられる。

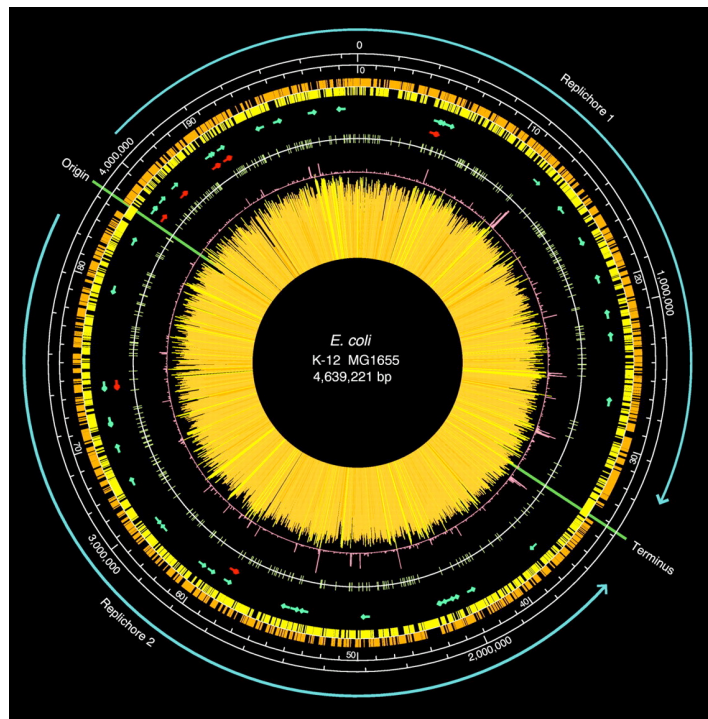


Fig. 1. 大腸菌 K-12 株のゲノム

全長 4,639,221 bp の環状 DNA である。Blattner et al., 1997 から引用

Table 1. 大腸菌 K-12 株ゲノムにおける遺伝子の分類

Gene type	Experimental	predicted
Enzyme	1094	390
Transporter	337	254
Regulator	241	164
Membrane	43	210
Factor	150	60
Structural component	89	37
Carrier	77	42
RNA	156	
Lipoprotein	46	
Cell process	56	
Leader peptide	11	
Pseudogenes in common	74	
Site ( <i>oriC</i> )	1	
Phage/IS in common (including 15 pseudogenes)	304	
Partial information	146	
Unknown function		471
Total	2825	1628 4453

Riley et al., 2006 から引用

近年、Quorum sensing (QS)と称され細菌細胞間コミュニケーションの存在が報告された。この QS システムでは細菌が autoinducer(AI)と呼ばれる細菌性ホルモン分子を介した細菌間コミュニケーションをとっている。このシステムでは細菌は AI を一定量菌外へ放出しており、周囲の細菌の存在密度が低い状態だと AI 濃度は低いままであるが、細菌の存在密度が上昇すればそれに伴い AI 濃度も上昇する。細菌はこの AI の環境中濃度を感知することで周囲の細胞密度を認識し、細胞密度によって自身の遺伝子発現を変化させ、発光物質の産生やバイオフィルムの形成などの挙動を示す。(Fig. 2)(Miller and Bassler, 2001)。最初に QS の存在が報告されたのは *Vibrio fischeri* における菌の増殖に伴う蛍光物質の産生である(Nealson et al., 1970)。その後、大腸菌、緑膿菌、ブドウ球菌などで同様のシステムの存在が報告された。QS を引き起こす AI にはいくつか種類があり、*Vibrio fischeri* や緑膿菌など多くのグラム陰性菌は N-acyl homoserine lactone(AI-1)を産生している(Miller and Bassler, 2001)。さらに同じ菌種でも acyl 基の炭素数の異なる複数種の AI-1 を産生している。この AI-1 には一旦菌体外へ出た後、再び菌体内に入りターゲット遺伝子のレギュレーターと結合することで遺伝子の発

現を調節するものと、菌体表層での two-component system(TCS)を介したシグナル伝達によりターゲット遺伝子の発現を調節するタイプがある。この AI-1 は主にグラム陰性菌間でのコミュニケーションを媒介している。またブドウ球菌などのグラム陽性菌間では短鎖ペプチドを介した QS が報告されている(Miller, M., and Bassler, B., 2001)。短鎖ペプチドは TCS を介したシグナル伝達によりターゲット遺伝子の発現を調節している。さらに大腸菌や *Vibrio harveyi* は AI-1 とは異なる AI-2 と称される furanosyl borate diester を產生している(Sperandio et al., 2003)。AI-2 は細胞の TCS を介したシグナル伝達によりターゲット遺伝子の発現を調節している。AI-2 の前駆体である 4,5-dihydroxy-2,3-pentanedione の合成は LuxS により行われるが、この LuxS をコードする *luxS* 遺伝子はグラム陰性菌、グラム陽性菌に保存されている(Bassler and Losick, 2006)。これらのことからグラム陰性菌-グラム陽性菌間のコミュニケーションを媒介している。以上のように QS システムは様々な細菌に存在しており、細菌は集団で互いにコミュニケーションを取り社会的に秩序をもって生息していることが示唆している。

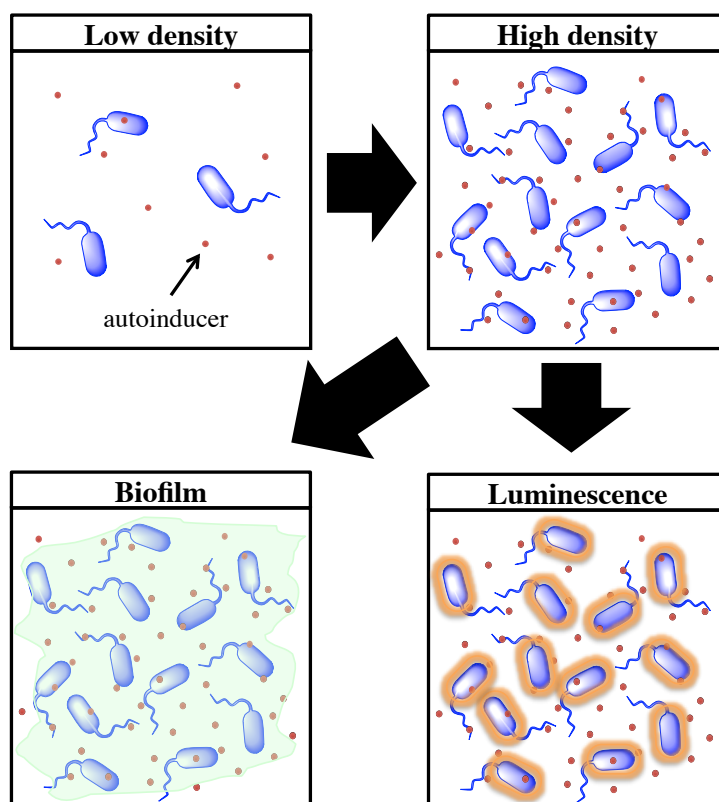


Fig. 2. クオラムセンシングシステムの概要

細菌細胞が低密度では AI 濃度は低い状態だが、細菌が増殖し高密度になると AI 濃度も上昇する。AI 濃度が閾値を超えると、特定の遺伝子発現を誘導し、バイオフィルムの形成や発光現象などが起きる。

大腸菌はその名の通り、自然界では主に動物腸内に生息している細菌である。動物腸内には大腸菌の他にもビフィズス菌、乳酸菌、連鎖球菌といった様々な腸内細菌が多数生息しており、それらが互いに影響し合い腸内フローラを形成している（青木 露 2004）。多数の細菌が生息している動物腸内では QS を含む積極的な細菌間コミュニケーションシステムが働いていることが考えられる。

数多く存在する腸内細菌の中でも大腸菌と同様に動物大腸に多く生息する細菌としてビフィズス菌が挙げられる。ビフィズス菌はグラム陽性菌の偏性嫌気性桿菌である。また桿菌とされるが不定形の細菌であり、二つに分岐するような形をとることがある（Fig. 3）。ビフィズス菌は多数の動物の腸内、胃、虫歯、糞便からも単離されており、ヒト由来のビフィズス菌は現在 9 種類 (*Bifidobacterium adolescentis*, *Bifidobacterium angulatum*, *Bifidobacterium bifidum*, *Bifidobacterium breve*, *Bifidobacterium catenulatum*, *Bifidobacterium infantis*, *Bifidobacterium longum*, *Bifidobacterium parvulorum*, *Bifidobacterium pseudocatenulatum*) が単離されている。

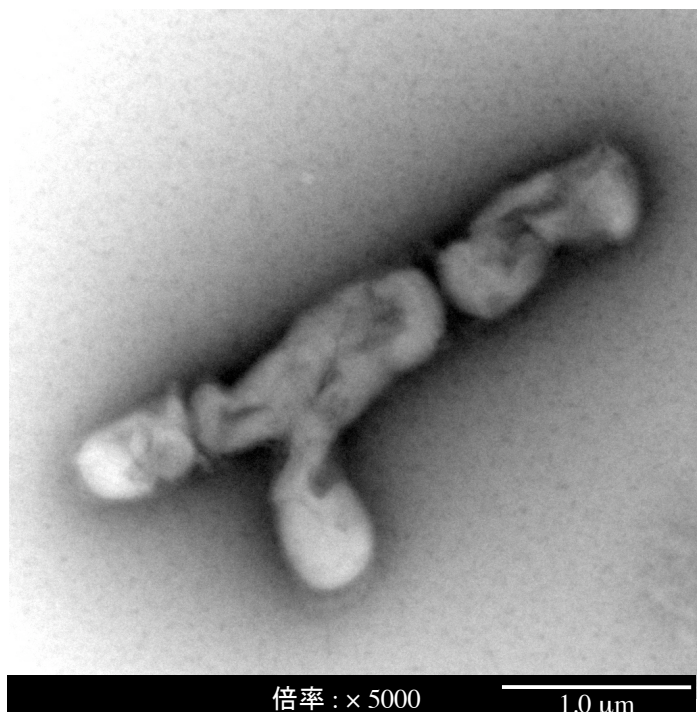


Fig. 3. *B. longum* の透過型電子顕微鏡写真

本研究では今まで行われてきた実験室環境よりも自然環境に近い腸内環境を想定したビフィズス菌との共培養系で実験を行うことで、未知であった大腸菌遺伝子の機能解明を目指すとともに、新たな細菌間コミュニケーションシステムの解明を目標とした。

## 第2章 実験材料と方法

### 2-1. 汎用試薬

#### 2-1-1. ABCM 液体培地

1L の ddH<sub>2</sub>O に対し ABCM BROTH(栄研化学製)を 42 g の割合で溶解させ、ガラスのメジューム瓶にいれオートクレーブにて 121°C で 21 分滅菌し、常温で保存した。必要に合わせて 100 mg/mL の Amp 溶液を終濃度 100 µg/mL で添加して使用した。抗生物質を添加した際の培地の使用期限は 1 ヶ月とし、また 4°C で保存した。

#### 2-1-2. BL 寒天培地

1L の ddH<sub>2</sub>O の入ったフラスコに BL AGAR(栄研化学製)を 60 g 溶解させ、オートクレーブにて 121°C で 21 分滅菌し、50°C 程度まで冷却した。冷却後、5 vol% の割合で馬脱纖維血液(日本バイオテスト研究所製)を添加し、よく混合してからシャーレに 20 mL 程度ずつ分注して冷却した。培地が固化したらシャーレ内の結露を乾燥させてから袋に入れ 4°C で保存した。この寒天培地の使用期限は 2 ヶ月とした。

#### 2-1-3. LB 液体培地

BACTO TRYPTON(DIFCO)を 10 g, BACTO YEAST EXTRACT(DIFCO)を 5g, NaCl を 10g, 5 N NaOH を 0.75 mL を ddH<sub>2</sub>O に溶解し全容量を 1L に入れ、ガラスのメジューム瓶にいれオートクレーブにて 121°C で 21 分滅菌し、常温で保存した。必要に合わせて 100 mg/mL の Amp 溶液を終濃度 100 µg/mL で添加して使用した。抗生物質を添加した際の培地の使用期限は 1 ヶ月とし、4°C で保存した。

#### 2-1-4. LB 寒天培地

BACTO TRYPTON(DIFCO)を 10 g, BACTO YEAST EXTRACT(DIFCO)を 5g, NaCl を 10g, BACTO AGAR(DIFCO)を 15 g, 5 N NaOH を 0.75 mL を 1L の ddH<sub>2</sub>O の入ったフラスコに加え混合し、オートクレーブにて 121°C で 21 分滅菌し、60°C 程度まで冷却した。ここで必要に合わせて 100 mg/mL の Amp 溶液を終濃度 100 µg/mL で添加した。冷却後、シャーレに 20 mL 程度ずつ分注して冷却した。培地が固化したらシャーレ内の結露を乾燥させてから袋に入れ 4°C で保存した。抗生物質を添加した際の培地の使用期限は 1 ヶ月とした。

## **2-1-5. 100 mg/mL Amp**

15 mL のチューブ(IWAKI 製)にアンピシリンナトリウムを 1 g 計り入れ、そこに ddH<sub>2</sub>O をチューブの目盛りの 10 mL まで入れて完全に溶解する。次に溶解液を 10 mL のシリンジ(テルモ製)とΦ0.22 mm の Cellulose Acetate フィルター(DISMIC 製)を使いフィルター滅菌して新しい 15 mL チューブに移し、4°C で保存した。使用期限は 1 ヶ月とした。

## **2-1-6. 0.1 M CaCl<sub>2</sub>**

80 mL 程度の ddH<sub>2</sub>O を入れたビーカーに CaCl<sub>2</sub>·H<sub>2</sub>O を 14.7 g 入れスターラーで攪拌し溶解させた。溶解後、メスシリンダーに溶液を移し、ddH<sub>2</sub>O を加えて全容量を 100 mL にした。ガラス瓶に移し、オートクレーブにて 121°C、21 分の滅菌を行い、その後 4°C で保存した。

## **2-1-7. 0.1% DEPC water**

ガラス瓶に 1 L の ddH<sub>2</sub>O を入れ、そこに DEPC を 1 mL 加え瓶を密栓してよく混合してから 2 時間以上常温で放置した。瓶のふたを少しゆるめてからオートクレーブにて 121°C、21 分の処理を行い未反応分の DEPC を分解揮発させた。オートクレーブ後は常温で保存した。

## **2-1-8. 0.5 M EDTA(pH 8.0)**

ビーカーに入った 350 mL 程度の ddH<sub>2</sub>O に EDTA 2Na·2H<sub>2</sub>O を 93.06 g 加え、スターラーで攪拌しながら pH メーターで pH の測定を始めた。5 N NaOH を溶液中の個体が全て溶けてさらに pH が 8.0 になるまで加えた。メスシリンダーに移し ddH<sub>2</sub>O を加え全容量を 500 mL にした。その後、ガラス瓶に移しオートクレーブにて 121°C で 21 分滅菌し、4°C で保存した。

## **2-1-9. 70% EtOH**

メスシリンダーに EtOH を 70 mL 入れ、ddH<sub>2</sub>O で全容量を 100 mL とした。ガラス瓶で常温保存した。

## **2-1-10. 60% Glycerol**

メスシリンダーに 60 mL の Glycerol を入れ、ddH<sub>2</sub>O を加え全容量を 100 mL にした。その後、ガラス瓶に移しオートクレーブにて 121°C、21 分の滅菌を行

い、その後 4°C で保存した。

#### 2-1-11. 5 N HCl

12 N HCl をメスシリンダーで 40 mL 計り取り、ddH<sub>2</sub>O の入ったビーカーに加えていき全量を 96 mL にする。ガラス瓶に入れ常温で保存した。

#### 2-1-12. H<sub>2</sub>O 鮑和 PhOH

50 mL のチューブに結晶 PhOH を 50 mL の目盛りまで入れ、そこに 0.1% DEPC water をチューブの 50 mL の目盛りまで加え、60°C の恒温槽で溶解させた。その後、水相と PhOH 相が完全に分離するまで 4°C で放置した。保存も 4°C で行った。

#### 2-1-13. 5 N NaOH

粒状 NaOH を終濃度 5 M となるよう ddH<sub>2</sub>O に溶解し、プラスチック容器に入れ常温で保存した。

#### 2-1-14. 1M NaOAc

ビーカーに入った 400 mL 程度の ddH<sub>2</sub>O に NaOAc を 41 g 加え溶解した後、メスシリンダーに移し全容量が 500 mL なるまで ddH<sub>2</sub>O を加えた。ガラス瓶に移し、オートクレーブにて 121°C で 21 分滅菌し、4°C で保存した。

#### 2-1-15. 3 M NaOAc

ビーカーに入った 400 mL 程度の ddH<sub>2</sub>O に NaOAc を 123 g 加え溶解した後、メスシリンダーに移し全容量が 500 mL なるまで ddH<sub>2</sub>O を加えた。ガラス瓶に移し、オートクレーブにて 121°C で 21 分滅菌し、4°C で保存した。

#### 2-1-16. 1% PTA

15 mL のチューブに入った 8 mL の ddH<sub>2</sub>O に PTA(nacalai tesque)を 0.1 g 溶解させ、pH メーターで pH を測定しながら 5N NaOH で pH 7.0 に調製し、その後チューブの目盛りで 10 mL まで ddH<sub>2</sub>O を加え混合して 4°C で保存した。

#### 2-1-17. 10% SDS

ビーカーに入った 450 mL 程度の ddH<sub>2</sub>O に SDS を 50 g 溶解させた後、ddH<sub>2</sub>O

で全容量を 500 mL にしガラス瓶に移して常温で保存した。

#### **2-1-18. Solution A**

ガラス瓶に 455 mL の 0.1% DEPC water、10 mL の 0.5 M EDTA(pH 8.0)、10 mL の 1 M NaOAc、を加えオートクレーブにて 121°C で 21 分滅菌し常温まで冷却した後、25 mL の 10% SDS を加え混合し、常温で保存した。

#### **2-1-19. 50X TAE buffer**

ビーカーに 500 mL 程の ddH<sub>2</sub>O 入れ、Tris を 242 g、Acetic acid を 57.1 mL、0.5 M EDTA(pH 8.0)を 100 mL を加え完全に溶解してから、メスシリンドーに移し ddH<sub>2</sub>O を加えて全容量を 1 L にした。溶液をガラス瓶に移し常温で保存した。

#### **2-1-20. 1X TAE buffer**

メスシリンドーに 50× TAE を 20 mL を入れ、ddH<sub>2</sub>O で全容量を 1 L にした。常温で保存した。

#### **2-1-21. 10X TBE buffer**

ビーカーに 800 mL 程の ddH<sub>2</sub>O 入れ、Tris を 108 g、Boric acid を 55 g、0.5 M EDTA(pH 8.0)を 40 mL を加え完全に溶解してから、メスシリンドーに移し ddH<sub>2</sub>O を加えて全容量を 1 L にした。溶液をΦ 0.22 mm フィルター(IWAKI)にて濾過してゴミを取り除いてからガラス瓶に移し常温で保存した

#### **2-1-22. 1.2X TBE buffer**

メスシリンドーに 10× TBE を 120 mL を入れ、ddH<sub>2</sub>O で全容量を 1 L にした。常温で保存した。

#### **2-1-23. TE 飽和 PhOH**

アルミニウム箔で遮光したビーカーに結晶 PhOH を 500 g、8-hydroxyquinoline を 0.5 g、0.5 M Tris-HCl(pH 8.0 at 4°C)を 500 mL 入れ結晶 PhOH が溶解するまで 60°C の恒温槽内においていた。結晶 PhOH 溶解後、4°C まで冷却し、スターラーで 30 分程度攪拌混合して PhOH 相に Tris-HCl を溶け込ませた。その後一晩 4°C で放置して PhOH 相と水相を完全に分離し、水相をアスピレーターで吸引し除去した。次に再び 0.5 M Tris-HCl(pH 8.0 at 4°C)を 500 mL 入れスターラーで 30 分程

度攪拌混合し PhOH 相に Tris-HCl を溶け込ませた。pH メーターで溶液の pH を測定し、pH 7.8 以上であることを確認した。pH 7.8 以下だった場合は一晩 4°C で放置して PhOH 相と水相を完全に分離し、水相をアスピレーターで吸引し除去してから 0.1 M Tris-HCl(pH 8.0 at 4°C)を 500 mL 入れスターラーで 30 分程度攪拌混合した。pH 7.8 以上であることが確認できたら一晩 4°C で放置して PhOH 相と水相を完全に分離し、水相をアスピレーターで吸引除去し残った PhOH 相をガラス製の遮光瓶に移し、0.1 M Tris-HCl(pH 8.0 at 4°C)を PhOH 相を覆うまで加えた。最後に PhOH 相と加えた 0.1 M Tris-HCl(pH 8.0 at 4°C)の合計体積に対し、終濃度 1 mM となるよう 0.5 M EDTA (pH 8.0)を添加しよく混合した後 4°C で保存した。

#### 2-1-24. 0.1 M Tris-HCl (pH 8.0 at 4°C)

ビーカーに入った 700 mL 程度の ddH<sub>2</sub>O に Tris を 12.11 g 加えスターラーで攪拌して溶解させた。大きめの容器に氷水を作り、そこにビーカーを置きスターラーで回しながら冷却し、pH メーターで pH と温度を測定しながら、4°C で pH 8.0 になるよう 5N HCl で調整した。その後、溶液の全量を ddH<sub>2</sub>O で 1 L にしてガラス瓶に移し、オートクレーブにて 121°C で 21 分滅菌し、4°C で保存した。

#### 2-1-25. 0.5 M Tris-HCl (pH 8.0 at 4°C)

ビーカーに入った 700 mL 程度の ddH<sub>2</sub>O に Tris を 60.55 g 加えスターラーで攪拌して溶解させた。大きめの容器に氷水を作り、そこにビーカーを置きスターラーで回しながら冷却し、pH メーターで pH と温度を測定しながら、4°C で pH 8.0 になるよう 5N HCl で調整した。その後、溶液の全量を ddH<sub>2</sub>O で 1 L にしてガラス瓶に移し、オートクレーブにて 121°C で 21 分滅菌し、4°C で保存した。

### 2-2. 細菌株

本研究では大腸菌 K-12 株と 11 種類のビフィズス菌株を使用した。用いた全ての細菌株を Table 2 に示す。

### 2-3. プラスミドとプライマー

本研究で用いたプラスミドとプライマーを Table 3 に示す。PPT クローンは 904 種類の大腸菌プロモーターが GFP をレポーター遺伝子として持つ pGRP ベクターにクローニングされたセットである (Makinoshima et al., 2002)。全 PPT クローンのプラスミド及び構築に用いたプライマーは Table S1(巻末に付則)に示す。

Table 2. 使用した菌株

Strain	Characterization or Source	Institute No. or Reference
<i>Escherichia</i>		
<i>E. coli</i> W3110	F, λ, IN(rrnD-rrnE)1	Jishage & Ishihama, 1997
<i>E. coli</i> DH5a	F, Φ80dlacZΔM15, Δ(lacZYA-argF)U169, deoR, recA1, endA1, hsdR17(rK <sup>r</sup> , mK <sup>r</sup> ), phoA, supE44, λ, thi-	Takara
<i>E. coli</i> BW25113	Δ(arad-arab)567, ΔlacZ4787(:rrnB-3), λ, rph-1, Δ(rhaD-rhaB)568, hsdR514	Haldman & Wanner, 2001
<i>E. coli</i> BW27553	BW25113, Δ(baeS-baeR)579	Zhou et al., 2003
<i>E. coli</i> BW27559	BW25113, Δ(cpxA-cpxR)623	Oshima et al., 2002
<i>E. coli</i> JW5437	BW25113, ΔrpoS	Baba et al., 2006
<i>Bifidobacterium</i>		
<i>B. adolescentis</i>	Intestine of adult	ATCC 15703
<i>B. angulatum</i>	Human feces	ATCC 27535
<i>B. bifidum</i>	Feces of breast-fed infant	ATCC 29521
<i>B. catenulatum</i>	Human feces	ATCC 27539
<i>B. dentium</i>	Dental caries	ATCC 27534
<i>B. kashiwanohense</i>	Faeces of healthy infant	JCM 15439 <sup>r</sup>
<i>B. longum</i> subsp. <i>longum</i>	Intestine of adult	ATCC 15707
<i>B. pseudocatenulatum</i>	Feces of infant	ATCC 27919
<i>B. pseudolongum</i> subsp. <i>pseudolongum</i>	Swine feces	ATCC 25526
<i>B. scardovii</i>	Human blood, Sweden	ATCC BAA-773
<i>B. sp.</i> HM5-2		

Table 3. 主に使用したプラスミド及びプライマー

Name	Characterization and Sequence
Plasmid	
pGRP	gfp reporter vector
pGRN104	pGRP, yjbJ-gfp
pGRK252	pGRP, proX-gfp
pGRH313	pGRP, ygiT-gfp
Primer	
Anti-EGFP	5'-AGGGTCAGCTTGCGTAGG-3'
EGFP-anti-FITC	5'-AGGGTCAGCTTGCGTAGG-3'

#### 2-4. 大腸菌とビフィズス菌の純粋培養

本研究では特に断りがない限り、前培養については、大腸菌は寒天培地に形成しているコロニーから、ビフィズス菌は-80°Cで凍結保存されているものから白金耳で培養液に植菌した。また好気条件での細菌の液体培地培養は37°Cの恒温槽で160 min<sup>-1</sup>の震とう培養を行い、寒天培地の培養は37°Cのインキュベーター(ヤマト科学製 ICL300)で行った。窒素嫌気条件での細菌の液体及び寒天培地培養はCoy Laboratory 製 Vinyl Anaerobic Chambers の37°Cのインキュベーター内

で静置して行い、CO<sub>2</sub> 嫌気条件での菌の液体及び寒天培養は真空ポンプと CO<sub>2</sub> ガスボンベにより内部を CO<sub>2</sub> に置換した嫌気ジャーを 37°C のインキュベーター (SANYO 製 MOV-112S) に静置することで行った。細菌の増殖曲線は比色計 (TAITEC 製 Mini photo 518R) を用いて OD<sub>600</sub> によって培養液濁度を測定した。

## 2-5. 大腸菌とビフィズス菌の共培養における増殖曲線と培養液 pH の測定

ABCM 培地 5 mL に大腸菌とビフィズス菌を窒素嫌気条件下の 37°C で一晩前培養を行った。その後、新たな ABCM 培地に、植菌する培地の容量に対し 100 分の 1 量の各菌の前培養液を添加し、窒素嫌気条件下の 37°C にて本培養を行った。また、2 種類の菌を混合した共培養で行う場合には 200 分の 1 の容量ずつ 2 種類の菌の前培養液を加え窒素嫌気条件下の 37°C にて本培養した。本培養を開始した時間を 0 時間として 24 時間まで経時的に増殖曲線と培地 pH をモニターした。培養液 pH は pH 試験紙を用い培養液 30 μL を滴下して試験紙の色を肉眼で判断することで測定した。

## 2-6. CFU/mL による培養液中の生菌数の測定

生菌数を確認する細菌培養液を段階希釈で 10<sup>4</sup> ~ 10<sup>8</sup> 倍に希釈した。段階希釈は 1.5 mL チューブに 900 μL の ABCM 培地に対し 100 μL の培養液を混合する 10 倍希釈を段階的に行い各希釈度の菌溶液を得た。得られた各希釈度の菌溶液 100 μL を BL 寒天培地に塗布して CO<sub>2</sub> 嫌気条件下の 37°C で 24~48 時間培養を行った。培養後、形成されたコロニーをカウントして希釈率と塗布した溶液量から CFU/mL を算出した。

## 2-7. 大腸菌及びビフィズス菌培養上清による CM 調製

CM を作製する細菌を ABCM 培地 5 mL、窒素嫌気条件下の 37°C で一晩前培養した。次に 300 mL のフラスコに入った ABCM 培地 100 mL に前培養液を 1 mL 入れ、嫌気条件下にて 24 時間培養した。培養後、培養液を 50 mL チューブ (IWAKI 製) に分注し、遠心機 (トミー精工製 MX-300) で 4000 rpm、10 分、4°C で遠心分離した。遠心分離後、上清を 300 mL ピーカーに回収した。回収した培養液上清の pH を pH メーター (HORIBA 製) で確認しながら 5N NaOH を添加して pH 7.2 に調製した。滅菌乾燥済みの 100 mL 試薬瓶に取り付けたΦ 0.22 nm のフィルター (IWAKI 製) を真空ポンプで引いて通すことでフィルター滅菌を行った。その後、室温で保管した。使用時は、20× ABCM 培地と 100 mg/mL の Amp 溶液をそれぞれ終濃度 0.5× と 100 μg/mL になるよう添加した。

また熱処理した CM の調製は上記で調製した CM をオートクレーブ (トミー精

工製 LSX-300)にて 100°C で 10 分間処理することで行った。

## 2-8. 透過型電子顕微鏡による細菌細胞の観察

観察したい細菌培養液と 1% PTA を観察する直前に等量ずつ 1.5 mL のチューブ内で混合し、その混合液 10 μL を観察用グリッド(日新 EM 製コロジオン膜貼付メッシュ)上に玉になるように乗せ、その状態で 1~2 分間静置した。次に、紙ウエス(日本製紙クレシア製キムワイプ)でグリッド中心から一気に水気を吸い取った後、数分静置して乾燥させる。観察用グリッド表面のコロジオン膜は破れやすいことから、扱いは精密ピンセットにて慎重に行った。

TEM(日立製 H-7650)のグリッド台に準備した試料グリッドを固定し、そのグリッド台ごと TEM の試料台にセットして観察を行った。電子線の加速電圧は 100 kV で行った。

## 2-9. PPT クローンの作製

PPT クローンは 904 種類の大腸菌プロモーターが GFP をレポーター遺伝子として持つ pGRP ベクターにクローン化されたセットである。この PPT クローンの大腸菌形質転換体を用いることにより大腸菌のプロモーター発現を GFP の蛍光により間接的に測定できる。以下は大腸菌遺伝子プロモーターを pGRP ベクターにクローニングする一般的な流れである(Fig. 4)。

まず大腸菌 W3110 ゲノム上のクローニングしたい大腸菌プロモーター領域を PCR によって増幅した。0.2 mL のチューブに鑄型となる DNA 溶液を終濃度 0.5 ng/ μL、10× EX taq buffer (Takara 製)を終濃度 1×、2.5 mM dNTP を終濃度 0.2 mM、増幅したい大腸菌プロモーター領域に相補的に結合する 100 mM の forward と reverse の 2 種類のプライマー(Table S1)を終濃度 0.5 mM、5 U/μL の EX taq(Takara 製)を終濃度 0.025 U/μL で混合し、ddH<sub>2</sub>O により全容量が 100 mL となるよう調製した。このチューブを PCR 装置(Applied Biosystems 製)に入れ PCR を行った。PCR の条件はまず 95°C で 5 分の加熱を行い、次に 95°C, 50°C, 72°C の 3 温度を各 30 秒で 30 サイクル、72°C で 1 分、最後に 10°C に温度を下げるまで終了した。PCR 産物は使用するまで -30°C で凍結保存した。

PCR 後、反応溶液をアガロースゲル電気泳動にかけ、目的の DNA 断片が増幅できているか確認した。まず 1% アガロースゲルを作製した。電気泳動用特級試薬アガロース(ナカライトスク)を 1× TAE に 1% になるよう加え、電子レンジで溶解した。約 50°C まで冷却後、電気泳動装置(Mupid-2 plus)に付属している鑄型に流し込んだ。流し込んだら素早くコームを刺し、その状態で 30 分以上静置して完全に固化させた。完全に固化してからコームを左右均等な力でゆっくり

り引き抜いた。次に完成したゲルを電気泳動槽に置き、ゲル表面が覆われるまで 1×TAE を注いだ。コームでつくったウェルをマイクロピペットで洗浄した後、ウェルに DNA 溶液 5  $\mu$ L と試料溶液の 6 分の 1 容量となる BPB 溶液 1  $\mu$ L を混合した計 6  $\mu$ L を添加した。また試料を入れた隣の試料溝に DNA サイズマーカーとして 50 ng/ $\mu$ L の  $\lambda$ /HindIII を 2  $\mu$ L を添加した。泳動装置に電源をつなぎ、100V で泳動を開始し BPB 溶液のバンドがゲルの 3 分の 2 程度まできたところで泳動を止めた。泳動後、アガロースゲルを EtBr 溶液で 5 分間染色し、その後、FAS-III (TOYOB0 製)にて紫外線を照射して DNA 及び RNA 断片に入り込んだ EtBr の蛍光を検出した。

アガロース電気泳動によって DNA の増幅が確認できた DNA 溶液に対し PhOH 抽出と EtOH 沈殿を行い、DNA を精製した。DNA 溶液の容量に対して 1/2 容量の TE 鮑和 PhOH とクロロホルムを加え vortex mixer で激しく攪拌し、遠心機で 12000 rpm、1 分、4°C で遠心分離し水相を回収した。回収した水相の容量に対しクロロホルムを等量加え vortex mixer で激しく攪拌し遠心機で 12000 rpm、1 分、4°C で遠心分離して水相を回収した。この水相の容量に対し 1/10 量の 3 M NaOAc と 2.5 倍量の EtOH を加え vortex mixer で 20 秒以上激しく攪拌し、遠心機で 14000 rpm、15 分、4°C で遠心分離して DNA を沈殿させ上清をアスピレーターで除去した。次に 70% EtOH を 100  $\mu$ L 静かに加えて遠心機で 14000 rpm、5 分、4°C で遠心分離して DNA を沈殿させ上清を除去し、遠心濃縮装置(TAITEC 製 VC-15SP)にて 2~5 分間乾燥させた。乾燥後、使用するまで -30°C で凍結保存した。

精製した DNA 断片と pGRP の両端を制限酵素によって切斷した。制限酵素は pGRP のクローニングサイトの両端となる、BglII と EcoT22I (Takara 製)を用いた。精製した DNA を 178  $\mu$ L の ddH<sub>2</sub>O に溶解し、使用する制限酵素に付属する 10× H buffer を終濃度 1× となるよう 20  $\mu$ L 加え静かに混合した。この溶液に BglII と EcoT22I の制限酵素溶液をそれぞれ 1  $\mu$ L 添加しマイクロピペットで混合し 37°C の恒温槽で 1 時間反応させた。pGRP の制限酵素処理は 3 時間行った。BglII と EcoT22I は同じ 10× H buffer で活性を得るために 2 種類の制限酵素処理を同時にえた。反応後 PhOH 抽出と EtOH 沈殿にて DNA を精製した。DNA 溶液の容量に対して 1/2 容量の TE 鮑和 PhOH とクロロホルムを加え vortex mixer で激しく攪拌し、遠心機で 12000 rpm、1 分、4°C で遠心分離し水相を回収した。回収した水相の容量に対しクロロホルムを等量加え vortex mixer で激しく攪拌し遠心機で 12000 rpm、1 分、4°C で遠心分離して水相を回収した。この水相の容量に対し 1/10 量の 3 M NaOAc と 2.5 倍量の EtOH を加え vortex mixer で 20 秒以上激しく攪拌し、遠心機で 14000 rpm、15 分、4°C で遠心分離して DNA を沈殿させ上清をアスピレーターで除去した。次に 70% EtOH を 100  $\mu$ L 静かに加えて遠心機で

14000 rpm、5 分、4°C で遠心分離して DNA を沈殿させ上清を除去し、遠心濃縮装置(TAITEC 製 VC-15SP)にて 2~5 分間乾燥させた。精製した DNA 溶液は-30°C で凍結保存した。

制限酵素処理した DNA 断片と pGRP をライゲーションした。pGRP に 10 μL の ddH<sub>2</sub>O に溶解した精製 DNA 断片溶液 4 μL と 50~100 ng/μL pGRP を 1 μL 混合し、そこに DNA Ligation Kit < Mighty Mix >(Takara 製)の Ligation mix を 5 μL 添加し、ピッティングで静かに混合し、16°C の恒温槽で 30 分~16 時間反応させた。

ライゲーション後は直ちに DH5α に形質転換を行った。その為、事前に DH5α コンピテントセルを作製した。コンピテントセルを作製する大腸菌 DH5α を 5 mL の LB 培地にて好気条件下の 37°C で一晩前培養した。次に前培養液を新たに準備した LB 培地 10 mL に 100 μL 加えて植菌し本培養を好気条件下の 37°C で行った。培養液の濁度 OD<sub>600</sub> が 0.2~0.3 になるまで培養した後、培養液を 15 mL のチューブ(IWAKI 製)に移し、遠心機で 4000 rpm、20 分、4°C で遠心分離し菌を沈殿させ上清を除去した。沈殿した菌を 1 mL の 0.1 M CaCl<sub>2</sub> · 2H<sub>2</sub>O で懸濁し 1.5 mL のチューブに移した上で氷上に 10 分間おいた。その後、遠心機で 15000 rpm、5 分、4°C で遠心分離し菌を沈殿させ上清を除去したところに 200 μL の 0.1 M CaCl<sub>2</sub> · 2H<sub>2</sub>O と 130 μL の 60% Glycerol を加えピッティングで穩やかに混合した。新しい 1.5 mL のチューブ 2 本に 100 μL ずつ分注し、残りを抗生物質の添加された LB 寒天培地に塗布して好気条件下の 37°C で培養することでコンタミンしていないかのチェックを行った。

形質転換はまず、-80°C で冷凍されている形質転換を行うコンピテントセルの入った 1.5 mL のチューブを氷上に置きゆっくり解凍した。解凍したコンピテントセルに形質転換するプラスミド溶液を 50 ng 分加え、ピッティングで静かに混合し氷上で 10 分間静置した。次に 42°C の恒温槽に 45 秒間さらしヒートショックを行い、直ちに 1 mL の LB 液体培地を加え 37°C の恒温槽で 30 分程度培養した。培養後、遠心機で 12000 rpm、5 分、4°C で遠心分離し菌を沈殿させた。約 1.1 mL の培養上清のうち 0.9 mL を除去して、残った培養上清で沈殿した菌を懸濁して 100 μg/mL の Amp を含む LB 寒天培地に塗布し好気条件下の 37°C で一晩培養しコロニーを形成させた。

コロニーを形成した形質転換体に目的の DNA 断片が挿入されているかを確認する為にコロニー-PCR を行った。0.2 mL のチューブに 10× EX taq buffer (Takara 製) を終濃度 1×、2.5 mM dNTP を終濃度 0.2 mM、Anti-EGFP プライマーを終濃度 0.5 mM、5 U/μL の EX taq(Takara 製) を終濃度 0.025 U/μL で混合し、ddH<sub>2</sub>O により全容量が 10 μL となるようにした。次に、試料となるプラスミドを保持している大腸菌の寒天培地上のコロニーを滅菌した爪楊枝でピックアップし、

上記で準備した 0.2 mL のチューブに懸濁した。また、その爪楊枝で 100 µg/mL の Amp を含む新たな LB 寒天培地にスポットしコロニーを複製した。コロニーを懸濁した 0.2 mL のチューブを PCR 装置(Applied Biosystems 製)に入れ PCR を行った。PCR の条件はまず 95°C で 5 分の加熱を行い、次に 95°C, 50°C, 72°C の 3 温度を各 30 秒で 30 サイクル行い、最後に 72°C で 5 分反応させ、10°C に温度を下げるまで終了した。PCR 後、反応溶液を 1% アガロースゲル電気泳動にかけ、目的の DNA 断片が増幅できているか確認した。

コロニー PCR にて LB 寒天培地にスポットしたコロニーから抽出したいプラスミドを保持している大腸菌を LB 培地 5 mL に植菌し好気条件化の 37°C で一晩培養した。培養後、培養液 2 mL を 2 mL チューブに入れ、遠心機で 12000 rpm、5 分、4°C で遠心分離し菌を沈殿させ上清を除去した。この 2 mL のチューブに再び 2 mL の培養液を入れ同様に遠心分離し菌を沈殿させ上清を除去した。洗菌するため沈殿に 1 mL の ddH<sub>2</sub>O を加え懸濁して再度同条件で遠心分離し菌を沈殿させ上清を除去した。ここからは QIAprep Spin Miniprep Kit (Qiagen 製)を使用し抽出した。以降の試薬は全て Kit 付属品の試薬である。沈殿している菌を Buffer P1 を 250 µL 加え懸濁した。次に Buffer P2 を 250 µL 加え転倒混和し、続けて Buffer N3 を 350 µL 加え転倒混和した。その後、遠心機で 14000 rpm、15 分、4°C で遠心分離し上清を Kit 付属のカラムである Spin column に全量移した。このカラムを遠心機で 14000 rpm、1 分、4°C で遠心分離しカラムを透過してきた溶出液を除去し、次にカラムに Buffer PB を 500 µL 加え同様に遠心分離して溶出液を除去し、Buffer PE を 750 mL 加え同様に遠心分離して溶出液を除去した。さらに空のカラムを再度遠心分離しカラム中に残っている溶液を完全に飛ばした。最後に、Buffer EB を 50 µL 加え遠心機で 14000 rpm、1 分、4°C で遠心分離しカラムからプラスミド DNA を溶出させた。溶出させた溶液の DNA の濃度を分光光度計(GE ヘルスケア製 NanoVue Plus)にて 260 nm の吸光度を測定することで算出した。また抽出したプラスミド溶液は -30°C で凍結保存した。

DNA シークエンサーによって挿入塩基配列をシーケンスする為、抽出したプラスミドを鑄型として PCR を行った。PCR は 0.2 mL チューブに、鑄型 DNA を 250 ng、鑄型 DNA に相補的なプライマー 1 種類を終濃度 0.25 pmol/ mL、BigDye® Terminator v3.1 Kit の Matrix Standards (Applied biosystems 製)を 0.5 µL、同 Kit の 5× Sequencing Buffer を終濃度 1×を入れ、ddH<sub>2</sub>O にて全容量を 20 µL となるよう調製した。このチューブを PCR 装置(Applied Biosystems 製)に入れ PCR を行った。PCR の条件は 95°C を 20 秒、50°C を 15 秒、60°C を 1 分の 3 温度を 25 サイクル行った。PCR 後、反応液を 1.5 mL チューブに全量移してから Sodium acetate buffer(1.5 M NaOAc pH > 8.0, 250 mM EDTA の混合溶液)を 2 µL、EtOH を 60 µL 加え vortex mixer で攪拌し、遠心機で 14000 rpm、20 分、4°C で遠心分離し DNA

を沈殿させ上清を除去した。次に 70% EtOH を 60 μL 加えてから遠心機で 14000 rpm、5 分、4°C で遠心分離し DNA を沈殿させ上清を除去し、遠心濃縮装置にて 2~5 分間乾燥させた。乾燥後、Hi-Di™ Formamide(Applied Biosystems 製)を 15 μL 加え DNA を溶解した。DNA シーケンサーは 3130xl ジェネティックアナライザ シーケンシングシステム(Applied Biosystems 製)を用い、調製したサンプルのシーケンスを確認した。

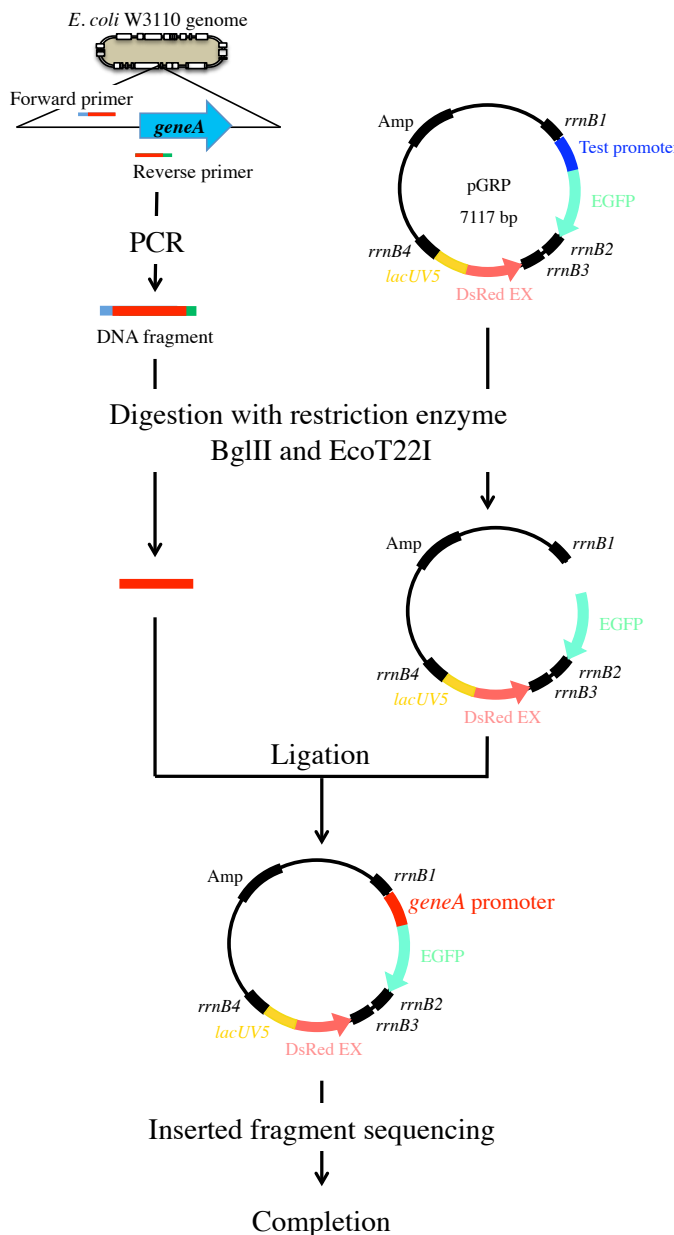


Fig. 4. PPT クローン作製概略図

*E. coli* W3110 genome から増幅したターゲット遺伝子のプロモーター断片を pGRP ベクターに挿入し、EGFP 融合遺伝子を作製した。

## 2-10. 蛍光プレートリーダーによる大腸菌細胞内の GFP 蛍光強度の測定

### 2-10-1. BioTek 製 FL600 による GFP 蛍光強度の測定

96 穴平板プレートの各ウェルに入れた培養液 200  $\mu\text{l}$  を BioTek 製蛍光プレートリーダーPL600 にて緑色蛍光強度を測定した。測定は、蛍光感度 255、励起光 485 nm、検出光 525 nm の条件で行った。

### 2-10-2. コロナ電気製 MTP-880 による GFP 蛍光強度の測定

96 穴平板プレートの各ウェルに入れた培養液 200  $\mu\text{l}$  をコロナ電気製蛍光プレートリーダーMTP-880 にて緑色蛍光強度を測定した。測定は励起光 490 nm、検出光 530 nm、蛍光感度  $\times 10$  の条件で行った。また  $\text{OD}_{600}$  による濁度測定も行った。

## 2-11. フローサイトメトリーによる大腸菌細胞内の GFP 蛍光強度の測定

測定する細菌培養液をフローサイトメトリー用のチューブに移し、日本 BD 製フローサイトメトリーFACS Calibur を用いて各培養液の緑色蛍光強度を測定した。測定では光源である 488 nm アルゴンレーザーにより励起し、530 nm の蛍光を検出した。また検出する際の蛍光感度は野生株である *E. coli* W3110 をネガティブコントロールとしてヒストグラムの蛍光強度のピークが  $10^1$  の位置になるよう調節した。またポジティブコントロールとして pGRH313 を形質転換した大腸菌を用いた。

## 2-12. PPT クローンを用いたプライマー伸長法による転写開始点の決定

転写開始点を決定するプロモーターを含む PPT クローンの形質転換体を含む細菌培養液 20~30 mL から total RNA の抽出を行った。培養液を 50 mL チューブ (IWAKI 製) に移し、遠心機で 4000 rpm、20 分、4°C で遠心分離し菌を沈殿させ上清を除去した。沈殿した菌に Solution A を 1 mL 加え懸濁し、次に H<sub>2</sub>O 飽和 PhOH を 1 mL 加え vortex mixer で激しく攪拌した。その後すぐに 60°C の恒温槽に入れ、5 分間震とうしながら保温した。次に 50 mL チューブ内の全量約 2 mL を 2.0 mL チューブに移し、遠心機で 13000 rpm、3 分、4°C で遠心分離し、上清 900  $\mu\text{l}$  を 1.5 mL のチューブに移し、再度同条件で遠心分離した。遠心分離後、上清を 400  $\mu\text{l}$  ずつ新しい 1.5 mL のチューブ 2 本に移し、1 mL の EtOH を加え vortex mixer で 20 秒以上激しく攪拌して遠心機で 13000 rpm、3 分、4°C で遠心分離した。上清をアスピレーターで除去したところに 70% EtOH を 1 mL 静かに加えて遠心機で 13000 rpm、3 分、4°C で遠心分離し上清をマイクロピペットで除去して遠心濃縮装置にて完全に乾燥させない程度にアルコール分を蒸発させ

た。次に2本のチューブの沈殿を98 μLの0.1% DEPC waterで溶解し1本にした。そこにDNase I(Takara 製)に付属する10× DNase I Bufferを10 μL、5 U/mL DNase I(Takara 製)を1 μL加え混合し室温で1時間DNA分解処理を行った。1時間後、H<sub>2</sub>O飽和PhOHを100 μL加え転倒混和により酵素処理反応を止め、遠心機で13000 rpm、3分、4°Cで遠心分離し水相約を100 μLを300 μLのSolution Aが入った1.5 mLのチューブに移した。そこに1mLのEtOHを加え転倒混和で混合してから遠心機で13000 rpm、3分、4°Cで遠心分離し上清をアスピレーターで除去した。そこに70% EtOHを1mL静かに加えて遠心機で13000 rpm、3分、4°Cで遠心分離し上清をマイクロピペットで除去した。その後、遠心濃縮装置にて完全に乾燥させない程度にアルコール分を蒸発させた。最後に20~30 mLの0.1% DEPC waterに溶解し、RNAの濃度を分光光度計(GEヘルスケア製 NanoVue Plus)にて260 nmの吸光度を測定することで算出した。次に算出した濃度を基にRNA 2 μg分を0.8%アガロース電気泳動で泳動しRNA量の確認を行った。その為に0.8%アガロースゲルを作製した。電気泳動用特級試薬アガロース(ナカライトスク)を1×TAEに0.8%になるよう加え、電子レンジで溶解した。約50°Cまで冷却後、電気泳動装置(Mupid-2 plus)に付属している鋸型に流し込んだ。流し込んだら素早くコームを刺し、その状態で30分以上静置して完全に固化させた。完全に固化してからコームを左右均等な力でゆっくり引き抜いた。次に完成したゲルを電気泳動槽に置き、ゲル表面が覆われるまで1×TAEを注いだ。コームでつくったウェルをマイクロピペットで洗浄した後、ウェルにtotal RNA溶液2 μg分とその試料溶液の6分の1容量のBPB溶液1 μLを混合して添加した。また試料を入れた隣の試料溝にDNAサイズマーカーとして50 ng/μLのλ/HindIIIを2 μLを添加した。泳動装置に電源をつなぎ、100Vで泳動を開始しBPB溶液のバンドがゲルの3分の2程度まできたところで泳動を止めた。泳動後、アガロースゲルをEtBr溶液で5分間染色し、その後、FAS-III(TOYOBO 製)にて紫外線を照射してDNA及びRNA断片に入り込んだEtBrの蛍光を検出した。検出したribosomal RNAのバンドの濃さからRNAの濃度と純度を確認した。また使用するまで-30°Cで凍結保存した。

0.8%アガロース電気泳動によって濃度の確認ができたtotal RNAに対し、逆転写反応を用いてPPTクローン由来のmRNAのcDNAを合成した。逆転写反応系は40 μg分のtotal RNAに対しPrimeScript® Reverse Transcriptase(Takara 製)に付属の5× PrimeScript Bufferを3 μL、Recombinant RNase Inhibitor(Takara 製)を0.75 μL、1 pmol/μLのcDNAを合成したいmRNAに相補的なプライマーを1.5 μL、2.5 mM dNTPを12 μL、40 U/μLのPrimeScript® Reverse Transcriptaseを0.2 μL(8 U分)を混合しddH<sub>2</sub>Oにて全量を30 μLとして行った。まずReverse Transcriptase以外の試薬を1.5 mLのチューブ内で混合した後、60°Cのヒートブロック(IWAKI

製 ALB-221)にて 30 分間加熱し高次構造をとっている RNA を一本鎖にした。加熱後 45°C の恒温槽にチューブを移しプライマーをアニーリングさせつつ 30 分間温度が下がったところに Reverse Transcriptase を添加し、そのまま 45°C の恒温槽で 2 時間逆転写反応させた。反応後、PhOH 抽出と EtOH 沈殿で合成した cDNA を精製した。cDNA 溶液の容量に対して等量の TE 飽和 PhOH を加え vortex mixer で激しく攪拌し、遠心機で 12000 rpm、1 分、4°C で遠心分離し水相を回収した。この水相の容量に対し 1/10 量の 3 M NaOAc と 2.5 倍量の EtOH を加え vortex mixer で 20 秒以上激しく攪拌し、遠心機で 14000 rpm、15 分、4°C で遠心分離して DNA を沈殿させ上清をアスピレーターで除去した。次に 70% EtOH を 100 μL 静かに加えて遠心機で 14000 rpm、5 分、4°C で遠心分離して DNA を沈殿させ上清を除去し、遠心濃縮装置(TAITEC 製 VC-15SP)にて 2~5 分間乾燥させた。その後、-30°C で凍結保存した。また使用前に ddH<sub>2</sub>O を 3 μL、Thermo Sequenase Primer Cycle Sequencing Kit (GE ヘルスケア製)付属の Red Loading dye を 1.5 μL 加え vortex mixer で混合し、90°C のヒートブロックにて 3 分間加熱したものを cDNA 試料とした。

次にプライマー伸長法で転写開始点を決定したい *gfp* 遺伝子上流の DNA 配列の塩基 A、T、G、C、のシーケンスラダーを Thermo Sequenase Primer Cycle Sequencing Kit (GE ヘルスケア製)を用いて作製した。鋳型となる PPT クローンのプラスミド DNA 50~250 ng に対し、その DNA に相補的なプライマーを 1 pmol、Kit 付属の A reagent を 2 μL 混合し ddH<sub>2</sub>O にて全量を 8 μL にした。同様に A reagent を T reagent、G reagent、C reagent に置き換えたモノも調製した。その後これらを PCR にかけた。PCR の条件はまず 95°C で 5 分の加熱を行い、次に 95°C を 20 秒、50°C を 15 秒、60°C を 1 分の 3 温度を 25 サイクル行い、最後に 10°C に温度を下げるまで終了した。この PCR 産物は -30°C で凍結保存した。また使用前に上記 Kit 付属の Red Loading dye を 5 μL 加え vortex mixer でよく混合し、90°C のヒートブロックにて 3 分間加熱したものをシーケンスラダー試料とした。

最後に調製した cDNA 試料とシーケンスラダーの試料を 8% PAGE によって展開した。その為にまず、8% のアクリルアミドゲルを作製した。ゲルを作る為の DNA 一ケンサー(SHIMADZU 製 DSQ-500)付属のガラス板を水道で中性洗剤を用い洗浄し ddH<sub>2</sub>O でリーンスした。十分に水気を拭き取った後イソプロパノールで再度ゲル板両面を拭いた。ゲル板の両サイドにスペーサーを噛ましてゲル板を組み立て、ゲル板の上部以外をビニールテープで密閉し、さらにゲル板の両サイド全部を大きめクリップで止めた。次に GENE-PAGE PLUS™ 8%，EZ SQUEEZE™ (AMRESCO 製)を 14 mL とり 50 mL ビーカーに入れ、付属の 2 種類の重合開始剤を加え 2 分間攪拌し、ゲルが固化しないよう素早く 0.45 μm のフィルターで濾過してゴミを取り除き 2 枚のゲル板の隙間に流し込んだ。このとき

空気が入らないように一気に流し込んだ。ゲル版の上部までゲルが満たされたらコームを逆さまに刺してゲル上部を平らにした。その後ゲル板を倒して置き、ゲル板上部に乾燥防止のためラップをかけた上で、ゲル板に重しを乗せてゲルが固まるまで 3 時間静置した。ゲル固化後、ゲル板からコーム、クリップ、ビニールテープを外し、水道水で表面などについているゲルのクズを洗い流した。特にコームを刺していた試料溝は入念に洗い流した。その後、ddH<sub>2</sub>O でリんスし、水気を拭き取ったら再度イソプロパノールでゲル板両面を拭いた。ゲル板両面にホコリ等が付着していないことを確認してから DNA シーケンサー (SHIMADZU 製 DSQ-500)にセットした。

次に試料を泳動して展開した。蛍光自動 DNA 分析装置 (SHIMADZU 製 DSQ-500)にセットしたゲル板の上下 2 つの泳動槽に泳動用バッファーである 1.2 × TBE を試料溝が沈むまで注いだ。試料溝を作るためコームのギザギザしている側をゲルに刺し、泳動を行う試料をコームのギザギザのすき間に 1.5~3 μL 入れた。電圧 100 V で 4 分間泳動し試料をゲル中に導入した後、コームを抜き去り、その後電圧 1000 V で 5 時間電気泳動を行った。その後、cDNA とシーケンスラダーのバンドの位置の比較から転写開始点を決定した。

## 第3章 結果

### 3-1. 大腸菌 W3110 と各種ビフィズス菌の形態、生育及びコロニー形成

#### 3-1-1. 形態

大腸菌とビフィズス菌の細胞の形態を確認する為、透過型電子顕微鏡にて細菌細胞を観察した。大腸菌 W3110、ビフィズス菌 *B. adolescentis*、*B. angulatum*、*B. bifidum*、*B. catenulatum*、*B. kashiwanohense*、*B. longum*、*B. pseudocatenulatum*、*B. pseudolongum*、*B. scardovii* をそれぞれ 5 mL の ABCM にて窒素嫌気条件下で一晩培養し、その培養液を PTA によりネガティブ染色したものを TEM にて観察した(Fig. 5)。

その結果、大腸菌 W3110 は概ね長径が約 2 μm、短径が約 1 μm の桿菌の形状を保っていた。さらに高倍率では鞭毛も確認できた。また大腸菌細胞はそのほとんどが同じ程度の大きさであり、ばらつきが少なかった。

ビフィズス菌 *B. adolescentis* は、不定形の桿菌であるため、大腸菌のようなきれいな桿菌の形をしておらず、長径が長く細長い細胞から球形に近い細胞までさまざまな形態をとっていた。また細胞の内部に黒の濃い部分が、細胞表面の一部に明るい白色に見える部分が観察された。これらはそれぞれ PTA によるネガティブ染色で強く染色された、または染色されなかつた部位だと考えられるがなぜこのように染色されたかは不明である。

ビフィズス菌 *B. angulatum* は細胞サイズが概ね長径 5μm、短径 1.5 μm と他のビフィズス菌種に比べ大きく、また安定した桿菌の形態をしていた。

ビフィズス菌 *B. bifidum* は大腸菌 W3110 と同様に概ね長径が約 2 μm、短径が約 1 μm の桿菌の形状を保っていた。

ビフィズス菌 *B. catenulatum* は概ね長径 1 μm、短径 0.5 μm 程度と他のビフィズス菌と比べ細胞サイズが小さく、桿菌の形態はしているがその細菌細胞表面は波打っているのが観察された。また細胞の両極付近に黒の濃い部分が観察された。この黒い部分は PTA により強く染色されていることが考えられるが、なぜこのように染色さるのかは不明である。

ビフィズス菌 *B. kashiwanohense* は細胞サイズについては大腸菌 W3110 と同様に概ね長径 2 μm、短径 1 μm 程度であったが安定した桿菌の形態をしておらず、折れ曲がった形状をとるなど不定形であった。また細胞の両極付近に黒の濃い部分が観察された。この黒い部分は *B. adolescentis* と同様 PTA により強く染色されていることが考えられる。

ビフィズス菌 *B. longum* は概ね長径 1 μm、短径 0.5 μm 程度と他のビフィズス菌と比べ細胞サイズが小さい。また細胞の形態は、安定した桿菌の形状、折れ

曲がった形状、Y字に枝分かれしている形状と非常に多彩であった。また高倍率での観察で細胞表面は滑らかでなく凸凹している様子が観察された。

ビフィズス菌 *B. pseudocatenulatum* は大腸菌 W3110 と同様に概ね長径 2  $\mu\text{m}$ 、短径 1  $\mu\text{m}$  程の細胞サイズであり、細胞の極側では枝分かれの様に細胞が伸びているのが観察された。また細胞側面の一部に明るい白色に見える部分が観察された。これらはそれぞれ PTA によるネガティブ染色で強く染色された、または染色されなかった部位だと考えられるがなぜこのように染色されたかは不明である。

ビフィズス菌 *B. pseudolongum* は大腸菌 W3110 と同様に概ね長径 2  $\mu\text{m}$ 、短径 1  $\mu\text{m}$  程の細胞サイズであった。安定した桿菌の形態の細胞が多く観察されたが、ところどころ折れ曲がっている細胞も観察された。

ビフィズス菌 *B. scardovii* は大腸菌 W3110 同様長径 2  $\mu\text{m}$ 、短径 1  $\mu\text{m}$  程の細胞サイズであった。細胞の形態は他の多くのビフィズス菌同様、不定形で様々な形状が観察された。また細胞表面に凹凸が観察され、細胞側面の一部には明るい白色に見える部分が観察された。

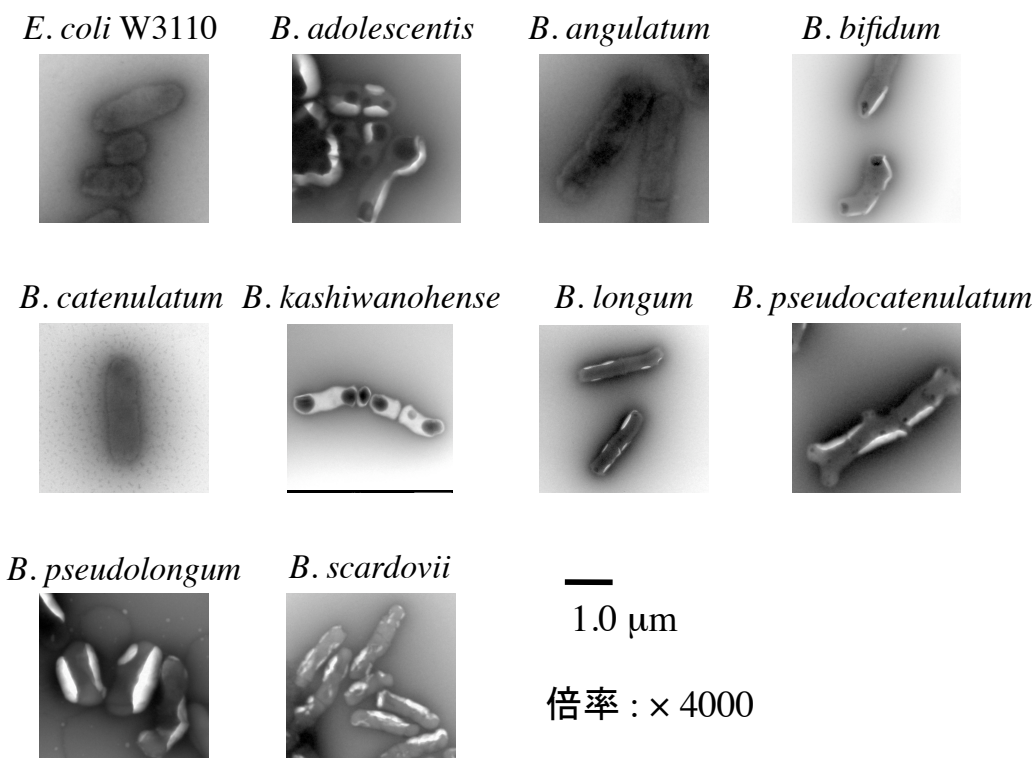


Fig. 5. 大腸菌 W3110 及び各ビフィズス菌の TEM 写真

大腸菌が典型的な桿菌の形態をしているのに対し、ビフィズス菌は不定形を示した。また、ビフィズス菌は PTA のネガティブ染色で染色されず、画像としては強い白色を示す部位が観察された。

### 3-1-2. 増殖曲線と培養液 pH

大腸菌 W3110 と各種ビフィズス菌 *B. adolescentis*、*B. angulatum*、*B. bifidum*、*B. catenulatum*、*B. dentium*、*B. kashiwanohense*、*B. longum*、*B. pseudolongum*、*B. scardovii*、*B. sp.* HM5-2 が ABCM 培地でどのように増殖するのかを調べるため、各菌の増殖曲線と培養液の pH の変化を調べた。窒素嫌気条件下で一晩全培養した各菌の培養液を ABCM 培地 5 mL に 50  $\mu$ L 植菌して 24 時間経時的に測定した。

その結果、大腸菌 W3110 は植菌してからすぐに対数的に増殖し培養 5 時間を超えた時点で定常期に入った。その後培養 24 時間での OD<sub>600</sub> は 0.909 であった。また培養液 pH は植菌時 pH 7 であったのが細菌の増殖に伴い低下した。低下速度は菌の増殖速度と相関しており、対数増殖期に大きく低下した。定常期初期には pH は 5 まで低下したが、定常期後期の 24 時間後には pH は 6 付近まで上昇した。この大腸菌の増殖曲線と培養液 pH を基準とし、ビフィズス菌の増殖曲線と培養液 pH を比較した。

ビフィズス菌 *B. adolescentis* は大腸菌と比べ増殖速度が遅く、大腸菌よりも 5 時間長い培養 10 時間で定常期に達した。培養 24 時間での OD<sub>600</sub> は大腸菌とほとんど変わらない 0.930 であった。また培養液 pH は細菌の増殖に伴い低下した。低下速度は菌の増殖速度と相関しており、対数増殖期に大きく低下した。その後定常期に pH 5 まで低下した。

ビフィズス菌 *B. angulatum* は大腸菌と比べ培養 2 時間を超えたあたりから増殖が一度停滞した。その後大腸菌と比べ 5 時間長い培養 10 時間で定常期に達し、培養 24 時間での OD<sub>600</sub> は大腸菌とほとんど変わらない 1.049 であった。また培養液 pH は細菌の増殖に伴い低下した。低下速度は菌の増殖速度と相関しており、対数増殖期に大きく低下した。その後培養 24 時間で pH 4 まで低下した。

ビフィズス菌 *B. bifidum* は大腸菌と比べ植菌直後から増殖速度は遅かったが、培養 24 時間までほぼ対数的に増殖した。培養 24 時間での OD<sub>600</sub> は大腸菌と大きくは変わらず 0.745 であった。また培養液 pH は細菌の増殖に伴い低下し、培養 24 時間で pH 5 まで低下した。

ビフィズス菌 *B. catenulatum* は大腸菌と同様に植菌後すぐは対数的に増殖したが培養 4 時間を超えたあたりから大腸菌に比べ多少増殖速度が低下した。その後、培養開始 10 時間で定常期に達し、培養 24 時間での OD<sub>600</sub> は大腸菌とほとんど変わらない 0.865 であった。また培養液 pH は植菌時 pH 7 であったのが細菌の増殖に伴い低下した。低下速度は菌の増殖速度と相関しており、対数増殖期に大きく低下した。その後定常期初期に pH 5 まで低下し pH も定常となった。

ビフィズス菌 *B. dentium* は大腸菌と同様に植菌直後から対数的に増殖し、培養 9 時間程度で定常期に達した。定常期に達した際の OD<sub>600</sub> の値は 1.150 であり、大腸菌よりも高くなつた。その後培養 24 時間で OD<sub>600</sub> は大腸菌に比べて高い

1.501まで上昇した。また培養液pHは植菌時pH7であったのが細菌の増殖に伴い低下した。低下速度は菌の増殖速度と相関しており、対数増殖期に大きく低下した。その後定常期初期にpH5まで低下し、培養24時間でpH4になった。

ビフィズス菌*B. kashiwanohense*は培養4時間まではほとんど増殖しなかった。この4時間は誘導期であると考えられる。その後、対数増殖期に入り大腸菌とほぼ同様の増殖速度で増殖し、培養10時間程で定常期に達した。その後、培養24時間でのOD<sub>600</sub>は大腸菌とほとんど変わらない0.993であった。また培養液pHは細菌の増殖に伴い低下し、培養24時間でpH5まで上昇した。

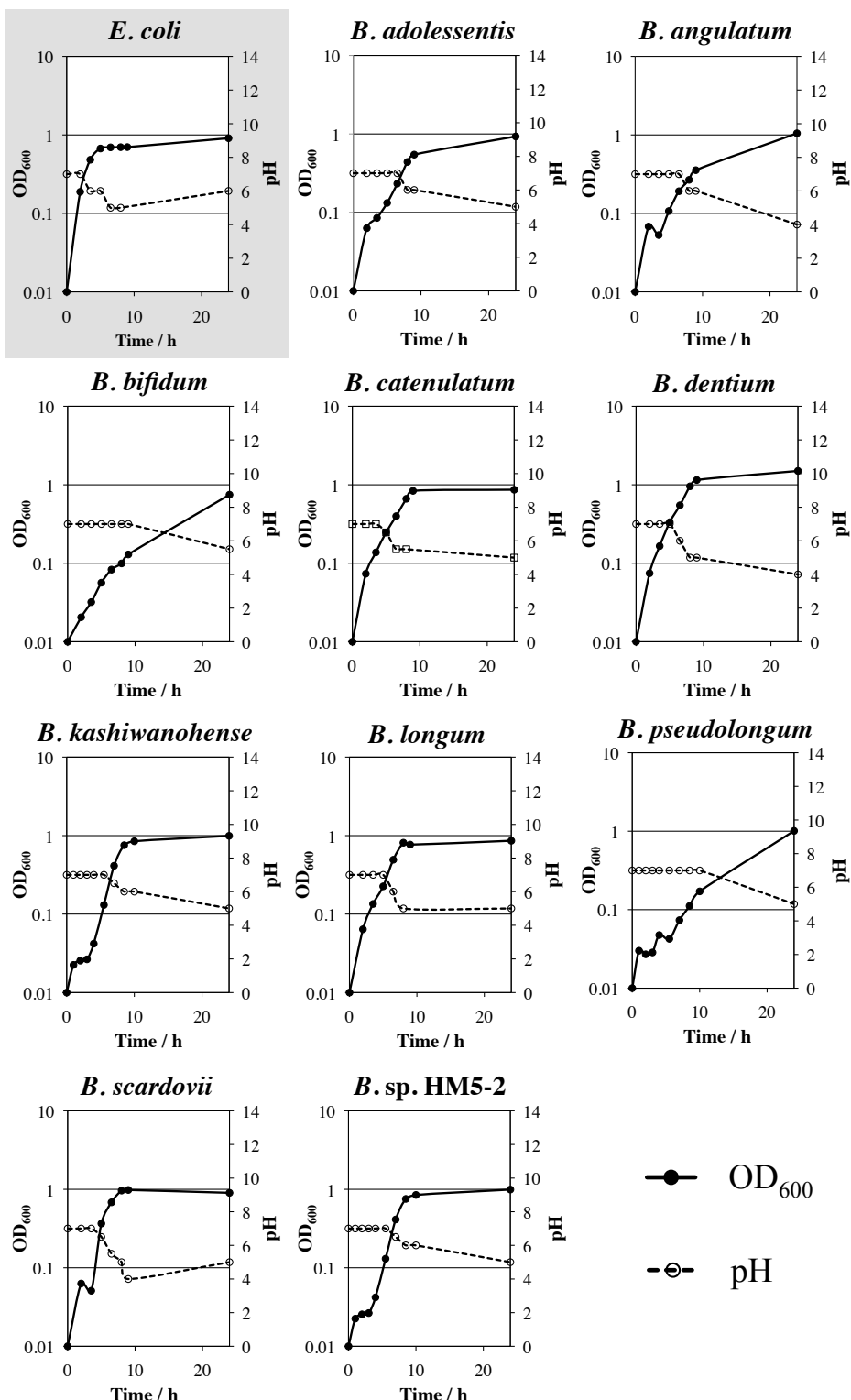
ビフィズス菌*B. longum*は大腸菌と同様に植菌直後は対数的に増殖したが、培養4時間を超えたあたりから大腸菌に比べ増殖速度が低下した。その後、培養8時間で定常期に達し、24時間でのOD<sub>600</sub>は大腸菌とほとんど変わらない0.860であった。また培養液pHは植菌時pH7であったのが細菌の増殖に伴い低下した。低下速度は菌の増殖速度と相関しており、対数増殖期に大きく低下した。その後定常期初期にpH5まで低下しpHも定常となった。

ビフィズス菌*B. pseudolongum*は大腸菌と比べ非常に増殖速度が遅く、培養5時間でもOD<sub>600</sub>が0.5に満たなかった。しかしその後徐々に増殖していき、培養24時間でのOD<sub>600</sub>は大腸菌とほとんど変わらない1.001まで上昇した。また培養液pHは細菌の増殖に伴い低下し、培養24時間でpH5まで低下した。

ビフィズス菌*B. scardovii*は大腸菌と比べ培養2時間を超えたあたりから増殖が一旦停滞した。その後大腸菌と比べ4時間ほど長い培養9時間で定常期に達し、培養24時間でのOD<sub>600</sub>は大腸菌とほとんど変わらない0.902であった。また培養液pHは細菌の増殖に伴い低下した。低下速度は菌の増殖速度と相関しており、対数増殖期に大きく低下した。さらに培養液はpH4まで一旦は低下したが、24時間でpH5まで上昇した。

ビフィズス菌*B. sp. HM5-2*は培養3時間までは全く増殖しなかった。この3時間は誘導期であると考えられる。その後、対数増殖期に入り大腸菌とほぼ同様の増殖速度で増殖し、培養7時間程で定常期に達した。その後、培養24時間でのOD<sub>600</sub>は大腸菌とほとんど変わらない0.901であった。また培養液pHは細菌の増殖に伴い低下した。低下速度は菌の増殖速度と相関しており、対数増殖期に大きく低下した。また定常期後期にも培養液pHが低下し、培養24時間でpH5となつた。

以上の結果から大腸菌W3110と似たような増殖曲線を示したビフィズス菌株は*B. adolescentis*、*B. angulatum*、*B. catenulatum*、*B. dentium*、*B. kashiwanohense*、*B. longum*、*B. scardovii*、*B. sp. HM5-2*の7種類であった(Fig. 6)。



**Fig. 6. 大腸菌 W3110 及びビフィズス菌の増殖曲線と培養液 pH の変化**

各菌の培養液の OD<sub>600</sub>(●)と、pH(○)を経時的に測定した。菌種によって増殖速度には差があったが最終的に達する OD<sub>600</sub> の値は全て 1.0 前後であった。また pH は大腸菌が 5~6 だったのに対し、ビフィズス菌は酸性寄りの 4~5.5 の値をとった。

### 3-1-2. コロニー形成

大腸菌 W3110 及び *B. longum* を 5 mL の ABCM 培地に植菌し窒素条件気条件下で培養した培養液を段階希釈し、BL 寒天培地に塗布して CO<sub>2</sub> 嫌気条件下で培養を行い各細菌にコロニーを形成させた。その結果、一晩培養した後の大腸菌のコロニーと寒天培地の境界面がぼやけており、潰れた形をしていた(Fig. 7a)。一方、ビフィズス菌のコロニーは一晩培養では大腸菌に比べコロニーの大きさは小さく、またコロニーと寒天培地との境界面がくっきりしており、隆起したドーム状の形状をしていた(Fig. 7b)。他のビフィズス菌のコロニーの形態も *B. longum* と同様であることから、コロニーの形体の違いにより大腸菌とビフィズス菌のコロニーを容易に見分けることが可能であることが分かった。

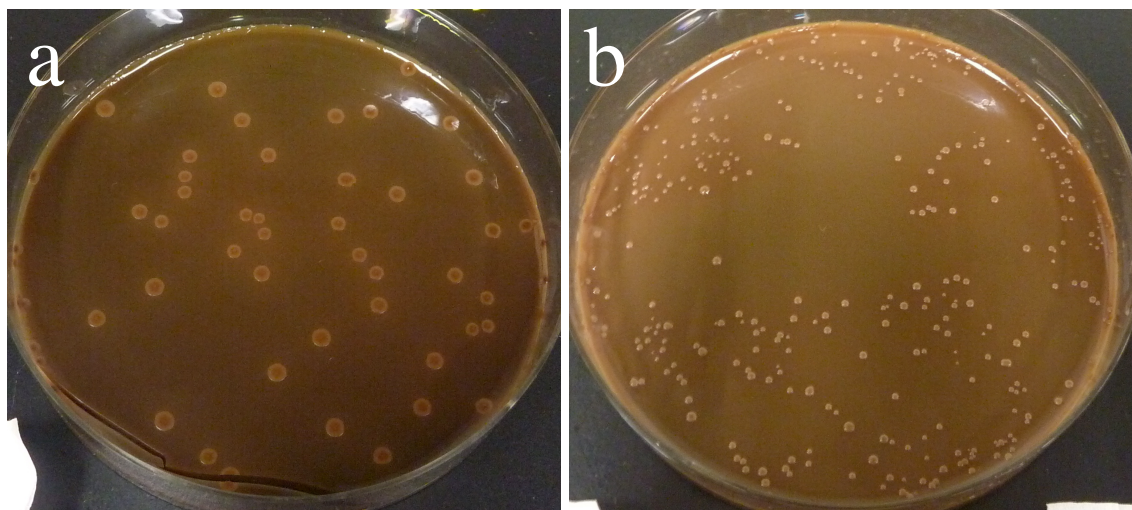


Fig. 7. 大腸菌とビフィズス菌のコロニー形態

(a)大腸菌のコロニー(*E. coli* JW2652) (b)ビフィズス菌コロニー(*B. longum*)

### 3-2. 大腸菌 W3110 と各ビフィズス菌種との共培養

#### 3-2-1. 共培養時の増殖曲線と培養液 pH

大腸菌とビフィズス菌を ABCM 培地で培養することができたので、次に大腸菌 W3110 を各種ビフィズス菌 *B. adolescentis*、*B. angulatum*、*B. bifidum*、*B. catenulatum*、*B. dentium*、*B. kashiwanohense*、*B. longum*、*B. pseudolongum*、*B. scardovii*、*B. sp. HM5-2* と共に培養を行い、その増殖曲線と培養液の pH の変化を調べた。ABCM 培地 5 mL で前培養した大腸菌 W3110 と各種ビフィズス菌の培養液を新たな ABCM 培地 5 mL に 50 μL ずつ混合して植菌し 24 時間経時的に濁度と pH を測定した。

その結果、大腸菌 W3110 と *B. adolescentis* の共培養では、植菌直後は各菌の純粋培養よりも対数増殖期に入るのが遅かったが、対数増殖期に入った後は *B. adolescentis* の純粋培養時と同様の培養 10 時間で定常期に達した。そして培養 24 時間で OD<sub>600</sub> は各菌の純粋培養と同様の 0.950 となった。また共培養液 pH は植菌時 pH 7 であったのが各菌の純粋培養時と同様に細菌の増殖に伴い低下した。低下速度は *B. adolescentis* の純粋培養より早く、定常期には pH 5 まで低下した。

大腸菌 W3110 と *B. angulatum* の共培養では、植菌直後から対数的に増殖し、*B. adolescentis* の純粋培養時と同様の培養 10 時間で定常期に達した。しかし定常期に達した時の OD<sub>600</sub> は大腸菌 W3110 の純粋培養時と同様であった。そして培養 24 時間で OD<sub>600</sub> は各菌の純粋培養よりやや高い 1.312 となった。また共培養液 pH は植菌時 pH 7 であったのが各菌の純粋培養時と同様に細菌の増殖に伴い低下した。低下速度は *B. adolescentis* の純粋培養時より早く、定常期には pH 4 まで低下した。

大腸菌 W3110 と *B. bifidum* の共培養では、植菌直後 3 時間はほとんど増殖しなかったが、培養 4 時間ぐらいから大腸菌 W3110 の純粋培養時と同様の速度で対数的に増殖した。そして培養 6 時間で定常期に達した。また定常期に達した時の OD<sub>600</sub> は大腸菌 W3110 の純粋培養時と同様であった。そして培養 24 時間で OD<sub>600</sub> は各菌の純粋培養とほぼ同様の 1.041 となった。次に共培養液 pH は植菌時 pH 7 であったのが各菌の純粋培養時と同様に細菌の増殖に伴い低下した。低下速度は大腸菌 W3110 と *B. adolescentis* の純粋培養時の中間の値を終始示し、培養 24 時間では pH 5.5 となった。

大腸菌 W3110 と *B. catenulatum* の共培養では、植菌直後から大腸菌 W3110 及び *B. catenulatum* の純粋培養時と同様の速度で対数的に増殖した。そして培養 8 時間で定常期に達した。その後、培養 24 時間で OD<sub>600</sub> は各菌の純粋培養とほぼ同様の 0.933 となった。次に共培養液 pH は植菌時 pH 7 であったのが各菌の純粋培養時と同様に細菌の増殖に伴い低下した。低下速度は大腸菌 W3110 と *B. adolescentis* の純粋培養時とほぼ変わらず、定常期には pH 5.5 となった。

大腸菌 W3110 と *B. dentium* の共培養では、植菌直後から *B. dentium* の純粋培養時と同様の速度で対数的に増殖した。そして *B. dentium* の純粋培養同様、培養 8 時間で定常期に達した。その後、培養 24 時間で OD<sub>600</sub> は *B. dentium* の純粋培養と同様の 1.730 となった。次に共培養液 pH は植菌時 pH 7 であったのが各菌の純粋培養時と同様に細菌の増殖に伴い低下した。低下速度は *B. dentium* の純粋培養時とほぼ変わらず、培養 24 時間では pH 4 となった。

大腸菌 W3110 と *B. kashiwanohense* の共培養では、植菌直後から大腸菌 W3110 の純粋培養時と同様の速度で対数的に増殖した。そして大腸菌 W3110 の純粋培養同様、培養 6 時間で定常期に達した。その後、培養 24 時間で OD<sub>600</sub> は大腸菌

W3110 と *B. dentium* の純粋培養の中間の 0.869 となった。次に共培養液 pH は植菌時 pH 7 であったのが各菌の純粋培養時と同様に細菌の増殖に伴い低下した。低下速度は大腸菌 W3110 の純粋培養時と変わらず、培養 24 時間では pH 5 となつた。

大腸菌 W3110 と *B. longum* の共培養では、植菌直後から大腸菌 W3110 と *B. longum* の純粋培養時の中間の速度で増殖した。そして培養 8 時間で定常期に達した。その後、培養 24 時間で OD<sub>600</sub> は大腸菌 W3110 と *B. longum* の純粋培養とほぼ同様の 0.896 となった。次に共培養液 pH は植菌時 pH 7 であったのが各菌の純粋培養時と同様に細菌の増殖に伴い低下した。低下速度は大腸菌 W3110 と *B. longum* の純粋培養時と中間の速度で低下し、定常期には *B. longum* 純粋培養時と同様の pH 5 となつた。

大腸菌 W3110 と *B. pseudolongum* の共培養では、植菌直後から大腸菌 W3110 の純粋培養時と同様に速度で増殖した。そして培養 6 時間で定常期に達した。その後、培養 24 時間で OD<sub>600</sub> は大腸菌 W3110 と *B. pseudolongum* の純粋培養とほぼ同様の 0.893 となった。次に共培養液 pH は植菌時 pH 7 であったのが各菌の純粋培養時と同様に細菌の増殖に伴い低下した。低下速度は大腸菌 W3110 の純粋培養時と中間の速度で低下し、定常期には大腸菌 W3110 と *B. pseudolongum* の純粋培養時と同様の pH 5 となつた。

大腸菌 W3110 と *B. scardovii* の共培養では、*B. scardovii* の純粋培養時と同様に培養時間で一旦停滞してその後対数的に増殖した。そして培養 8 時間で定常期に達した。その後、培養 24 時間で OD<sub>600</sub> は大腸菌 W3110 と *B. scardovii* の純粋培養と同様の 0.919 となった。次に共培養液 pH は植菌時 pH 7 であったのが各菌の純粋培養時と同様に細菌の増殖に伴い低下した。低下速度は *B. scardovii* の純粋培養時と中間の速度で低下し、定常期初期に一旦 pH 4 に下がった後、培養 24 時間後には *B. scardovii* の純粋培養時と同様の pH 5 となつた。

大腸菌 W3110 と *B. sp. HM5-2* の共培養では、大腸菌 W3110 と *B. sp. HM5-2* の純粋培養時の中間の速度で増殖した。そして培養 6 時間で定常期に達した。その後、培養 24 時間で OD<sub>600</sub> は *B. sp. HM5-2* の純粋培養とほぼ同様の 1.010 となつた。次に共培養液 pH は植菌時 pH 7 であったのが各菌の純粋培養時と同様に細菌の増殖に伴い低下した。低下速度は *B. sp. HM5-2* の純粋培養時と同様の速度で低下し、定常期には *B. longum* 純粋培養時と同様の pH 5 となつた。

以上の結果より、大腸菌 W3110 と各種ビフィズス菌を混合した場合でも培養液濁度が増加したことから、両菌を同じ培地に植菌しても細菌が培養できることが確認できた。それぞれの細菌の純粋培養と共培養を比較したグラフを Fig. 8 にまとめた。

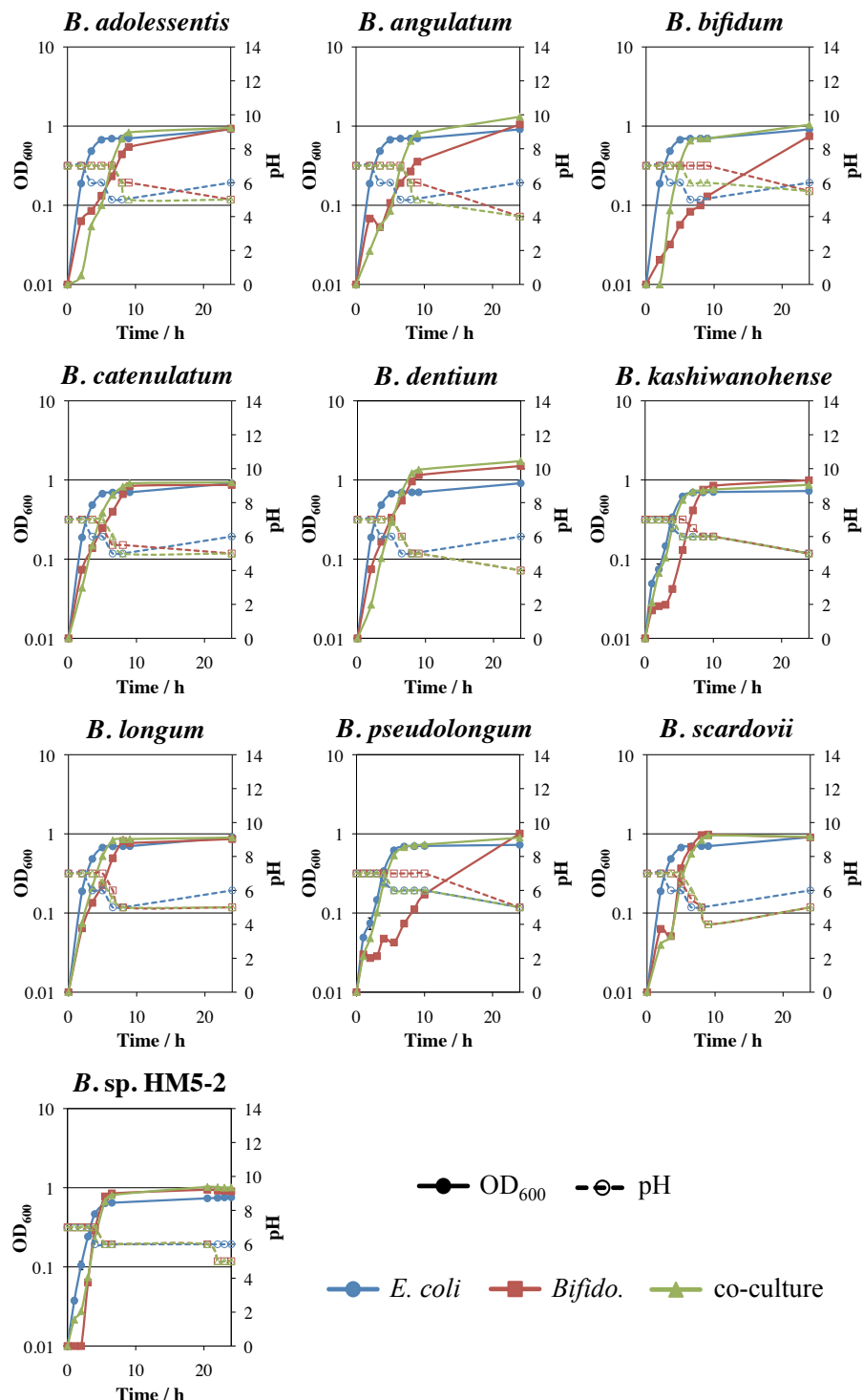


Fig. 8. 大腸菌と各種ビフィズス菌の共培養時の増殖曲線と培養液 pH

大腸菌と各ビフィズス菌の共培養液の OD<sub>600</sub>(実線)と、pH(破線)を経時的に測定した。どの菌種との共培養でも最終的に達する OD<sub>600</sub>の値は 1.0 前後であり、その増殖曲線の軌跡は各菌の単独培養の軌跡の中間を通るような形となった。また pH は大腸菌が 5~6 であるのに対し、ビフィズス菌は菌種によって差異があるが、酸性寄りの 4~5.5 の値をとった。

### 3-2-2. 定常期共培養液中の生菌数

増殖曲線の測定により、大腸菌とビフィズス菌の共培養において細菌が増殖していることは確認できたが、大腸菌とビフィズス菌がそれぞれどのように増殖しているかは OD<sub>600</sub> の値から判断できない為、他の方法で培養液中の生菌を確認する必要があった。そこで大腸菌と各種ビフィズス菌 *B. adolescentis*、*B. angulatum*、*B. bifidum*、*B. catenulatum*、*B. dentium*、*B. longum*、*B. pseudolongum*、*B. scardovii*、*B. sp. HM5-2* の共培養液中における各菌の生菌数を調べた。まず大腸菌 W3110 と各種ビフィズス菌の前培養を行い、その後大腸菌 W3110 各種ビフィズス菌の共培養を行った。共培養では ABCM 培地 5 mL に対してビフィズス菌前培養液を 50 μL 植菌したのに対し、大腸菌は 50 μL, 5 μL, 10 倍希釈したもの 5 μL と植菌量を変化させて植菌して 37°C 窒素嫌気条件下にて 24 時間共培養を行った。その後、共培養の植菌に用いた前培養液と共培養後の共培養液中の生菌数を CFU/mL で算出した。

その結果、大腸菌 W3110 と *B. angulatum* の共培養では、大腸菌 W3110 と *B. angulatum* の植菌数に最大 10 倍前後の差があったが、共培養定常期に形成される細菌叢における両菌間の生菌数には 10 倍以上の差はなかった。また植菌数の差に関係なく最終的な培養液中の総細菌数にも大きな差はなかった。

大腸菌 W3110 と *B. catenulatum* の共培養では、大腸菌 W3110 と *B. catenulatum* の植菌叢に最大 10000 倍近くの差があったが、共培養定常期に形成される細菌叢における両菌間の生菌数には 10 倍以上の差はなかった。また植菌数の差に関係なく最終的な培養液中の総細菌数にも大きな差はなかった。

大腸菌 W3110 と *B. longum* の共培養では、大腸菌 W3110 と *B. longum* の植菌数に最大 100 倍近くの差があったが、共培養定常期に形成される細菌叢における両菌間の生菌数には 10 倍以上の差はなかった。また植菌数の差に関係なく最終的な培養液中の総細菌数にも大きな差はなかった。

大腸菌 W3110 と *B. pseudolongum* の共培養では、大腸菌 W3110 と *B. pseudolongum* の植菌数に最大 500 倍近くの差があったが、共培養定常期に形成される細菌叢における両菌間の生菌数には 10 倍以上の差はなかった。また植菌数の差に関係なく最終的な培養液中の総細菌数にも大きな差はなかった。

大腸菌 W3110 と *B. scardovii* の共培養では、大腸菌 W3110 と *B. scardovii* の植菌数に最大 10 倍近くの差があったが、共培養定常期に形成される細菌叢における両菌間の生菌数には 10 倍以上の差はなかった。また植菌数の差に関係なく最終的な培養液中の総細菌数にも大きな差はなかった。

大腸菌 W3110 と *B. sp. HM5-2* の共培養では、大腸菌 W3110 と *B. longum* の植菌数に最大 50 倍近くの差があったが、共培養定常期に形成される細菌叢における両菌間の生菌数には 10 倍以上の差はなかった。また植菌数の差に関係なく最

終的な培養液中の総細菌数にも大きな差はなかった。

また、大腸菌 W3110 と *B. adolescentis*、*B. bifidum*、*B. dentium* の共培養では、BL 寒天培地に各ビフィズス菌のコロニーが形成されず *B. adolescentis* の CFU/mL が算出できなかったため、生菌数が求められなかった。

以上の結果から、コロニーが確認できた共培養については 大腸菌とビフィズス菌の植菌細胞数に最大 10000 倍近い差があるにもかかわらず定常期まで共培養を行うとほぼ全てのビフィズス菌種との共培養において各菌の生菌数の差は 10 倍未満になった(Fig. 9)。

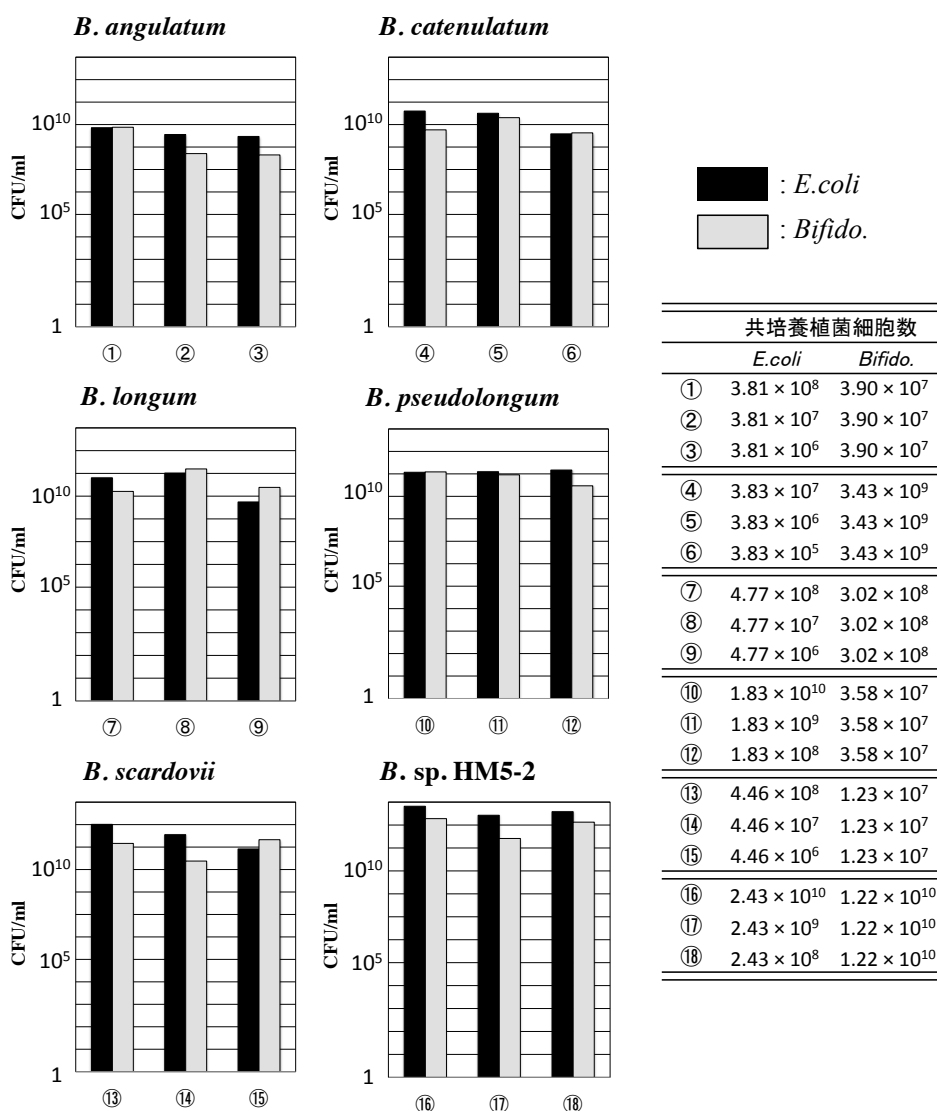


Fig. 9. 大腸菌 W3110 と各ビフィズス菌の共培養での植菌細胞数の定常期細菌叢への影響

共培養に植菌した各菌の細胞数の違いによらず共培養定常期の量菌の生菌数には 10 倍以上の開きはなく一定の細菌叢に落ち着いた。

### 3-2-3. 共培養実験の総括

以上の *E. coli* W3110 と各種ビフィズス菌の共培養の実験結果を Table 4 にまとめた。ABCM 培地にて 10 種類のビフィズス菌(*B. adolescentis*、*B. angulatum*、*B. bifidum*、*B. catenulatum*、*B. dentium*、*B. kashiwanohense*、*B. longum*、*B. pseudolongum*、*B. scardovii*、*B. sp. HM5-2*)の培養に成功し、そのうち 6 種類のビフィズス菌(*B. angulatum*、*B. catenulatum*、*B. longum*、*B. pseudolongum*、*B. scardovii*、*B. sp. HM5-2*)について *E. coli* W3110 との共培養に成功した。この 6 種類のビフィズス菌株との共培養において、植菌した大腸菌とビフィズス菌の細胞数に関係なく定常期に形成される細菌叢に大きな差は見られなかった。このことから大腸菌とビフィズス菌間で何らかの細胞間コミュニケーションが存在しており、それによって特定の細菌叢を形成することが示唆された。

Table 4. 大腸菌と各ビフィズス菌種との共培養の結果

菌株	液体培地培養	寒天培地培養	共培養定常期の平均生菌数(CFU/mL)	
			大腸菌	ビフィズス菌
<i>Bifidobacterium adolescentis</i>	○	×	—	—
<i>Bifidobacterium angulatum</i>	○	○	$4.60 \times 10^8$	$2.85 \times 10^8$
<i>Bifidobacterium bifidum</i>	○	×	—	—
<i>Bifidobacterium catenulatum</i>	○	○	$2.52 \times 10^8$	$1.01 \times 10^9$
<i>Bifidobacterium dentium</i>	○	×	—	—
<i>Bifidobacterium kashiwanohense</i>	○	—	—	—
<i>Bifidobacterium longum</i>	○	○	$5.76 \times 10^9$	$6.58 \times 10^9$
<i>Bifidobacterium pseudolongum</i>	○	○	$1.30 \times 10^{10}$	$8.09 \times 10^9$
<i>Bifidobacterium scardovii</i>	○	○	$4.88 \times 10^{10}$	$1.27 \times 10^{10}$
<i>Bifidobacterium</i> sp. HM5-2	○	○	$4.36 \times 10^{11}$	$1.17 \times 10^{11}$

### 3-3. *B. longum* との共培養で発現する大腸菌プロモーター

#### 3-3-1. *B. longum* との共培養定常期に発現する大腸菌プロモーター

ビフィズス菌との共培養時に発現が上昇する大腸菌プロモーターを探査する為、PPT クローンを用いた。PPT クローンは 904 種類の大腸菌プロモーターが GFP をレポーター遺伝子として持つ pGRP ベクターにクローニングされたセットである。この PPT クローンの大腸菌 DH5α 形質転換体と代表的なビフィズス菌である *B. longum* の共培養を行うことで、もし pGRP ベクターにクローニングされている大腸菌遺伝子プロモーターが誘導されれば GFP が合成され大腸菌体が緑色に蛍光する(Fig. 10)。この GFP の蛍光する原理であるが、GFP の蛍光団は GFP のアミノ酸配列の 65 番目のセリン、66 番目のチロシン、67 番目のグリシンによって形成されており、この 3 アミノ酸が GFP のフォールディングの際に環化付加、酸化および脱水を経ることによって共役二重結合による π 電子の共

有が起きる(Fig. 11)(Miyawaki et al., 2003)。ここに紫外光などのエネルギーの高い光が当たると、この電子が励起される。このエネルギー準位の上がった電子がもとの低いエネルギー準位に戻るときに緑色である波長 530 nm の光を放出する。またこの蛍光団は蛋白質の  $\beta$  バレル内に存在するため非常に安定である。(Fig. 12)(Ormö et al., 1996)

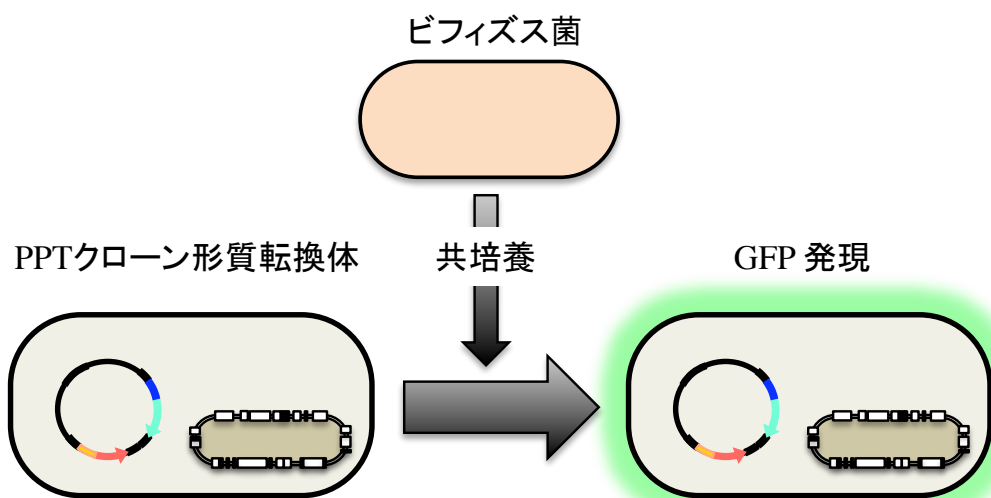


Fig. 10. PPT クローンを用いた大腸菌遺伝子プロモーター活性化モデル

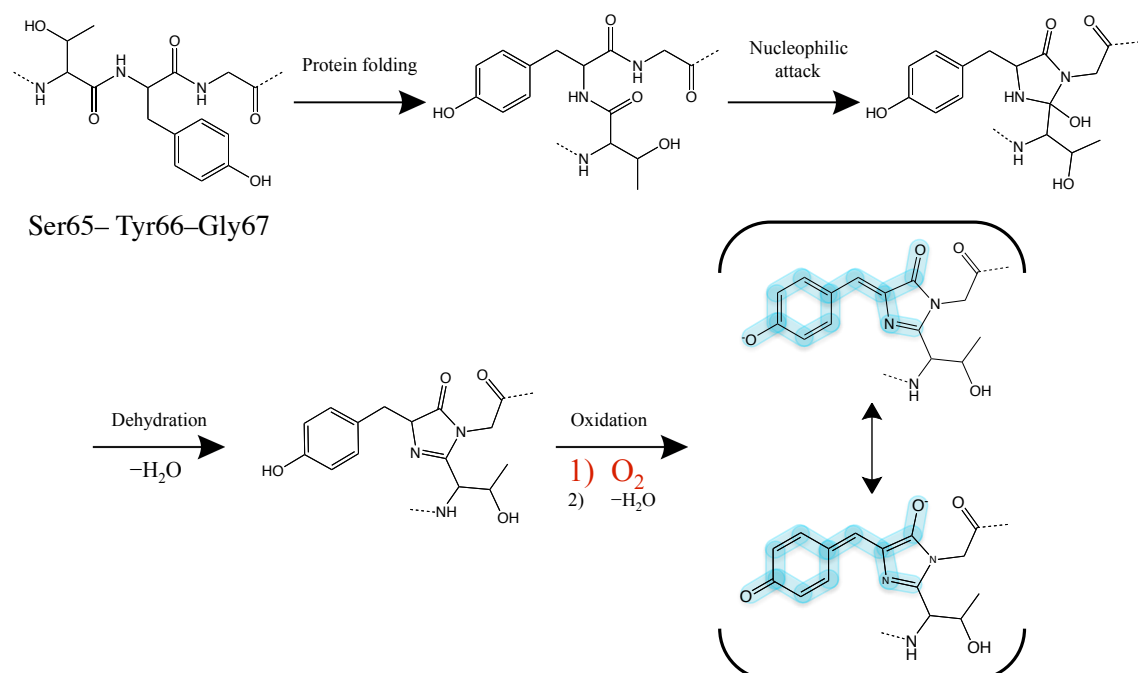


Fig. 11. GFP 蛍光団の形成と  $\pi$  電子共役

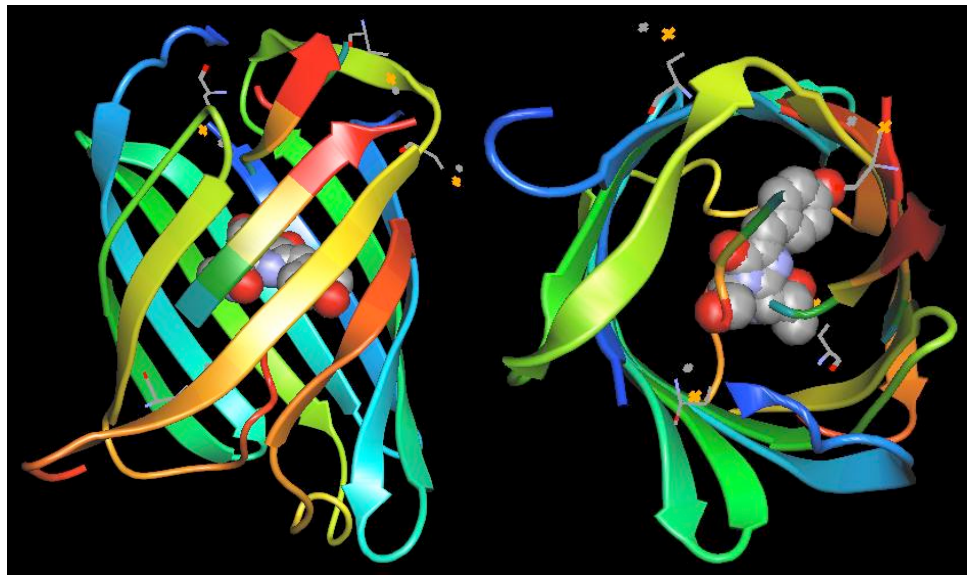


Fig. 12. GFP 内の蛍光団の位置

ボールで表示している原子団が GFP の蛍光団を示している。蛍光団は  $\beta$ -バレルの内部に全体が収まっており、非常に安定している。

この PPT クローンを用いたスクリーニングの実験として、まず PPT クローンが形質転換された大腸菌 DH5 $\alpha$ を 96 穴平板プレート内の 200  $\mu\text{l}$  の ABCM 培地にて好気条件下の 37°C で一晩前培養を行った。またビフィズス菌を 5 ml の ABCM 培地にて窒素嫌気条件下の 37°C で一晩前培養を行った。次に、96 穴 deep プレート 2 枚に 1.5 ml の ABCM 培地を分注し、一方のプレートには大腸菌のみを、もう一方のプレートには大腸菌と *B. longum* の両方を植菌した。植菌量は ABCM 培地で 100 倍に希釈した大腸菌前培養液を 15  $\mu\text{l}$ 、希釈していないビフィズス菌前培養液を 18.6  $\mu\text{l}$  植菌し 24 時間培養した(Fig. 13)。培養後、蛍光プレートリーダー FL600 を用いて GFP の蛍光強度を測定した。測定後、得られた各サンプルの蛍光強度の値からバックグラウンドである ABCM 培地の蛍光強度の値を引いた後、大腸菌単独培養時と大腸菌-ビフィズス菌共培養時の蛍光強度を比較することで *B. longum* との共培養で特異的に発現する大腸菌プロモーターを探査した。

その結果、37 プロモーターの共培養液の緑色蛍光強度が単独培養よりも 2 倍以上上昇した(Fig. 14)。発現が上昇した 37 プロモーターとその機能を Table 5 に示した。この 37 プロモーターにはさまざまな種類の遺伝子のプロモーターであり、*B. longum* が存在すると、純粋培養に比べ大きく遺伝子発現が変わることが示唆された。また細菌の膜に存在するトランスポーターやアンチポーター遺伝子のプロモーターもいくつか誘導されていることからも細胞内外の物質の出入りがより行われていることが示唆された。

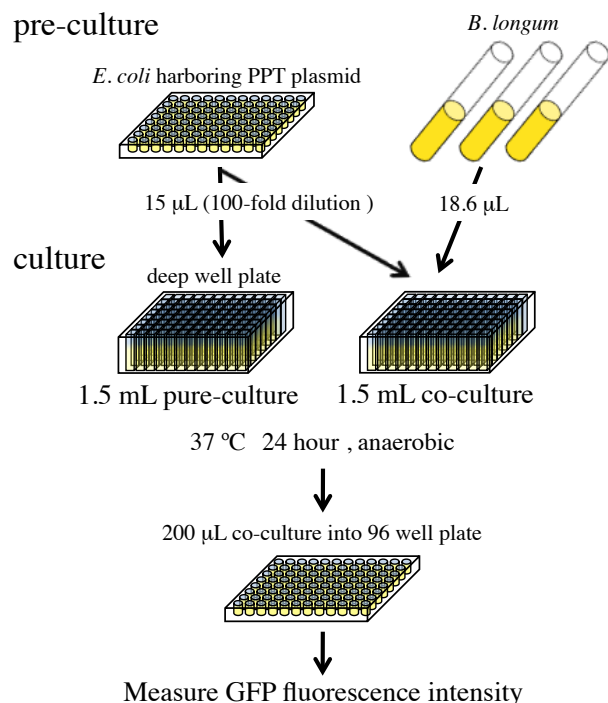


Fig. 13. 蛍光プレートリーダーを用いたスクリーニングの概略図

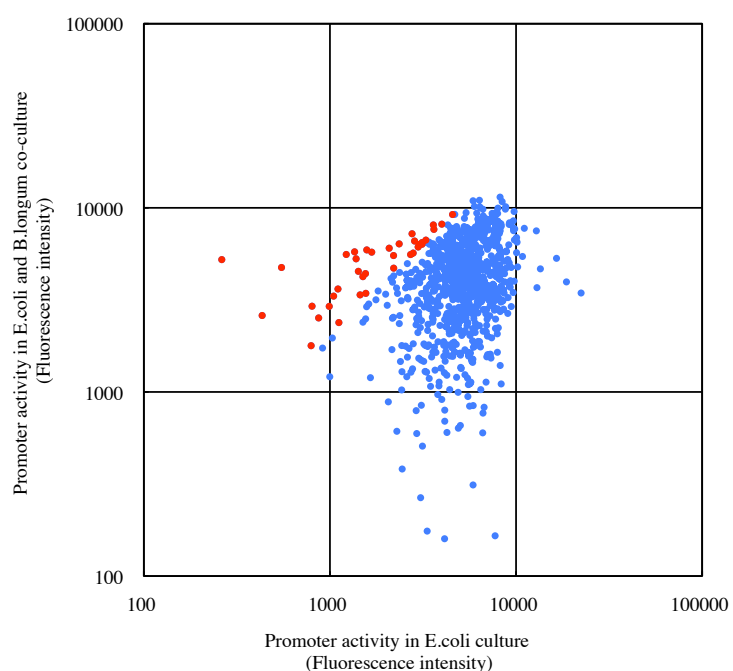


Fig. 14. *B. longum* 有無における PPT クローン形質転換体の蛍光強度散布図

横軸が PPT クローンを保持する大腸菌単独培養時の蛍光強度、縦軸が PPT クローンを保持する大腸菌と *B. longum* の共培養時の蛍光強度示す。単独培養時に比べ共培養時に蛍光強度が 2 倍以上上昇したプロットを赤色で示した。

**Table 5. *B. longum* との共培養定常期に発現する大腸菌プロモーター**

Gene	Product	*Ratio +/-
Membrane protein		
<i>bamA</i>	conserved hypothetical protein , membrane	2.03
<i>chaA</i>	calcium/sodium:proton antiporter	3.75
<i>cusF</i>	periplasmic copper-binding protein	2.09
<i>eutH</i>	predicted inner membrane protein	19.96
<i>macA</i>	macrolide transporter subunit, membrane fusion protein (MFP) component	3.65
<i>macB</i>	fused macrolide transporter subunits of ABCsuperfamily: ATP-binding component/membrane component	2.25
<i>mdtM</i>	multidrug efflux system protein	2.04
<i>mgtA</i>	magnesium transporter	2.62
<i>proW</i>	glycine betaine transporter subunit	2.14
<i>proX</i>	glycine betaine transporter subunit	8.63
<i>pstB</i>	phosphate transporter subunit	6.02
<i>qseC</i>	sensory histidine kinase in two-component regulatory system with QseB	2.51
<i>srlA</i>	glucitol/sorbitol-specific enzyme IIC component of PTS	2.90
Enzyme		
<i>cdsA</i>	CDP-diglyceride synthase	3.82
<i>dcm</i>	DNA cytosine methylase	2.02
<i>fixC</i>	predicted oxidoreductase with FAD/NAD(P)-binding domain	4.25
<i>glxK</i>	glycerate kinase II	2.94
<i>lysC</i>	aspartokinase III	3.17
<i>mraY</i>	phospho-N-acetyl muramoyl-pentapeptide transferase	3.43
<i>serB</i>	3-phosphoserine phosphatase	3.28
Regulator		
<i>cheY</i>	chemotaxis regulator transmitting signal to flagellar motor component	2.20
<i>envR</i>	DNA-binding transcriptional regulator	2.83
<i>mall</i>	DNA-binding transcriptional repressor	2.13
<i>mlrA</i>	DNA-binding transcriptional regulator	2.71
<i>rpiR</i>	DNA-binding transcriptional repressor	2.32
<i>tus</i>	inhibitor of replication at Ter, DNA-binding protein	2.06
Other		
<i>htpG</i>	molecular chaperone HSP90 family	2.11
<i>rpsB</i>	30S ribosomal subunit protein S2	2.04
<i>rpsF</i>	30S ribosomal subunit protein S6	2.32
Unknown		
<i>yabQ</i>	hypothetical protein	2.03
<i>ycgZ</i>	hypothetical protein	2.90
<i>ydeH</i>	conserved hypothetical protein	2.25
<i>ygaR</i>	hypothetical protein	2.07
<i>ygaU</i>	hypothetical protein	3.18
<i>yiaG</i>	predicted transcriptional regulator	2.06
<i>yjbJ</i>	predicted stress response protein	4.56
<i>yjjQ</i>	predicted DNA-binding transcriptional regulator	2.81

\*Ratio +/- : GFP intensity ratio of co-culture to pure culture

Table 6. *B.longum* CM で誘導される大腸菌プロモーター

Gene	GFP intensity		*Ratio
	ABCM	CM	
<i>bamA</i>	2.0	5.5	2.71
<i>cdsA</i>	2.0	2.9	1.45
<i>chaA</i>	17.7	26.6	1.50
<i>cheY</i>	6.6	10.2	1.55
<i>cusF</i>	2.8	1.7	0.61
<i>dcm</i>	1.1	2.5	2.27
<i>envR</i>	1.6	1.7	1.10
<i>eutH</i>	3.1	3.9	1.27
<i>fixC</i>	12.8	20.0	1.56
<i>glxK</i>	0.9	1.9	2.02
<i>htpG</i>	18.7	27.3	1.46
<i>lysC</i>	1.3	2.9	2.21
<i>macA</i>	1.1	1.4	1.19
<i>macB</i>	1.4	1.7	1.24
<i>mall</i>	7.8	8.9	1.14
<i>mdtM</i>	2.0	2.8	1.43
<i>mgtA</i>	1.5	2.2	1.51
<i>mlrA</i>	1.2	2.8	2.27
<i>mraY</i>	2.3	2.8	1.23
<i>proW</i>	1.5	2.2	1.48
<i>proX</i>	2.5	3.1	1.27
<i>pstB</i>	6.2	9.3	1.51
<i>qseC</i>	2.0	2.4	1.22
<i>rpiR</i>	3.0	3.4	1.16
<i>rpsB</i>	75.9	154.1	2.03
<i>rpsF</i>	61.0	102.1	1.67
<i>serB</i>	2.9	1.4	0.49
<i>srlA</i>	31.7	40.3	1.27
<i>tus</i>	2.7	2.8	1.07
<i>yabQ</i>	1.8	2.2	1.20
<i>ycgZ</i>	69.8	92.1	1.32
<i>ydeH</i>	1.0	5.4	5.55
<i>ygaR</i>	1.5	3.5	2.41
<i>ygaU</i>	31.7	43.9	1.39
<i>yiaG</i>	1.5	6.7	4.38
<i>yjbJ</i>	21.6	96.0	4.44
<i>yjjQ</i>	1.3	3.3	2.60

\*Ratio : GFP intensity ratio of CM culture to ABCM culture

### 3-3-2. ビフィズス菌培養上清で発現する大腸菌プロモーター

#### 3-3-2-1. *B. longum* の培養上清で発現する大腸菌プロモーター

ビフィズス菌 *B. longum* との共培養で発現が上昇した 37 プロモーターに対して、QS と同様に *B. longum* が培養液中に放出する何らかの物質によって誘導されているかどうか調べる為、*B. longum* の培養上清を用いた CM による大腸菌プロモーターの活性化を評価した。

口モーターの活性測定を行った。PPT クローンが形質転換された大腸菌 DH5 $\alpha$  を Amp を添加した ABCM 培地にて好気条件下の 37°C で一晩前培養を行った。前培養後、調製した Amp を添加した CM 1.5 mL に前培養液を 15  $\mu$ L 植菌し窒素嫌気条件下の 37°C で 24 時間培養した。培養後、細菌細胞を洗菌して培養液を ddH<sub>2</sub>O へ溶媒置換を行った。培養後の細菌培養液 1 mL を 1.5 mL のチューブに移し、遠心機で 10000 rpm、10 分、4°C で遠心分離し細胞を沈殿させ上清をアスピレーターにて除去した。次に沈殿している細胞に 1 mL の ddH<sub>2</sub>O を加え懸濁し、菌を洗浄した。その後、再度 10000 rpm、10 分、4°C で遠心分離して細胞を沈殿させ上清をアスピレーターにて除去した。その後、ddH<sub>2</sub>O を 200  $\mu$ L 加え沈殿している細胞を懸濁し、5 倍濃縮の細菌溶液を得た。その後、蛍光プレートリーダー-MTP-880 を用いて GFP の蛍光強度を測定した。測定後、各サンプルの蛍光強度からバックグラウンドとして溶媒置換に用いた ddH<sub>2</sub>O の蛍光強度を引き、次に各サンプルの蛍光強度を OD<sub>600</sub> の値で割ることでノーマライズした。ノーマライズされた各サンプルの蛍光強度を、ABCM 培地で培養した際の蛍光強度で割ることで蛍光強度比を求めた。ただし、ノーマライズした時点で蛍光強度の値が一桁であるサンプルについては蛍光強度が弱すぎる為、蛍光強度比の値によらず発現していないものとみなした。

その結果、ABCM 培地で通常培養した場合よりも蛍光強度が 3 倍以上昇した *yjbJ* プロモーターが得られた(Table 6)。この結果から *yjbJ* プロモーターは *B. longum* が菌外に放出する分泌物によって誘導されていることが示唆され、大腸菌とビフィズス菌間の QS によって誘導されていることが考えられた。

### 3-3-2-2. 他種ビフィズス菌培養上清で発現する大腸菌プロモーター

次にこの *yjbJ* プロモーターについて大腸菌 CM や他のビフィズス菌種 CM で誘導されるかどうか調べた。まず 3-3-2-1 と同様に *E. coli* W3110, *E. coli* DH5 $\alpha$ , *B. longum*, *B. adolescentis*, *B. angulatum*, *B. bifidum*, *B. breve*, *B. catenura*, *B. kashiwanohense*, *B. psudocatenulatum*, *B. psudolongum*, *B. scardovii* の CM を作製した。次に *yjbJ* プロモーターがクローニングされた pGRN104 の DH5 $\alpha$  形質転換体を 5 mL の Amp を添加した ABCM 培地、好気条件下の 37°C で一晩前培養した。この前培養液を 5 mL の Amp を添加した CM に 50  $\mu$ L 植菌して窒素嫌気条件下の 37°C で 24 時間培養した。培養後、細菌細胞を洗菌して培養液を ddH<sub>2</sub>O へ溶媒置換を行った。培養後の細菌培養液 1 mL を 1.5 mL のチューブに移し、遠心機で 10000 rpm、10 分、4°C で遠心分離し細胞を沈殿させ上清をアスピレーターにて除去した。次に沈殿している細胞に 1 mL の ddH<sub>2</sub>O を加え懸濁し、菌を洗浄した。その後、再度 10000 rpm、10 分、4°C で遠心分離して細胞を沈殿させ上清をアスピレーターにて除去した。その後、ddH<sub>2</sub>O を 200  $\mu$ L 加え沈殿している細

胞を懸濁し、5倍濃縮の細菌溶液を得た。その後、培養後蛍光プレートリーダーMTP-880 を用いて GFP の蛍光強度を測定した。測定後、各サンプルの蛍光強度からバックグラウンドとして溶媒置換に用いた ddH<sub>2</sub>O の蛍光強度を引き、次に各サンプルの蛍光強度を OD<sub>600</sub> の値で割ることでノーマライズした。ノーマライズされた各サンプルの蛍光強度を、ABCM 培地で培養した際の蛍光強度で割ることで蛍光強度比を求めた。

その結果、*yjbJ* プロモーターは *E. coli* W3110, *E. coli* DH5α, *B. longum*, *B. adolescentis*, *B. angulatum*, *B. bifidum*, *B. breve*, *B. catenura*, *B. kashiwanohense*, *B. scardovii* CM で ABCM 培地で培養した場合よりも緑色蛍光強度が 2 倍以上上昇した(Fig. 15)。特に、*E. coli* DH5αと *B. kashiwanohense* の CM では 5 倍以上の蛍光強度の増加が見られ、*yjbJ* プロモーターが大腸菌とビフィズス菌が培養液中に放出する共通の分泌物で誘導されていることが示唆された。一方 *B. psudocatenulatum* と *B. psudolongum* の CM では誘導されなかった。このことから、ビフィズス菌種によっては *yjbJ* プロモーターを誘導する因子を分泌していないことが考えられた。

### 3-3-2-3. 熱処理した細菌培養上清で発現する大腸菌プロモーター

複数のビフィズス菌の CM で誘導された *yjbJ* プロモーターであるが、*yjbJ* プロモーターが QS 同様培養液中の低分子化合物で誘導されているのか、蛋白質などの高分子化合物で誘導されているのかどうか検証した。その為に、*E. coli* W3110, *E. coli* DH5α, *B. longum*, *B. adolescentis*, *B. angulatum*, *B. bifidum*, *B. breve*, *B. catenura*, *B. kashiwanohense*, *B. scardovii* の CM を 100°C で 10 分間処理した ACed CM を作製した。次に *yjbJ* プロモーターがクローニングされた pGRN104 の DH5α 形質転換体を 5 mL の Amp を添加した ABCM 培地、好気条件下の 37°C で一晩前培養した。この前培養液を 5 mL の Amp を含む 100°C で 10 分間処理した ACed CM に 50 μL 植菌して窒素嫌気条件下的 37°C で 24 時間培養した。培養後、細菌細胞を洗菌して培養液を ddH<sub>2</sub>O へ溶媒置換を行った。培養後の細菌培養液 1 mL を 1.5 mL のチューブに移し、遠心機で 10000 rpm、10 分、4°C で遠心分離し細胞を沈殿させ上清をアスピレーターにて除去した。次に沈殿している細胞に 1 mL の ddH<sub>2</sub>O を加え懸濁し、菌を洗浄した。その後、再度 10000 rpm、10 分、4°C で遠心分離して細胞を沈殿させ上清をアスピレーターにて除去した。その後、ddH<sub>2</sub>O を 200 μL 加え沈殿している細胞を懸濁し、5 倍濃縮の細菌溶液を得た。その後、培養後蛍光プレートリーダーMTP-880 を用いて GFP の蛍光強度を測定した。測定後、各サンプルの蛍光強度からバックグラウンドとして溶媒置換に用いた ddH<sub>2</sub>O の蛍光強度を引き、次に各サンプルの蛍光強度を OD<sub>600</sub> の値で割ることでノーマライズした。ノーマライズされた各サンプルの蛍光強度比を求めた。

度を、ABCM 培地で培養した際の蛍光強度で割ることで蛍光強度比を求めた。

その結果、*E. coli* W3110, *E. coli* DH5 $\alpha$ , *B. adolescentis*, *B. bifidum*, *B. catenulatum*, *B. dentium*, *B. kashiwanohense*, *B. scardovii* の CM で GFP の蛍光強度が ABCM 培地での培養に比べ 2 倍以上上昇した(Fig. 16)。この結果から、これらの大腸菌とビフィズス菌での *yjbJ* の誘導には CM 中の低分子化合物が関与していることが示唆された。しかし、*B. longum*, *B. angulatum*, *B. breve*, *B. psudocatenulatum*, *B. psudolongum* の CM では誘導されなかった。ただし *B. psudocatenulatum* と *B. psudolongum* については 3-3-2-2 で行った熱処理していない CM でも誘導されなかった結果と合致していることから妥当だといえる。しかし、*B. longum*, *B. angulatum*, *B. breve* は熱処理していない CM で誘導されることから、これらのビフィズス菌 CM での *yjbJ* の誘導には CM 中の熱処理で活性を失う蛋白質などの高分子が関与していることが示唆された。

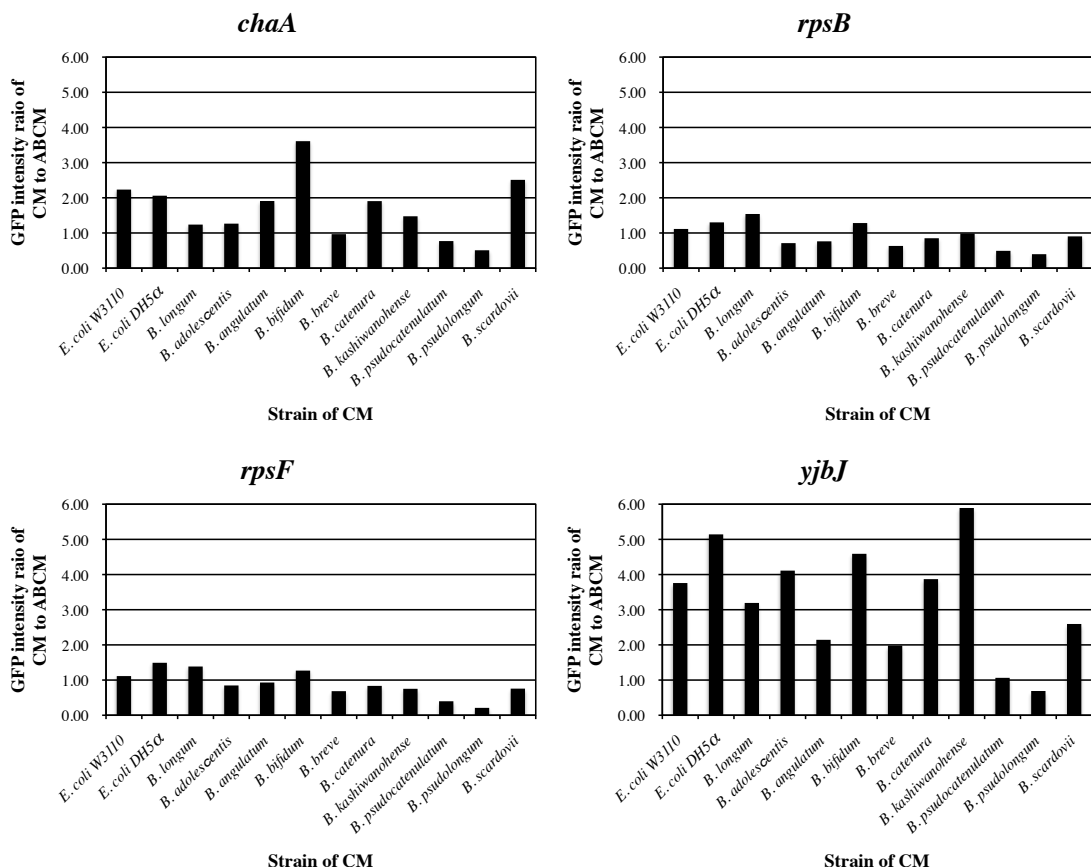


Fig. 15. ビフィズス菌 CM で発現が上昇する大腸菌 *yjbJ* プロモーター

*chaA* プロモーターは大腸菌 CM を含む一部の CM で誘導された。*rpsB*, *rpsF* プロモーターは *B. longum* の CM で誘導されただけで、他の全ての CM で誘導されなかった。*yjbJ* プロモーターは多くの CM で誘導されたが、*B. psudocatenulatum* と *B. psudolongum* の CM では誘導されなかった。

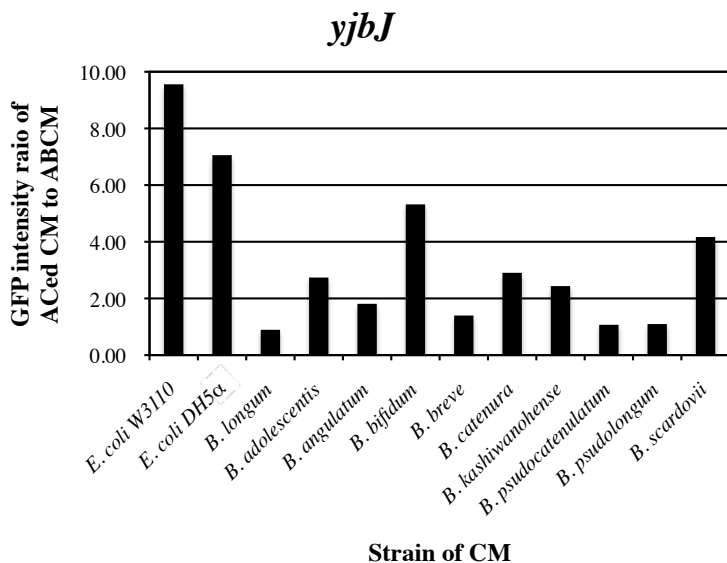


Fig. 16. 热処理した CM で誘導される *yjbJ* プロモーター

加熱処理した大腸菌を含む複数の CM で *yjbJ* プロモーターが誘導された。熱処理後の大腸菌の CM で強く誘導されたのに対し、逆に *B. longum* の CM では誘導されなくなった。

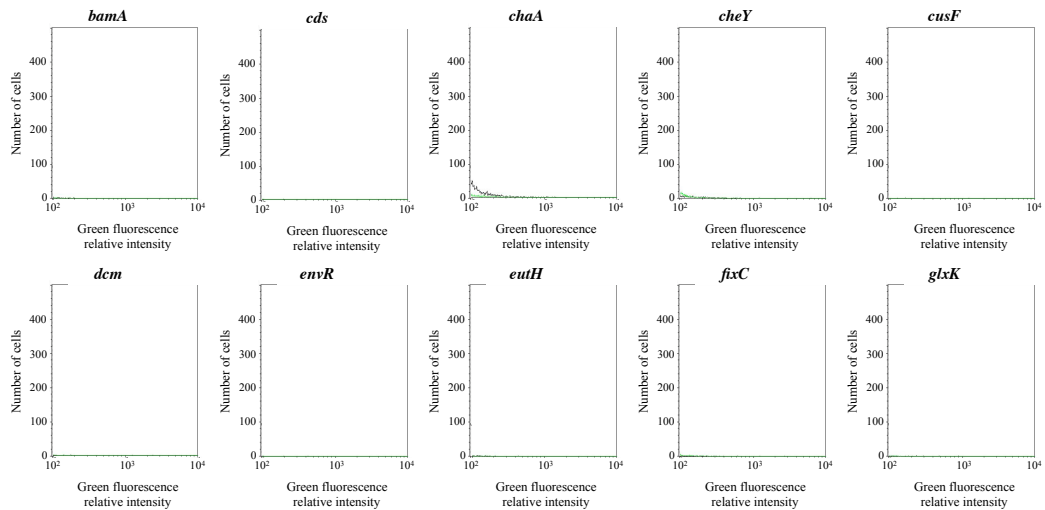
### 3-3-3. *B. longum* との共培養後早期に発現する大腸菌プロモーター

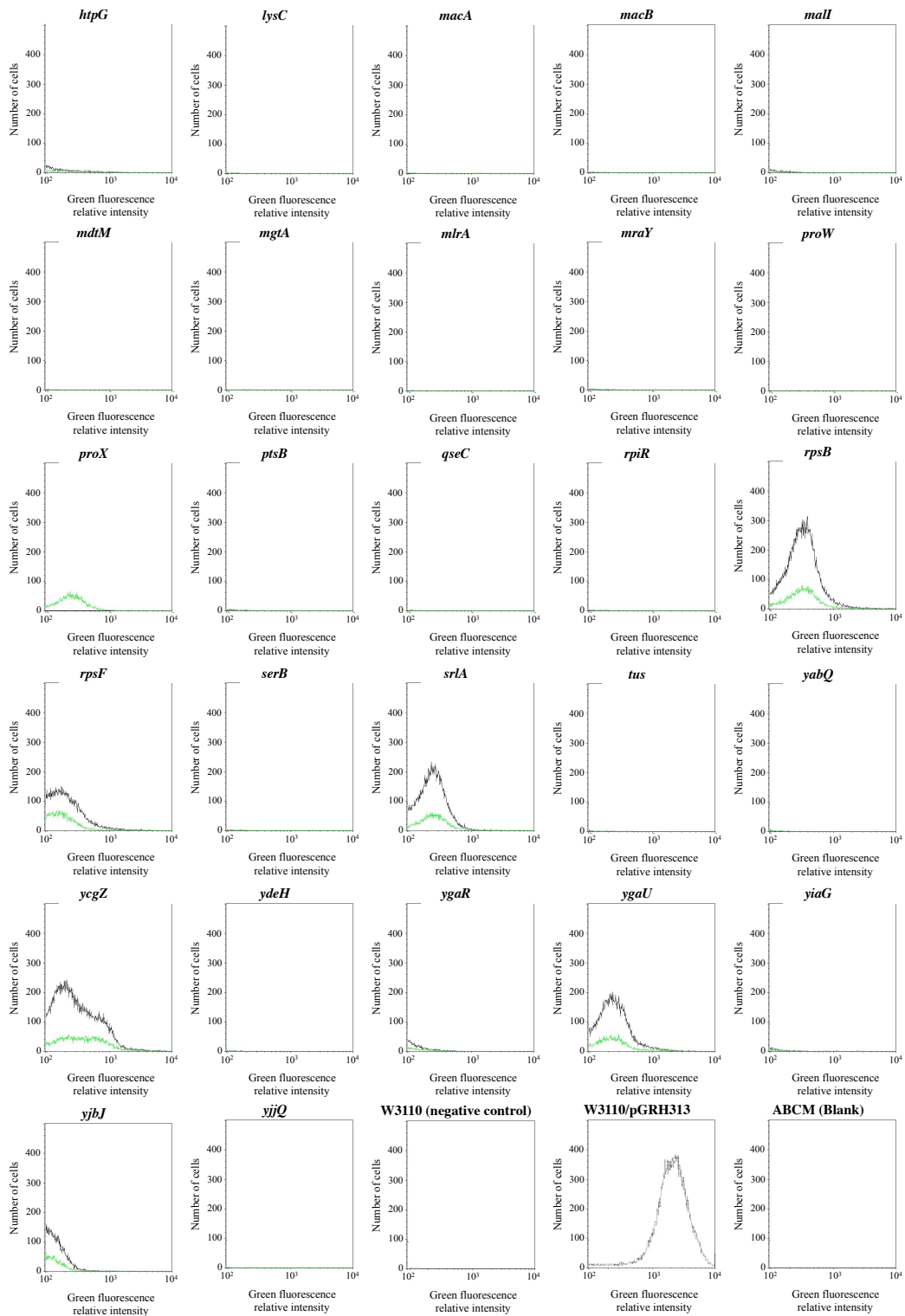
#### 3-3-3-1. *B. longum* との共培養後早期に発現する大腸菌プロモーター

3-3-2-1 で示されたようにビフィズス菌 *B. longum* との共培養定常期に 37 の大腸菌プロモーターの発現が上昇することが明らかとなつたが、これらプロモーターが *B. longum* との共培養によってストレス応答的に直接誘導されているのか、それとも他の遺伝子がまず先に誘導され、その発現した遺伝子よって間接的に誘導されているのかが不明であった。そこで、この 37 の大腸菌プロモーターに対して、ストレス応答のように *B. longum* と共に培養して短時間で誘導されるプロモーターがあるかどうかを調べた。もし短時間で誘導されれば、*B. longum* との混合によって直接発現誘導されるプロモーターであることが考えられる。まず PPT クローンが形質転換された大腸菌 DH5α を 96 穴平板プレートにて 200 μl の ABCM 培地にて好気条件下の 37°C で一晩前培養を行つた。また、ビフィズス菌を 5 ml の ABCM 培地の入つた試験管 3 本で窒素嫌気条件下の 37°C で一晩前培養を行つた。次に、新しく用意した 96 穴平板プレートの各ウェルにビフィズス菌前培養液を 100 ml ずつ分注し、そこに各大腸菌前培養液を 100 ml 加え混合した。残りの大腸菌前培養液 100 mL の入つたプレートとビフィズス菌との混合培養液の入つたプレートの 2 枚を窒素嫌気条件下の 37 °C で 1 時間共培養した。培養後、室温の好気下で 2 時間酸素にさらした後、あらかじめ ABCM 液体培地を

400 μL 分注しておいた測定用チューブに測定する細菌培養液 100 μL ずつを移して 5 倍希釈した。この試料溶液に対し、フローサイトメトリーFACS Calibur にて緑色蛍光強度を測定した。フローサイトメトリーは溶液にレーザー光を照射し、その透過光や散乱光、蛍光などを測定することで、溶液中の細胞などの微粒子 1 つ 1 つの大きさ、密度、蛍光強度などが測定できる。本実験では純粋培養及び共培養液中の 10 万個の微粒子の GFP の蛍光強度測定することで、*B. longum* との共培養後早期に発現する大腸菌プロモーターをスクリーニングした。

その結果、37 プロモーターのうち *proX* プロモーターのクローンにおいて、共培養時に単独培養よりも緑色蛍光強度が上昇した(Fig. 17)。また純粋培養でも共培養でも発現していない大腸菌プロモーターが 30 プロモーター(*bamA*, *cdsA*, *chaA*, *cheY*, *cusF*, *dcm*, *envR*, *eutH*, *fixC*, *glxK*, *htpG*, *lysC*, *macA*, *macB*, *mall*, *mdtM*, *mgtA*, *mlrA*, *mraY*, *proW*, *pstB*, *qseC*, *rpiR*, *serB*, *tus*, *yabQ*, *ydeH*, *ygaR*, *yiaG*, *yjjQ*)あった。この大腸菌 30 プロモーターは短時間の *B. longum* との共培養では発現せず、誘導されるのに時間がかかると考えられた。さらに、純粋培養でも共培養でも誘導されている大腸菌プロモーターが 6 プロモーター(*rpsB*, *rpsF*, *srlA*, *ycgZ*, *ygaU*, *yjbJ*)あった。この大腸菌 6 プロモーターはどれも純粋培養よりも共培養時の GFP の蛍光強度が下がっているように見えた。しかし実際は、共培養時の測定溶液には GFP を発現しないビフィズス菌も含まれており、また本実験では 1 つの測定溶液に対しフローサイトメトリーで 10 万個の微粒子の GFP を測定しており、その中に含まれる大腸菌の数は純粋培養に比べて相対的に減少することから、蛍光強度が低下しているように見えていると考えられる。このことをふまえると、これら大腸菌 6 プロモーターは共培養初期では発現量に変化がなかったと考えられ、前述の大腸菌 30 プロモーターと同様に短時間の *B. longum* との共培養では発現せず、誘導されるのに時間がかかると考えられた。





**Fig. 17. *B. longum* との共培養早期に発現する大腸菌プロモーター**

各 PPT クローンの大腸菌形質転換体の単独培養のヒストグラム(黒)と *B. longum* との共培養時のヒストグラム(緑)を比較した。ネガティブコントロールとして W3110 を、ポジティブコントロールとして W3110/pGRH313 を使用した。

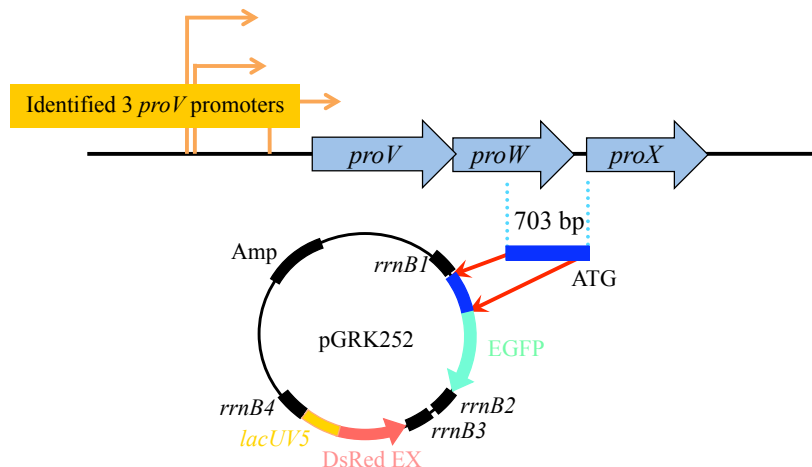


Fig. 18. *pro* オペロンのゲノム上構造と pGRK252 の構築図

*proX* は *pro* オペロンの最下流に位置しており、オペロンの先頭遺伝子 *proV* 上流に存在する 3 つ の転写開始点から転写されている。しかし、pGRK252 は pGRP に *proX* の開始コドンを含む上流 703 bp がクローニングされたプラスミドであることから、この 703 bp の中にプロモーター領域があることが予測された。

### 3-3-3-2. *proX* プロモーターの転写開始点の決定

大腸菌 *proX* 遺伝子はグリシンベタイントランスポーターのサブユニットをコードしている(Barron et al., 1987)。また *proX* 遺伝子は大腸菌ゲノム上で *proV*, *proW* と共にオペロン構造をとっており、*pro* オペロンの最下流に位置している(Fig. 18)。オペロン構造から *proVWX* は同じ転写単位で転写されており、これまでに *proV* 上流に転写開始点が 3 つ同定されている(Gowrishankar, 1989)。しかし、本研究で用いた *proX* プロモーターの PPT クローンは *proX* の開始コドンを含む上流 703 bp をクローニングしたものであり、その *proX* プロモーターが *B. longum* との共培養早期において誘導されたことから、*proX* 上流にプロモーター領域があることが予測された(Fig. 18)。そこでプライマー伸長法にて転写開始点の決定を行った。まず PPT クローンの *proX* プロモーターがクローニングされた pGRK252 の形質転換体を 5 mL の ABCM 培地好気条件下で、*B. longum* を ABCM 培地窒素嫌気条件下で前培養した。次に 10 mL の ABCM 培地の入った 6 本の試験管に大腸菌前培養液を 50 μL ずつ植菌し一晩好気条件下で培養を行った。また同様に *B. longum* も 3 本の試験管に 50 μL ずつ植菌をして一晩窒素嫌気条件下の 37 °C で本培養を行った。培養後、大腸菌が培養された試験管 3 本には ABCM 培地を各 10 mL ずつ入れ混合し、残りの 3 本には *B. longum* の培養液を各 10 mL ずつ入れ混合してから窒素嫌気条件下の 37 °C で 1 時間培養を行った。この 2 種類の培養細胞から total RNA を抽出した。次に吸光度から算出した濃度から計算した total RNA 2 μg 分を 0.8% アガロース電気泳動で展開し、RNA の純度と濃度

を確認した。次に total RNA 40 µg に対してプラスミド上の GFP に対する FITC ラベルされたプライマー—EGFP-anti-FITC を用いて逆転写反応を行い pGRK252 の *proX* プロモーターから転写されている GFP の mRNA に対する cDNA を合成した。また上記の同 FITC ラベルプライマーを用いて、*proX* プロモーター周辺のシーケンスラダーも調製した。調製した cDNA とシーケンスラダーを蛍光自動 DNA 分析装置 DSQ-500L (島津製作所製)にて分析し cDNA のバンドの位置から転写開始点を決定した。

その結果、PPT クローンの大腸菌形質転換体単独培養由来の cDNA のバンドは確認できなかった。それに対し、*B. longum* との共培養由来の cDNA のバンドは確認できた(Fig. 19)。このことから *proX* プロモーターが *B. longum* との共培養時に転写レベルで誘導されていることが明らかとなった。また cDNA のバンドの位置から転写開始点は *proX* の開始コドンから上流 13 bp の位置の塩基 A であることが分かった。この新規転写開始点の上流にはプロモーター配列である -10 ボックスと -35 ボックスの配列も確認できた(Fig. 20)。

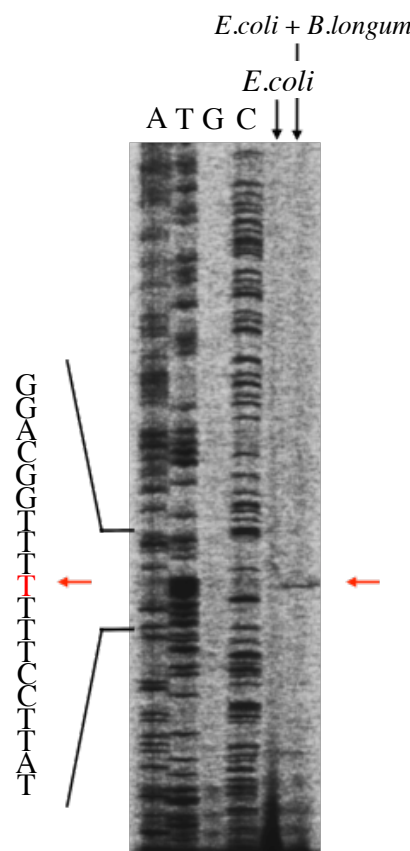


Fig. 19. プライマー伸長法による *proX* 転写開始点決定

大腸菌のみのレーンには PPT の *proX* クローン由来の cDNA のバンドが確認できないのに対し、*B. longum* との共培養時にはバンドが確認できた。

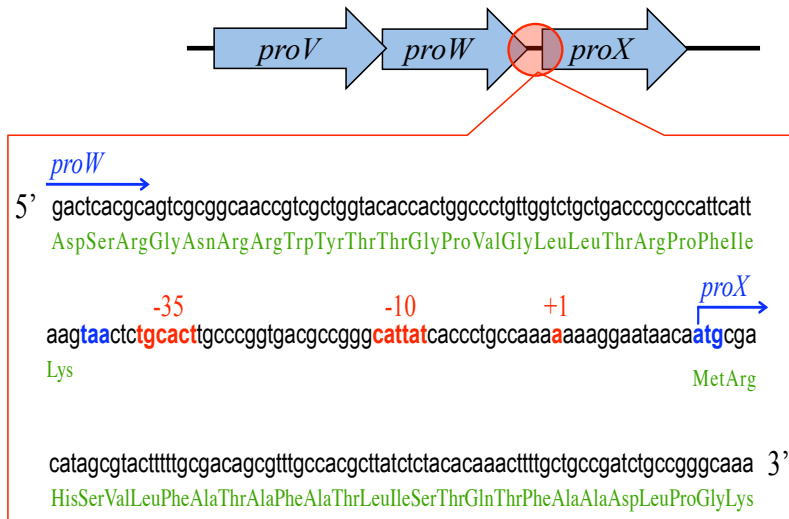


Fig. 20. *proX* 遺伝子の転写開始点とプロモーター領域

転写開始点は *proX* の翻訳開始点から上流 13 bp に位置する塩基 A であった。また転写開始点及び予測されるプロモーター領域を示した。

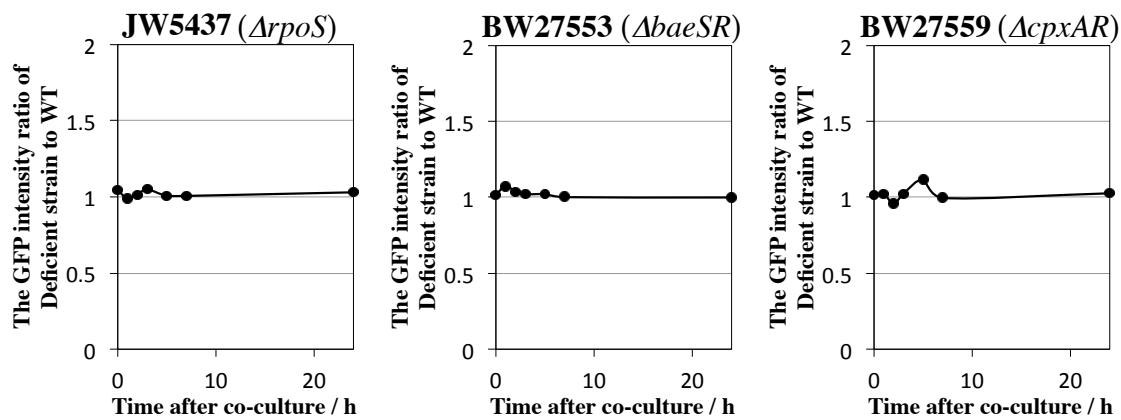
### 3-3-3-3. *rpoS, beaSR, cpxAR* の *proX* プロモーター発現への影響

*proX* プロモーターは *B. longum* との共培養時に早い段階から誘導されていることから、*B. longum* の存在に対しストレス応答で誘導されていることが考えられた。したがってストレス応答のレギュレーター遺伝子が *proX* プロモーターの誘導に関与していることが考えられた。*proX* プロモーターの誘導に関与しているレギュレーター遺伝子としてまず考えられたのが *rpoS* である。*rpoS* は  $\sigma^S$  をコードする遺伝子であり、また  $\sigma^S$  は定常期におけるストレス応答のグローバルレギュレーターのひとつである(McRobb et al. 2002)。さらに大腸菌が直接 *B. longum* の存在を感知するには表層ストレスなどに関係したセンサー蛋白質の関与が考えられた。大腸菌では表層ストレス応答の二成分制御系の *beaSR*, *cpxAR* が考えられた(Mone et al., 2009; Otto, and Silhavy, 2002)。

上記の 3 つのストレス応答性のレギュレーターからの制御を受けているか、野生株と *rpoS, beaSR, cpxAR* 遺伝子欠損株における *proX* プロモーターの発現を比較することで調べた。*E. coli* BW25113 (WT), *E. coli* JW5437 ( $\Delta rpoS$ ), *E. coli* BW27553 ( $\Delta beaSR$ ), *E. coli* BW27559 ( $\Delta cpxAR$ ) のコンピテントセルを作製し *proX* プロモーターがクローニングされた pGRK252 を形質転換した。この形質転換した大腸菌株を ABCM 培地 5 mL を入れた試験管 2 本にて好気条件下の 37°C で一晩前培養した。また *B. longum* を ABCM 培地 5 mL にて窒素嫌気条件下の 37°C で一晩前培養した。培養後、大腸菌株培養液 5 mL を ABCM 培地 5 mL 及び *B. longum* の培養液 5 mL とそれぞれ混合し、窒素嫌気条件下の 37°C で培養した。培養中、経時的に培養液 200  $\mu$ L をサンプリングして 96 穴平板プレートに移し、

蛍光プレートリーダー(コロナ電気製 MTP-880)にて緑色蛍光強度を測定した。得られた各サンプルの蛍光強度の値からバックグラウンドである ABCM 培地の蛍光強度の値を引いた後、欠損株で蛍光強度を WT の蛍光強度で割ることで蛍光強度比を求めた。

その結果、混合してから 24 時間共培養したが野生株と各遺伝子欠失株で蛍光強度に差異はなく、発現量に変化は見られなかった(Fig. 21)。このことから *rpoS*, *beaSR*, *cpxAR* は *proX* プロモーターの誘導に関与していないことが明らかになった。



**Fig. 21.  $\Delta rpoS$ ,  $\Delta beaSR$ ,  $\Delta cpxAR$  株における *proX* プロモーター活性**

*B. longum* 共培養時における各遺伝子欠損株の *proX* プロモーターの活性は野生株と変化なかった。

## 第4章 考察

### 4-1. 大腸菌 W3110 と各種ビフィズス菌の共培養で形成される細菌叢

大腸菌 W3110 とビフィズス菌株の増殖速度及び培養液 pH は菌種ごとに異なり、またビフィズス菌の方が培養液の酸性度が高い結果となった。大腸菌は通性嫌気性菌であり好気条件、嫌気条件にかかわらず生育できたが、ビフィズス菌は菌種によって増殖速度が大腸菌と同程度の速度の種と増殖に時間のかかる種が観察された。この理由としてビフィズス菌の菌種間での生育環境の違いが考えられる。ビフィズス菌は偏性嫌気性菌である為、通常は腸内のように嫌気性条件下でないと生育できないのだが、菌種によっては口腔内などからも単離されている菌種もあり、比較的好気に近い環境で生育できる場合もある。このように適応できる環境が菌種ごとに違うことから、今回液体培養に用いた ABCM 培地での培養にも適応しやすい菌種とそうでない菌種がいたと考えられる。またビフィズス菌の培養液の酸性度が高くなることもビフィズス菌が大腸菌と異なる偏性嫌気性細菌であることに起因していると考えられる。それはビフィズス菌がエネルギー代謝に酸素を利用することができない為、乳酸発酵によってエネルギーを得ており、酸素を利用するよりもエネルギー効率が悪い。その為、ビフィズス菌の増殖速度が大腸菌に比べ遅くなると考えられる。また、乳酸発酵の過程で乳酸と酢酸を產生する為、ビフィズス菌培養液は大腸菌より酸性側にシフトしている。

次に大腸菌 W3110 と各ビフィズス菌の共培養を行い、その共培養液中における各菌の生菌数を CFU/mL で算出した結果、大腸菌とビフィズス菌の植菌細胞数に最大 10000 倍近くの差があるにもかかわらず定常期まで共培養を行うとビフィズス菌種との共培養において各菌の生菌数の差は 10 倍未満になった(Table 4)。特に、単独での増殖速度が大腸菌に比べ非常に遅かった *B. pseudolongum* との共培養おいても、定常期まで培養すると大腸菌とビフィズス菌間の生菌数の差はほとんど見られなかった。この結果は共培養液中では大腸菌とビフィズス菌がその増殖速度に関係なく特定の細菌叢に落ち着くとこを意味しており、大腸菌とビフィズス菌間で何らかの相互作用が起きていることが示唆された。

### 4-2. *B. longum* と共存時の大腸菌の応答機構

PPT クローンを用いビフィズス菌 *B. longum* との共養時に発現が上昇する大腸菌プロモーターを探査した結果、37 の大腸菌プロモーターが誘導された。これら発現が上昇したプロモーターを分類すると、細胞外物質を感知するセンサー蛋白質や物質輸送に関わるトランスポーターやアンチポーターなど膜に存在す

る蛋白質遺伝子のプロモーターが 13 種類、酵素が 7 種類、転写因子などのレギュレーターが 6 種類、その他が 3 種類、機能未知遺伝子が 8 種類含まれていた (Table 5)。特にトランスポーターやアンチポーターといった膜蛋白質遺伝子のプロモーターが多く誘導されていることから、*B. longum* 存在下では大腸菌は積極的細胞外と物質のやりとりを行い、外部環境を感知しようと振る舞っていることが考えられた。しかし、ビフィズス菌の培養上清由来の CM ではこれらのプロモーターは誘導されなかった。その理由として CM を作製した際に、酸性であった培養液を中性まで調整したことが考えられる。つまりこれらの膜蛋白質は酸性度によって誘導されており、中性条件下では誘導されないことを示唆している。またいくつかの機能未知遺伝子の発現も上昇しており、これらの遺伝子の中に *B. longum* との細胞間コミュニケーションに関わる遺伝子が含まれていることも考えられる。

ビフィズス菌 *B. longum* との共培養で発現が上昇した 37 プロモーターのうち *B. longum* の CM で *yjbJ* プロモーターが誘導された (Fig. 15)。この結果から、*yjbJ* プロモーターは QS のように培養液中に放出される何からの物質によって誘導されていることが示唆された。またこの *yjbJ* プロモーターは大腸菌及び他のビフィズス菌 CM でも誘導され、グラム陰性菌とグラム陽性菌の間で幅広く起きる QS であることが考えられた。現在、グラム陰性菌とグラム陽性菌間の QS を媒介するシグナル分子の前駆体を合成する蛋白質として LuxS が報告されている。この LuxS をコードする *luxS* は細菌の種を問わず幅広く保存されており、本研究に用いた菌株のほとんどがこの *luxS* を持っている。しかし、QS によって誘導されていると考えられる *yjbJ* プロモーターであるが、*luxS* 遺伝子をゲノム上に持っていない大腸菌 DH5α の CM で誘導された。また逆に *luxS* 遺伝子をゲノム上に持っている *B. psudocatenulatum* と *B. psudolongum* の CM では誘導されなかつた。これらの結果から、*yjbJ* プロモーターの誘導は既存のグラム陰性菌とグラム陽性菌間 *luxS* の関与する QS とは異なる QS システムであることが示唆された (Fig. 22)。

*B. longum* との共培養後早期に発現する *proX* プロモーターは菌体内外の浸透圧調整に関係しているグリシンベタイントランスポーターのサブユニットをコードしている。機能としてはグリシンベタインを認識するトランスポーターのセンサーを担っている。しかし、*proX* プロモーターは *B. longum* の CM では誘導されなかつたことからビフィズス菌の分泌する化合物を感知しているわけではないと考えられ、*proX* プロモーターの誘導には大腸菌体の近傍に *B. longum* 菌体の存在が必要であることが示唆された。(Fig. 22)。また *pro* オペロンの下流の遺伝子である *proX* のみが *B. longum* との共培養で、ストレス応答のように誘導されていたことから、トランスポーターとして機能しているわけではないことが

示唆された。さらに *pro* オペロン上流だけでなく *proX* 上流にもプロモーター領域があることが示唆された。そこでプライマー伸長法にて転写開始点の決定を行った結果、転写開始点は *proX* の開始コドンから上流 13 bp の位置の塩基 A であることが分かった。また転写開始点の上流に-10 ボックスと-35 ボックスの配列も確認できた。このことからオペロン構造をとり同じ転写単位で転写されている遺伝子群の中でも、別の機能の為に単独で転写される 遺伝子があることが示唆された。さらに *proX* プロモーターは *B. longum* との共培養 1 時間で誘導されたことからストレス応答のように誘導されるプロモーターであると考えられたが、*B. longum* との共培養後ではストレス応答性のレギュレーターである *rpoS*, *beaSR*, *cpxAR* の制御を受けていないことが明らかとなり、*proX* プロモーターはストレス応答として *rpoS*, *beaSR*, *cpxAR* によって誘導されているのではなく、何らかの別の作用で誘導されていることが考えられた。

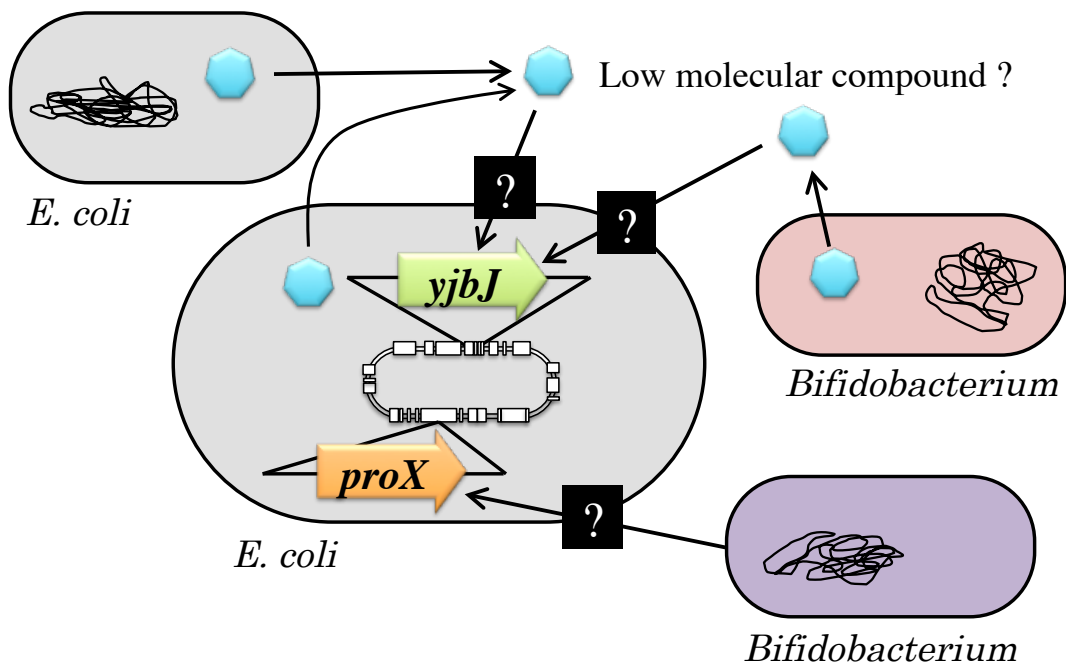


Fig. 22. 大腸菌と *B. longum* 間の細胞間コミュニケーションシステムモデル

大腸菌 *yjbJ* プロモーターは大腸菌及び、ビフィズス菌が菌外に放出する既存の AI-2 とは異なる低分子化合物によって誘導される。また、大腸菌 *yjbJ* プロモーターの誘導にはビフィズス菌体そのものが必要である。

## 第5章 参考文献

- Baba, T., Ara, T., Hasegawa, M., Takai, Y., Okumura, Y., Baba, M., Datsenko, K., Tomita, M., Wanner, B., and Mori, H. (2006) Construction of *Escherichia coli* K-12 in-frame, single-gene knockout mutants: the Keio collection. *Mol. Syst. Biol.* 2, 1-11.
- Barron, S., Jung, J., and Villarej, M. (1987) Purification and characterization of a glycine betaine binding protein from *Escherichia coli*. *J. Biol. Chem.* 262, 11841-11846.
- Bassler, B. and Losick, R. (2006) Bacterially Speaking. *Cell* 125, 237-246
- Blattner, F., Plunkett III, G., Bloch, C., Perna, N., Burland, V., Riley, M., Collado-Vides, J., Glasner, J., Rode, C., Mayhew, G., Gregor, J., Davis, N., Kirkpatrick, H., Goeden, M., Rose, D., Mau, B., and Shao, Y. (1997) The complete genome sequence of *Escherichia coli* K-12. *Science* 277, 1453-1462.
- Gowrishankar, J. (1989) Nucleotide Sequence of the Osmoregulatory proU Operon of *Escherichia coli*. *J. Bacteriol.* 171, 1923-1931.
- Haldman, A. and Wanner, B. (2001) Conditional-Replication, Integration, Excision, and Retrieval Plasmid-Host Systems for Gene Structure-Function Studies of Bacteria
- Jishage, M. and Ishihama, A. (1997) Variation in RNA polymerase sigma subunit composition within different stocks of *Escherichia coli* W3110. *J. Bacteriol.* 179, 959-963.
- Makinoshima, H., Nishimura, A., and Ishihama, A. (2002) Fractionation of *Escherichia coli* cell populations at different stages during growth transition to stationary phase. *Mol. Microbiol.* 43, 269-279.
- Mcrobb, L., King, T., and Ferenci, T. (2002) *rpoS* Mutations and Loss of General Stress Resistance in *Escherichia coli* Populations as a Consequence of Conflict between Competing Stress Responses. *J. Bacteriol.* 184, 806-811.
- Miller, M. and Bassler, B. (2001) Quorum sensing in bacteria. *Annu. Rev. Microbiol.* 55, 165-199.
- Miyawaki, A., Nagai, T., and Mizuno, H. (2003) Mechanisms of protein fluorophore formation and engineering. *Curr. Opin. Chem. Biol.* 7, 557-562.
- Mone, S., Nomane, Y., Reymond, N., Barbet, R., Jacquet, E., Imbeaud, S., Jacq, A., and Bouloc, P. (2009) Global Analysis of Extracytoplasmic Stress Signaling in *Escherichia coli*. *PLoS Genetics* 5, e1000651.

- Nealson, K., Platt, T., and Hastings, J. (1970) Cellular control of the synthesis and activity of the bacterial luminescent system. *J. Bacteriol.* 104, 313-322.
- Ormö, M., Cubitt, AB., Kallio, K., Gross, LA., Tsien, RY., and Remington, SJ. (1996) Crystal structure of the *Aequorea victoria* green fluorescent protein. *Science* 273, 1392-1395.
- Oshima, T., Aiba, H., Masuda, Y., Kanaya, S., Sugiura, M., Wanner, B., Mori, H., and Mizuno, T. (2002) Transcriptome analysis of all two-component regulatory system mutants of *Escherichia coli* K-12. *Mol. Microbiol.* 46, 281-291.
- Otto, K. and Silhavy, T. (2002) Surface sensing and adhesion of *Escherichia coli* controlled by the Cpx-signaling pathway. *PNAS* 99, 2287-2292.
- Riley, M., Abe, T., Arnaud, M., Berlyn, M., Blattner, F., Chaudhuri, R., Glasner, J., Horiuchi, T., Keseler, I., Kosuge, T., Mori, H., Perna, N., Plunkett III, G., Rudd, K., Serres, M., Thomas, G., Thomson, N., Wishart, D., and Wanner, B. (2006) *Escherichia coli* K-12: a cooperatively developed annotation snapshot—2005. *Nucleic Acids Res.* 34, 1-9.
- Sperandio, V., Torres, A., Jarvis, B., Nataro, J., and Kaper, J. (2003) Bacteria–host communication : the language of hormones. *PNAS* 100, 8951–8956.
- Zhou, L., Xiang-He L., Bochner, B., and Wanner, B. (2003) Phenotype microarray analysis of *Escherichia coli* K-12 mutants with deletions of all two-component systems. *J. Bacteriol.* 185, 4956-49572.
- 青木 鼎 (2004) 人体常在菌のはなし. 集英社

## 第6章 謝辞

本論文は筆者が法政大学大学院工学研究科物質化学専攻に在籍中に行った研究成果をまとめたものである。本研究を行うにあたり終始適切なご助言を賜り、また丁寧に指導して下さった法政大学生命科学部山本兼由准教授に深く感謝の意を表する。また本研究を共同研究としてビフィズス菌株の提供及び数多くの助言を賜った麻布大学獣医学部森田英利教授、ならびに PPT クローンなどの提供を賜った法政大学生命科学部石浜明教授に深く感謝の意を表する。さらに法政大学生命科学部川岸郁郎教授には副査としてご助言を賜った。ここに深く感謝の意を表する。法政大学生命科学部教育技術嘱託の市原正樹氏には透過型電子顕微鏡による細菌細胞の観察を行うにあたり、顕微鏡の使用方法を指導して戴いた。ここに深く感謝の意を表する。法政大学生命科学部小笠原寛博士、寺本潤博士、島田友裕博士には各種研究機器の使用法、ならびに実験試薬の調製法などの指導を賜った。深く感謝の意を表する。2009 年度法政大学工学部生命機能学科卒業の村田侑子氏、2010 年度法政大学工学部生命機能学科 3 年の加藤拓弥氏には実験データを提供して戴いた。ここに両氏に深く感謝の意を表する。法政大学生命科学部ゲノム生物学研究室の各位には研究遂行の為、日頃より実験機器などの使用に際し協力して戴いた。ここに深く感謝の意を表する。最後に、これまでの研究生活を支えてくださった家族に深く感謝の意を表する。

Table S1 PPTにクローニングされた大腸菌プロモーターと構築に用いたプライマー

PPT No.	Cloned gene name	S-Primer		T-Primer		length/mer
		Name	S primer sequence (5'→3')	Name	T primer sequence (5'→3')	
H001	<i>ygdH</i> ( <i>JW1596</i> )	H001S	TATGTGATGCATGAAAACACTCTATGGGA	H001T	ACTATCGAGATCATGAAATCAGTCAGAC	30
H002	<i>ydeN</i> ( <i>JW1430</i> )	H002S	GAGATTAATGCCATGCCAACCTCCCGGAAAAA	H002T	AGCGTAAAGATCTCCCGGCCAGCACTTGCGG	30
H004	<i>argO</i> / <i>yggA</i> ( <i>JW2800</i> )	H004S	CGATGCCATGTGGAAATTCGAATTAGTATC	H004T	GAAGATCTCACAGCGTTAAATATCGTTATCC	33
H005	<i>yjC</i> ( <i>JW4288</i> )	H005S	CGATGCCATAGTACCTTTAGATGATTTTCAC	H005T	GAAGATCTTTCATAGCACTCTTTTG	31
H006	<i>yjD</i> ( <i>JW5782</i> )	H006S	GAAGATCTAAAGGGTAGGAAAACCTTAAAG	H006T	CGATGCCATTTGGCCACACTCTGAC	24
H007	<i>torY</i> ( <i>JW1862</i> )	H007S	CGATGCCATAGTCTCTTAATTAATCTGG	H007T	GAAGATCTCAAGGATTGTCATGTCAATCAG	30
H008	<i>yfaL</i> ( <i>JW2227</i> )	H008S	CGATGCCATATACTAACATCATTTCTATAAG	H008T	GAAGATCTGGAAAAGAAAAAGTGGCTTTCG	29
H009	<i>ndrA/dnaE</i> ( <i>JW2228</i> )	H009S	GAAGATCTACGCCGTTAAATCGCATTATAC	H009T	CGATGCCATGATGTCGATCTTTTTTG	28
H011	<i>fumE</i> ( <i>JW4276</i> )	H011S	GAAGATCTATTCGTCATGTCGTTGATAC	H011T	CGATGCCATTTGGCAATGACTCTTAACTG	28
H027	<i>yeaM</i> ( <i>JW1779</i> )	H027S	CTTGTGATGCATTITGCTTCAACTTGGCA	H027T	TTAAATTAGATCTGCGAGTAAAGCATGCC	30
H028	<i>yeaN</i> ( <i>JW1780</i> )	H028S	GGGTGACATGTCATGCCAGTCAGTCG	H028T	TGAACACGATGTCATCTCTCATGTCACA	30
H032	<i>ytfL</i> ( <i>JW3390</i> )	H032S	CGATGCCATTTCTTCATCTTGTAAATGG	H032T	GAGGATCCCACCTTGGCTGCTTAATG	28
H033	<i>yeY</i> / <i>JW5804</i> ( <i>J320</i> )	H033S	CGATGCCATGGAGTTGCTTGTG	H033T	GAAGATCTAATCAATTTCAGATCGGATTTC	33
H034	<i>ympC</i>	H034S	CGATGCCATAAAGATTCACCACTATTTCTATAAG	H034T	GAAGATCTCGTAAAGGGGTTCAAC	27
H035	<i>mpa3</i> ( <i>JW1319</i> )	H035S	CGATGCCATCTTCTTCAACCCGTTGTC	H035T	GAAGATCTCGTAAACCTATAGGCCGAAAG	28
H036	<i>yezf</i> ( <i>JW1321</i> )	H036S	GAAGATCTCACTCGGGGATATGTCGAC	H036T	CGATGCCATCTGATCTCTCATGCACT	27
H037	<i>rfaB</i> ( <i>JW3003</i> )	H037S	CGATGCCATGTTTACGGTTTATTTGCTATAATCAG	H037T	GAAGATCTTAACTGACATGCCAGCTTAAAG	31
H038	<i>rfaQ</i> ( <i>JW3607</i> )	H038S	CGATGCCATTTATGACAGGTTTCTTC	H038T	GAAGATCTTCAGATCAGCGCTGTAATAG	28
H039	<i>ampF</i> ( <i>JW0423</i> )	H039S	CGATGCCATGGGGCTCTACGG	H039T	GAAGATCTGGCACTTCAGATTAATAG	29
H078	<i>ymcC</i> ( <i>JW0669</i> )	H078S	AAGAGATGCCATTTACCTTCGAAAG	H078T	GAACACAGATCTTCTGAAAGGGGTTCAAC	30
H087	<i>magI/magA/bchC/bchD</i> / <i>JW0098</i>	H087S	GAAGATCTCGTAAAGAAAGTACGGCTC	H087T	CGATGCCATTTCTTCACTATAGGCCGAAAG	35
H089	<i>yuwH</i> / <i>JW0010</i>	H089S	CGATGCCATTTTGGGCTCTATATCTGGCG	H089T	GAAGATCTAATCTCTTCACTAGCGTAAACTA	35
H097	<i>lspA</i> / <i>lapB</i> / <i>lcs</i> ( <i>JW025</i> )	H097S	GAAGATCTGAAAGTGGGGCTACTCTGG	H097T	CGATGCCATGCCGAAACTACGTTTTTACCG	32
H098	<i>fpB</i> / <i>slpA</i> / <i>yuwD</i> ( <i>JW0026</i> )	H098S	GAAGATCTCCCGCTGTTGCTGCTTAATC	H098T	CGATGCCATGAGTTGCTCTTAAATTAAGG	32
H104	<i>cufC</i> ( <i>JW0036</i> )	H104S	CGATGCCATTTTGTGGTTGTTATGCG	H104T	GAAGATCTCTTAAAGATATTCGCTCCAC	31
H105	<i>cufB</i> / <i>yuwN</i> ( <i>JW0037</i> )	H105S	CGATGCCATTTCTCTGAAAGATAATGAGGC	H105T	GAAGATCTGAGCTTCTGAACTTCATGTC	30
H106	<i>cufA</i> / <i>yuwO</i> ( <i>JW0038</i> )	H106S	CGATGCCATTTCAACCTTGTAAATTGGGG	H106T	GAAGATCTCGGCAATGOTCTGGGCTACAGCG	34
H107	<i>fcb</i> / <i>yuwR</i> ( <i>JW0041</i> )	H107S	CGATGCCATAGCATCCCCGTTAAATTAAGAC	H107T	GAAGATCTCTGGCAAACAGCGGAGGGC	31
H108	<i>fcbX</i> / <i>yuwS</i> ( <i>JW0042</i> )	H108S	GAAGATCTACGCCACCTGGAGTCGAGCAGC	H108T	CGATGCCATAAGGCTCCCTGTCAGCGGAGGGC	34
H109	<i>fcbX</i> / <i>yuwT</i> ( <i>JW0043</i> )	H109S	GAAGATCTCCGGCGTGTGCTGATC	H109T	CGATGCCATAAAACGGTCACCTTCTCAAG	31
H121	<i>yuhQ</i> ( <i>JW0056</i> )	H121S	GAAGATCTGAAACAGACTGAGCCTTATA	H121T	CGATGCCATGGTCACTGGCTCAGTACCG	33
H125	<i>sgrB</i> / <i>yuhN</i> ( <i>JW0068</i> )	H125S	CGATGCCATAAAGGGAACTCTGGCAAAG	H125T	GAAGATCTGACATTCACTGGCTATAAAAGAGGCC	32
H135	<i>mratY</i> / <i>mrarX</i> ( <i>JW0085</i> )	H135S	GAAGATCTCGTCTGACGGCGCTGGCC	H135T	CGATGCCATGTCGATCTCCCTGTAACCGG	31
H138	<i>mrarC</i> ( <i>JW0088</i> )	H138S	GAAGATCTACGCCATTCTGAAACCCGTTGGAA	H138T	CGATGCCATGTCGAAACCGCTGGGC	34
H139	<i>mrarC</i> ( <i>JW0089</i> )	H139S	GAAGATCTCTGGGTTACCTAAATGAGTC	H139T	CGATGCCATTTACGACCTAAACTTCACTTTA	30
H140	<i>ddIB</i> / <i>ddII</i> ( <i>JW0090</i> )	H140S	GAAGATCTGACTGGTCGTTGTTGATTTCTCG	H140T	CGATGCCATGTCGTTCTCCCGAGTTGCGGC	35
H152	<i>yadL</i> / <i>agsX</i> ( <i>JW0125</i> )	H152S	GAAGATCTAACITTCAGCTTGTG	H152T	CGATGCCATGGCTCTCTCTTAAAGGAAATC	31
H154	<i>yadL</i> ( <i>JW0131</i> )	H154S	CGATGCCATTTCACCCAAAGTTCCTTATG	H154T	GAAGATCTGAACTTCAGCTGATAAAAGAGGCC	32
H156	<i>yadL</i> / <i>yuwH</i> ( <i>JW0085</i> )	H156S	CGATGCCATTTCACCCCTGTGACTACTG	H156T	GAAGATCTCCAGGGTAAATGATCTGGG	30
H162	<i>cdaR</i> / <i>sdar</i> / <i>yeY</i> ( <i>JW158</i> / <i>JW5013</i> )	H162S	GAAGATCTCGACAAACTACCGCTGGCTTAC	H162T	CGATGCCATCTGGCAATGOTCTGGGCTACAGCG	31
H163	<i>yuwH</i> ( <i>JW0159</i> )	H163S	CGATGCCATACGGTTCATCTAAATGAGTC	H163T	GAAGATCTCTGGCAAACAGCGGAGGGC	31
H313	<i>ygtU</i> / <i>JW2989</i>	H313S	CGATGCCATGTCATCTTATTCATGTCGTC	H313T	GAAGATCTCTCTCTCTCTTAAAGGAAATC	35
K001	<i>dnaK</i>	K001S	GAATATCAAGTCACTGACTGGCCCTA	K001T	TATTTCATGCACTAAAGCTTCAC	26
K002	<i>dnaJ</i>	K002S	AAGCACAGCAGCATGTCATCCACCGCTGAA	K002T	CTTGTATGCACTTCACCGCTATAAAAGGCC	30
K007	<i>pob</i>	K007S	CTCCCTGATGCCATGCTGAAATTCATC	K007T	CTTGTATGCACTTCCTCCCTGTAACCGG	28
K010	<i>ppbD</i>	K010S	CCCGCTGTTATGCACTGTTGGCTCT	K010T	CCCTTCAGGAACTAGTAAAGGACGCC	30
K014	<i>hemL</i>	K014S	CAGACTTATGATGCCGTTGGGTTGATTC	K014T	CCCTTAAAGATCTGGGATCCCCAACAC	30
K015	<i>lpxA</i>	K015S	CGTTCCTCCAGATCTTACGGCTGTT	K015T	GGATTATTCAGTCATGTCGTTCTCCCG	30
K017	<i>dnaQ</i>	K017S	ACTGGTTTATGATCTGGGTTTCAAGCCA	K017T	ATTCAGATGATAGTCGGCTTAACTGTC	30
K018	<i>dinJ</i>	K018S	AACGCCATGACTCATGTCATGGGTTACTCT	K018T	GGAGCAGGAAACAGATCTGGGATCTGGT	30
K019	<i>dinP</i>	K019S	ATGGAAGTCAGCTGGAGATGAGATGTTG	K019T	GTAGGAACTTACGATCTGGGCTACAGGCC	30
K027	<i>mbpT</i>	K027S	CGCCGAAACGGTGAATGATGTCGATACGCTG	K027T	TTGATTCGGCATGTCGCTGGGCTACGG	30
K030	<i>phoB</i>	K030S	GAGGCAAGATCTGGGCTGGGCTGG	K030T	CGTGTATGCACTGGCCCTGTTGTAATA	30
K031	<i>phoR</i>	K031S	GGCTTAGATCTGGTCGAAAGGAAAGTACT	K031T	CGTTCATGCACTGGATAGACTCCAGGTTAAG	30
K035	<i>yuhJ</i>	K035S	TGTTGTCATGATCTCTTAAATGTTG	K035T	GGCTGTCGAGATCTCCCTGATTCAGGCTTAA	27
K037	<i>mdaA</i>	K037S	CGGAAATCAGAGATCTTCCAGACC	K037T	GGAGCAAGAAACAGATCTGGGATCTGGT	30
K039	<i>acrA</i>	K039S	TGTTGTCATGATCTGAAAGTACTCT	K039T	CCACCCAGATCTTCCCGGAAATCA	27
K041	<i>prfC</i>	K041S	CGAGGGCGGTGATGCCATGATGAAACCTCT	K041T	CCATGAGATCTGGCAACCCACAGAGAAA	30
K042	<i>yhdL</i>	K042S	CGCGGAACTGGCTGATGCCGTTGGCTT	K042T	GTCTTAAAGATCTGGCTATCTGAACTTAA	30
K043	<i>fir</i>	K043S	TGTTGTCATGATCTGGCTTAAATGAGTC	K043T	CCACCCAGATCTTACCCGGAAACAC	30
K049	<i>fimZ</i>	K049S	CGTTGGATGACATGTCATGTCATGGGAG	K049T	GTGATGTCATGTCACCTTCCTCAAT	30
K050	<i>emeE</i>	K050S	CTTGGTGGAGATCTTCTTCTTCACTG	K050T	ATTAAGGAGATCTGGGATCTTCTTCG	30
K051	<i>vhbA</i>	K051S	CAATTTCATGTCGTTGATCTGGGAGTC	K051T	GTGTCATGTCGTTGATCTGGGCTACAC	30
K052	<i>ydcA/cusR</i>	K052S	CAACAGATCATTTCTCCGAGATGTC	K052T	GGCCATGAGATCTGGCTGATGAACTAG	30
K053	<i>ydcB/cusC</i>	K053S	GCTGACAGGAGATCTTCCATAAATGCG	K053T	GTTCACAGGATCTGGCTGATGAACTTCA	30
K054	<i>ydcC</i>	K054S	CAGTAGATCTGGCTTAAATGAGTC	K054T	GGCTGAGATCTGGCTTAAATGAGTC	30
K062	<i>citA</i>	K062S	AGATGAGATCTGGCCCTCATGGGGAG	K062T	AAAGCTGATGTCATGTCATGGGTTG	30
K065	<i>nagA</i>	K065S	GGTTGAAAGGATGCCATGTCATGGGGGAT	K065T	CGTGTAGATGTCATGTCATGGGAGTC	30
K066	<i>segA</i>	K066S	TACGCCAACAGATCTTCATGACGGCTA	K066T	CAATGGCTATGTCATGTCATGGGCTAC	30
K067 (N)	<i>speF</i>	K067S	GCAATTTCATGATCTGGCTTAAATGAGTC	K067T	GTGAACTTACGATGTCATGTCATGGGCTT	30
K068	<i>ldpD</i>	K068S	TGTTGTCATGTCATCTGGCTTAAATGAGTC	K068T	GGCTGAGATCTGGCTTAAACCGCTTACCGCTT	30
K069	<i>kdpA</i>	K069S	ACCTTCGGCATGTCATGTCATGGGGCT	K069T	ATTAAGGAGATCTGGCTTAAATGAGTC	30
K070	<i>ybgA</i>	K070S	GTATCCCTGAGATCTTCATGTCATGGG	K070T	CGTGTAGATGTCATGTCATGGGCTTAC	28
K071	<i>ybgL</i>	K071S	CAATGCCAGAGATCTTAAAGGGGATG	K071T	TCAGGTTGTCATGTCATGTCATGGGAGTC	30
K074	<i>modF</i>	K074S	TGCAACAGATCTTACCTTCAGTCATGACGGCTA	K074T	CTCTGGCCGAGACTCTGGCTTACCTTC	30
K076	<i>uvrB</i>	K076S	CGAGGGAGATGACATGTCATGTCATGTC	K076T	ACGGTTTACGATGTCATGTCATGGGCTT	30
K079	<i>dinG</i>	K079S	ACCATGACCAAGATCTCCGAGTCATGTC	K079T	CGCGGGCTTAAATGAGCAACCTG	30
K085	<i>mdjA</i>	K085S	CGGAAAGGATCTTCATGTCATGGGGCT	K085T	CTAATTTATGATGTCATGTCATGGGCTT	25
K087	<i>marA/Z12383</i>	K087S	TATCTCATGTCATGTCATGGGCTTAC	K087T	ATACCTCATGTCATGTCATGGGCTTAC	30
K089	<i>foeA</i>	K089S	GGTGTGACAGATGTCATGTCATGGGCTTAC	K089T	GGACCCAGATGAGATCTGGGTTAACCT	30
K090	<i>himD</i>	K090S	GAACGGTGAACAGATCTGGGCTTAC	K090T	TCTGACTTACGATGTCATGTCATGGGCTT	30
K091 (N)	<i>ycdL</i>	K091S	CTAACATGAGATCTTAAATGAGTC	K091T	ATTCGACTTACGATGTCATGTCATGGGCTT	30
K092 (N)	<i>ssuE</i>	K092S	GGGTGATGACATGTCATGTCATGGGCTT	K092T	CACTGGTTGAGATCTGGCTTACGGCTT	30
K093 (N)	<i>ycbY</i>	K093S	AGATCAGTAAAGATCTTCATGTCATGGG	K093T	CAAAAGAGAATGTCATGTCATGGGCTT	30
K094	<i>helD</i>	K094S	GCTTCGGCTGATGTCATGTCATGGGCTT	K094T	GTCTTCAGATGTCATGTCATGGGCTTAC	30
K095 (N)	<i>ycaA</i>	K095S	TAACAAATGAGATGTCATGTCATGGGCTT	K095T	CACTGGCTGAGATCTGGGACACGGGACGG	30
K096	<i>torS</i>	K096S	GGCGAAATGACATGGGCTTAC	K096T	CCGGCAAGATCTGGGCTTAAACCTGG	30
K097	<i>torR</i>	K097S	GTGATGTCATGTCATGGGCTTAC	K097T	ACTGACATGTCATGTCATGGGCTTAC	30
K098	<i>putP</i>	K098S	GTGATGCGGAGATCTAACCGAGCTGGG	K098T	GTGTCATGTCATGGGCTTAAAGGGATGTTA	30
K099	<i>ycxE</i>	K099S-1	TTTCAGGGAGATGTCATGTCATGGGGCTT	K099T	CGACCCAGATGTCATGTCATGGGCTTAC	30
K100	<i>dinI</i>	K100S	GGTGCATGTCATGTCATGGGGCTTAC	K100T	CACTGGCCAGATGTCATGTCATGGGCTTAC	30

K101	<i>yqV</i>	K101S	GACAGCGATGCCATTCCCCCTCC	24	K101T	AGGCATGAAAGATCTACGAACAACATTGG	30
K102	<i>pabC</i>	K102S	TGGCAAAGATCTGGTATGCAGGCATTG	30	K102T	GACCGTTAAATTAACGATACCGGCTCTT	30
K104	<i>mfld</i>	K104S	CGATAATGTCATGCCATACGGTTGCA	30	K104T	TTCCTTGTCATCACATGGCGGTGCG	30
K105 (N)	<i>ysfU</i>	K105S	ACAAATTAAAGAGAATTACCCACAACTG	29	K105T	CGACAGGTGATGCATGAATCCCCTTGTT	30
K106 (N)	<i>potA</i>	K106S	TTCCTCTGATGCATGAAACGCCAACCGA	30	K106T	GCAATACCCGAGATCTGGCATGATTCTG	30
K107	<i>phoP</i>	K107S	AGTACATGATTTTATTCCTCTGCTT	30	K107T	CGCTGAGATCTTACGCCACTTACCC	30
K108	<i>mcxA</i>	K108S	TCCGAGGTGAAGATCTGGTCTGGAAAG	30	K108T	CACCATCCCTTCACCTATGCCACTCAG	30
K109	<i>umrC</i>	K109S	ATTATAAGATCTAATCTACCTTCCTGGT	30	K109T	GGCTTGTAAAGATACGATAATACTTCCCG	30
K110	<i>nhaB</i>	K110S	CCAGAGGAAATGCATGATGGTTCCCTA	30	K110T	TAAGAATCAGAGAATTAATGGGTTGCCGG	30
K111	<i>ycgQ</i>	K111S	CGACTCTGCACTGCATGCCATGCCAGAA	30	K111T	CITTAACCGAGACATTTCTGGCTGGCGTT	30
K112	<i>chua</i>	K112S	CTTGAAGATATGCAATGATGTTACCTCTT	30	K112T	TCAATGGACAGATCTCCGTTTAAACCTG	30
K114	<i>narX</i>	K114S	CGTTTACATGAAACTCTTCTCTCAGG	30	K114T	GCCAGAGATCTGAATAACGATAACCGG	30
K116	<i>hmtrssB/speE</i>	K116S	GATCGAGATCTGTCCTCCGCTTTCGCGC	30	K116T	GGCTGATGATGATCTTCTCCCTGACTGGC	30
K117	<i>ycbE</i>	K117S	CGCGAGGAGATCTCGAGACTCTGAGCAGC	30	K117T	GGCTGAGATCTGGTATGCTCCGAGAAGAAA	30
K122	<i>topA</i>	K122S	ATCCCTTGAGATCAAAGATGTCGGCGG	30	K122T	GACAAAGCCTTATGATATCTACCTAC	30
K132	<i>sfaA</i>	K132S	TTGAAATGCACTGCATGCCGGGGCTTATC	30	K132T	GGTGAAGATCTGATGAAACGACATCTCAG	30
K135	<i>yddA</i>	K135S	ATGGGAATGGTATGCAATTAGCGAAAAATG	30	K135T	CTTGAAGGAAAGATCTGGTTGTAAGAGTA	30
K137	<i>ydeA</i>	K137S	GATTGGAAAGATGCAAGGTTACAGAT	30	K137T	CAGTGTGTTGATGATCACACAGATTATGGG	30
K138	<i>ydeF</i>	K138S	TAGTAAAAAGATCTGTCCTGTAAACCCA	30	K138T	TAGGGATAAATGCTGATGTTCTGGCGCAG	30
K139	<i>ymfB</i>	K139S	TGATCGCTGGAGATCTGGCCATAAGCG	28	K139T	GTTCATGATGACGATGTTGAAATCTCTTGC	30
K140	<i>3J200J</i>	K140S	ATTCAAACCTGATGATGTCCTCCCTG	30	K140T	CTACATTCAGACATCTGACTCTAC	30
K141	<i>ebr</i>	K141S	TCCAAATAATGCACTGCCTCTCTGC	30	K141T	ATGGTCATCAAGATACACGCCGACTACA	30
K143	<i>rstA</i>	K143S	CCAGTAGATCTGTCACCGGAGCAGTTCC	30	K143T	CTAAACATGATGATGAAATAAAACGTC	30
K144	<i>tus</i>	K144S	AAACGAGCTAGATCTTACGCCAGACCT	30	K144T	GAGATGTAACGATCATAACATAACAC	30
K146	<i>ydgQ</i>	K146S	GCCATCAACAGAACATCCTAAACGAGAT	30	K146T	CTTAAATTCTCATGATGTTATCTCCAC	30
K147	<i>slyB</i>	K147S	GGTGGCAGATCTGTCATGCCAGACCG	30	K147T	CGCGTTATGATGCTGATGTTGAACTCTCTG	30
K148	<i>rnt</i>	K148S	GGCGATTGCAAAAGATCTGATTTTAT	30	K148T	GTTCAGGCTTATGATGCACTTCTCT	30
K149	<i>ydiC</i>	K149S	AGCATCCCCAGATCTCGAAAGGCAAAAC	28	K149T	TTTCCCAGGAGATGCTGATGATATCTCIAAA	30
K150	<i>ydiM</i>	K150S	CTTAAACAGATGCAACAGCTCTCGTTATCTG	30	K150T	CTGATATGATGATGATGAACTCCCTT	30
K152	<i>ydiM</i>	K152S	CCCTCACTGATCCAAATAATGTTGACA	28	K152T	GGAAAAGAGGATAATGATGATGTTACTT	30
K153	<i>ydiN</i>	K153S	ACCGCTGCTGTCCTGACATCCACCATTTATG	29	K153T	GGCTTATTGATGATGTTACAGCTCCCT	30
K155	<i>himA</i>	K155S	TITTGTGAAATGTCATGAGCTGCTTACCTCTA	30	K155T	CATTGCTCAAGATGATGTTGCGGTG	30
K158	<i>selD</i>	K158S	CGAGTTCATGTCATGAGACATCTCTGCA	30	K158T	ACGGGTGAGAATCTGCAAAACATCTCGGT	30
K162	<i>youE</i>	K162S	TAAGAAATGCACTGAAACGCTCTCGTTAAAG	30	K162T	GGCTGGAGATCTGAAAGGCGCTCC	30
K163	<i>3J5910J</i>	K163S	AAACATGCACTTACGATGCGAAATGTAATCTGC	30	K163T	AGAGATAAGCTTCTGCGGAAATCAACAG	30
K164	<i>tcmA</i>	K164S	ACTTCATGCGGATCCCCCATGCCA	25	K164T	GGATTGATGTCATCCCTGTGGAAATAATA	30
K165	<i>holE</i>	K165S	CACGCTAAAGATGCTGTCCTTCTGTTT	30	K165T	CCAGATGTCATGTCATCTTAACTCTCA	30
K166	<i>3J6013</i>	K166S	GCTGAAAGATGTCATGCTGAAACTGCAAAAC	30	K166T	CTTTCCTGAAATGCAATGATCTTTTTT	30
K169	<i>rvaB</i>	K169S	CGGTCTGCTTATGCACTTCTTACCTTACATA	30	K169T	CTGTTTTAAAGATCTCTTACCCACCGG	30
K170	<i>rvaA</i>	K170S	AGTCGCTCATGCATGACGCTCTCGTGT	30	K170T	TTCCTCCAAAGATCTTACCTACCCACCGG	30
K171	<i>rvcC</i>	K171S	K171S AAAAGATATGCACTGAGCAGCTCTCGTT	30	K171T	GAGAAATATGCACTGAGCAGCTCTCGTT	30
K172	<i>yelC</i>	K172S	CTAAGACCATGCAATAAAATACTCCAGAT	30	K172T	CCCGTTAGACCTGATGTTGTCATCGCA	30
K173	<i>cheB</i>	K173S	ATTTTATGCACTGTCATCTTACTTCTG	30	K173T	CCGACTGATCTGTCCTGTTGCTGG	30
K178	<i>avrV</i>	K178S	GGCTCAAACATGTCATGACTGACTGATA	30	K178T	GGCGAGGAGATCTGCAACGGCCGGT	30
K179	<i>avrY</i>	K179S	ACGTTATCATGAAAGATCTCAGAAATAAAC	30	K179T	GGCGGGAGATCTATACGTCAGGAGCTTG	30
K181	<i>dcm</i>	K181S	ATATTTCTGCACTAGATTCACCGGCC	30	K181T	GGCGGGAGATGAGAATCTGATGTTGTT	30
K182	<i>copR</i>	K182S	GGCTGATCACTTACACAAATGTAATCTGC	30	K182T	CACTAGATGTCATGAACTTACGCAAGATAG	30
K184	<i>yeoO</i>	K184S	GATGTCCTGATGCACTGTCCTCTGTTAGT	30	K184T	ATAIACCCGCAAGATCTCCCTTCGG	28
K187	<i>alkA</i>	K187S	GTTCAGGGATATGCACTGCATCTCTTATTC	30	K187T	CTTGTGAAATGAGATCTGGTGTGCT	30
K188	<i>yegM</i>	K188S	CCCTGAGAGATCTTCTGAGAAGCTGTT	25	K188T	CGCATCCGAAATGATGCAAGAAACTATT	30
K189	<i>bacS</i>	K189S	GTGCTAGATCTGTCACGCCAGAAATAAC	30	K189T	CCAGAAAGATGTCGGGCTTCTTTCG	30
K190	<i>bacR</i>	K190S	TGGGAGATCTGCGAAGACTTACACCAGC	30	K190T	AACCTGATCATGATCTCTCTGTAACCC	30
K193	<i>yehU</i>	K193S	AAAATCATGCACTACCCGATACCGGAC	30	K193T	CGTCTGAGAATCTCCAGGCGGAGAG	30
K194	<i>yehV</i>	K194S	ACGAAAGATCTGACCCGGGTTATGGGG	30	K194T	TAAGAGATCATGTCACCCCTTCGG	30
K196	<i>yohG</i>	K196S	TTAGCCACATGCAATGTCCTCTGCTT	27	K196T	AGGGCAACAAAGATCTGAGACTGAAATATC	30
K201	<i>nfo</i>	K201S	CGGAACTTTCGAGATCTACATGTTCTA	30	K201T	GGCTTACGATGTCATGTTGAGGAGACTCC	30
K203	<i>ber</i>	K203S	AGGGCAGATATGCACTGGCAGACAG	24	K203T	GGCAAGCAACGAGATCACGCTACTC	27
K204	<i>narP</i>	K204S	CGCGCAGATCTGAGGTTGACCTAATGCTG	30	K204T	TGCTTCATGCACTGATGTTCTGAGTT	30
K206	<i>yof</i>	K206S	TACAGAGATCTGAGCAGAAACCCGGAC	30	K206T	CAACTGGATGTCATGTTGCGCTGAG	26
K207	<i>alkB</i>	K207S	GGCAACAGATGCACTGATCTCTCTCA	30	K207T	AGAGCTGATGAGATCTATGCTTAAACGG	30
K208	<i>ada</i>	K208S	GTGGCTTATGCAATAACGCTCTCTGGT	30	K208T	GGATTTCATGATGTCCTTACCCGTCGG	30
K210	<i>yofN</i>	K210S	CTACACGATCTACCCATAATGCTG	30	K210T	TTCTGATGATGTCCTGTTATGACTGTT	30
K211	<i>rsvB</i>	K211S	CGGGAGGATCTGTCACGCCAGAAATAAC	30	K211T	ATATGCACTGATGAACTGACCTCTGTC	30
K212	<i>rsvC</i>	K212S	TGCTCTATGCACTGAGGAGGCTTCA	30	K212T	CCGAGGAGATCTCCATTACGCTCAATGGG	30
K213	<i>atoS</i>	K213S	GCATTGAGATCTTACGATGCTGTCATG	30	K213T	ATATACTGATGCTGAAATCTACAGTCT	30
K214	<i>atoD</i>	K214S	TGGTCATGCACTGATGTTGAGATT	30	K214T	TCAATTGATGATGATTTTACCCCTC	30
K215	<i>gyrA</i>	K215S	CGCAAGGTCATCACTAACGGCTATCC	30	K215T	CACCATGGTCAGCTGCACTGACCTGA	30
K224	<i>dsdX</i>	K224S	GGCAAGGAAATGCACTGCTTATGTTAAT	30	K224T	AGATTGGAGATGCTGATCTCCTTCCCC	30
K225	<i>dsdA</i>	K225S	TTATCTCTCATGCACTGCACTGACCCGGA	30	K225T	TTTAACTGATGATGATGACTCTCTT	30
K226	<i>emrK</i>	K226S	AACTGATGCACTATACCTCTACCTTC	30	K226T	GCTGACAGATCTGCTACTGCTCAGT	25
K227	<i>evsA</i>	K227S	GAGTGTAGATCTGCACTGAGTTAACCGAC	30	K227T	TATIGCATGCACTGATGTTACCTCTTCGAA	30
K228	(yelU)	K228S	GTCAACCAAGATCTGCGACAGCATG	30	K228T	TATTTCATGATGTTGACTGAAATGAAAG	30
K233	<i>lig</i>	K233S	GTTCGATGAAATGCACTGACCATCAAT	30	K233T	AGTTTCGGCAAGATCTCGCGACGGCCGA	30
K236 (N)	<i>entH</i>	K236S	TTCTGATGAAATGCACTGCTTACTCTCT	30	K236T	CCGACAGTCTGATGTTGCTTACCTGG	30
K237	<i>ypfEentS</i>	K237S	TAACAAAATTATGCACTGCGCTTAAAGG	30	K237T	TGCGCTTACAGATGATGTTGTCAC	30
K238	<i>narQ</i>	K238S	CACTGAGATCTCTGCACTGCCGGTGC	30	K238T	TTAACATGCACTGCGCTTCTCCACAAA	30
K239	<i>acrD</i>	K239S	TGCACTGAGATCTGCCAACCCCTGC	25	K239T	AGAAATGATGCACTGAAAGAGACCTCTG	30
K240	<i>hyfA</i>	K240S	CTTCAACATGCACTGAGATGGAGTTAAAG	30	K240T	AAACATGCACTGATGATGTTACAGGAT	30
K241	<i>perM</i>	K241S	TCAACATTGCACTAAAGACCTCTCTG	30	K241T	AATAGAACCTGATCTCCGACCCGGTCA	30
K243 (N)	<i>ypfF</i>	K243S	TCATTTGATGCACTGCGCTTACTCTCT	30	K243T	GTCTGATGATGTCCTGAGTTACCTGG	30
K244	<i>yfa</i>	K244S	GGCAAAACAGATCTCCGGGACCAAC	30	K244T	GGACAGGAGATCTCCGACTGTTACCTCT	30
K245	<i>yfkF</i>	K245S	CAGATAATGCACTGCGGAAATACCCGCG	30	K245T	TGGTGAAGATCTGCTGATGTTACCTCTG	30
K246	<i>recO</i>	K246S	GCCCGCTGCCGAAGATCTGATGGAGTTACT	30	K246T	GGCCGCTGCCGAAGATCTGCTGATG	30
K247	<i>ung</i>	K247S	CTTCACCGGAAGATCTGGTTACTCTCT	30	K247T	GTAACTGCTGATGCACTGCTCTCG	30
K249	<i>recN</i>	K249S	CGTTTTGCTGGAATGCCAGATTGTCAG	30	K249T	GGTCAGTTGATGCACTGATGTTCTCT	30
K250	<i>ygaE</i>	K250S	CGGAAACAGATCTCCGGGACCAAC	30	K250T	TGTCACCTGATGTCATGACGCGCTT	30
K251	<i>proW</i>	K251S	CTACCCGGATAGATCTCTGGCGGATGCG	30	K251T	TATTGATGATGATGTTACCTCCCTCA	30
K252	<i>proX</i>	K252S	TCGGCGCAATGAACTCTGGTCAGCGAA	30	K252T	GTACGTTATGCACTGTTATCTCTT	30
K253	<i>emrR</i>	K253S	GACGTATGAAATGCTGCTGCTGTTGG	25	K253T	TAACGAAGATCTGCACTGTTGGTATGACCT	30
K255	<i>embB</i>	K255S	ACTAACTGGAAGATCTGCACTGCCAGCGCTCAA	30	K255T	TTTGCCTGATGCACTACACGACCTCTG	30
K256	<i>recA</i>	K256S	TGTTTCTGCTGATGCACTTACTCT	30	K256T	GGGCAACCGCAAGATCTGGCGGAGCTTGT	30
K257	<i>srlA</i>	K257S	ATTCGGGGAGATCTCATGACCTGCG	30	K257T	TAATGGTTCTGATGTTCTCTCTTCA	30
K258	<i>srlD</i>	K258S	GAGCCAAATGCTGGCTGATGTCATGTC	30	K258T	ACCTGATGATGTTTACTCTTCAACAGAT	30
K259	<i>ascF</i>	K259S	TGCGCAGGGAGATCTAAGCCATTATCG	30	K259T	CATAATTITTAAGCACTGGATTCTT	30

K260	<i>mutS</i>	K260S	GCAATACTGTAGATCTCTTACGGCTTG	30	K260T	TTCATATGCACTGAGGGTTATGCGGT	30
K262	<i>barA</i>	K262S	ATCAGCAGATCTAACGGCTGGATGGCG	30	K262T	TAATGATATGCATGAGTCCGTTAGGGAC	30
K266	<i>recD</i>	K266S	CTTTGAAATGCACTACGCCCTCTCA	28	K266T	CGTACCGGGGAAGATCTGCACAGTT	28
K267	<i>recB</i>	K267S	GGGGACATCATGCACTTTCATCA	30	K267T	ACCGAGTCAGCCATAGAATCTGTGAGG	30
K268	<i>recC</i>	K268S	GGTAGACCTATGCAAGGGCTCTGACT	30	K268T	CAGCTTCCCTGAAGATCTAACAGCTTTA	30
K277	<i>endA</i>	K277S	TGCTGGAAAATCTGAAATGCCCTCAAT	30	K277T	CAAATAACAGATGCACTACTACCGTGT	30
K278	<i>mutY</i>	K278S	TTTCGCTAAAGAATCTCATGCCAGAAC	30	K278T	ATTGCGACGCTATGCGTACGGAAATTCA	30
K283	<i>ygiX</i>	K283S	TTTCGAGATCTGAGTGAACATTCAGGG	30	K283T	TAATAATAGATTTTCACTCTGGCGATA	30
K284	<i>tobC</i>	K284S	GCATTCGGATCGCTCAATCACACACA	27	K284T	TTCTTCATATGCACTCTTGTGTTGAGC	30
K286	<i>rpuU</i>	K286S	CGGAAATCCGGCGGGAGATCTTCAGAT	30	K286T	CGTACTTAAATCATGCAITGCTCTCA	30
K292	<i>yrhL</i>	K292S	TGGCGAGATCTGGCAATCCAGAG	30	K292T	ATAAGGAGATCTGGCAATCTCCGGAATA	30
K293	<i>arcB</i>	K293S	AATTGATGCAATAGGGAAATCTCAGCA	30	K293T	GTGAGATCTGGCGACTGGTGGCG	30
K297	<i>acrE</i>	K297S	TTTCGAACTGAGATCTGGGGTTCTCAGA	30	K297T	GGCATGTTATGCACTTACCTCCCAA	30
K305	<i>dam</i>	K305S	GCOCGATTTATGCACTGGCTACAACTAA	30	K305T	ACCGGCTGGAGATCTACGGGACACCAA	30
K306	<i>ompR</i>	K306S	TTTCATGCACTGTTTACCTCCAAAGG	30	K306T	CAGCGAGATCTGGAGGGTAAACCTCTCC	30
K310	<i>ugpA</i>	K310S	CGGGAGGAAATGCACTACGGTTAAATTC	30	K310T	CCACGGAAAGATCTATAACCGTGAATGG	30
K317	<i>yhdI</i>	K317S	TTACTCTTATGCAATCGACCGCCATAA	30	K317T	ATAGTGGAGATCTGGCAATCTGGCAAC	30
K319	<i>yhiI</i>	K319S	GAAACTAAGATCAAGGCACTGTCAC	30	K319T	TCTCTCATACATTAGCTCCGAAATTC	30
K320	<i>yhdB</i>	K320S	ACTATGCAATGAACTGAACTTCCACCTGAA	30	K320T	TCAAGAGATCTGGAGTGTGAGTTGACCCC	30
K327	<i>mutM</i>	K327S	CGGGATATTCATGCACTCCAGGAA	30	K327T	GGTACTGGCTGGAGATCTACCACTACGAG	30
K328	<i>dndD</i>	K328S	ATTGGCGCTGAAATCTCCCGGGCTGTGAT	30	K328T	GATGATGTCATGCACTGCACTTCC	30
K329	<i>rpsZ</i>	K329S	GACACCGAGAGATCTTACACACCA	28	K329T	CAGITACCGGAGATCACTTAAAGCT	28
K333	<i>uhpT</i>	K333S	TTAAGGAGATCTGGATGTTTACTCTGAA	30	K333T	ACCCCGGAAAGATCTTACCTTACCTT	30
K334	<i>uhpA</i>	K334S	AACCGTATGCACTGCTCTGGGGT	30	K334T	ATGATAGATCTCAAGAGATGGCACGCC	30
K335	<i>emrD</i>	K335S2	AACTTCTATAAGATCTGCAATGAACTGT	30	K335T	GCTTTCTATGATGCGTCTTATAA	30
K337	<i>dgoT</i>	K337S	TTGCTGATGAAATGAGCTGGATGTC	30	K337T	CGAAGGCGGATCTGATGCGCTTGAATTTAC	30
K338	<i>gyrB</i>	K338S	CATAGAAATTATGCACTAACGGTTCTCC	30	K338T	CACCGCTGGAGAGATCAACGGATGCT	30
K339	<i>recF</i>	K339S	CAAGGGGGTGGAGATGCAATCACTCTT	30	K339T	GACCGGTACAGATCTGGAGATGGAAATGG	30
K340	<i>dnalN</i>	K340S	CTACGGTAAAGATGCACTGGTTACAGAC	30	K340T	TAAGAAGAATCTGGAGAGATGTTTCCA	30
K341	<i>dnaM</i>	K341S	AAAGCGAAAGATGCACTGGGACTCTAC	30	K341T	GGCTTTATGGGGATGCCGAAAGATGAA	30
K343	<i>yidY</i>	K343S	TTAACGGGAAGATCTCAGGGCAA	29	K343T	CAAAAGCGATGCACTGGGCTAAAGCT	30
K344	<i>pstB</i>	K344S	CATTTGGGGAGATCTGGGAGATCTAC	30	K344T	TTTCAACCATGCACTGCAATCTTTC	30
K345	<i>pstS</i>	K345S	GGTGAATCAGACATCTTACACCGTICC	30	K345T	GGTACCCATACATGCACTAAATGCTTCC	30
K349	<i>yieO</i>	K349S	GCTCTTATTCATGCAATGCTTCTG	30	K349T	CGGTGAGATACTGCACTGGGAGGCAAT	26
K351	<i>yfbF</i>	K351S	CTTGGAGAAACAGATCTTGTGTTATTC	30	K351T	GTCAACCATATGCAATAGATGCTG	30
K354	<i>avrD</i>	K354S	CGCCGGCTGGATTCAGAACGGAGACTG	30	K354T	GGTAAAGAACATGCACTGGCACCGCC	30
K357	<i>55I#4</i>	K357S	CACCATCTAAATGCAATGAACTCCGG	30	K357T	GGCCGGCAGGAGATCTCTTGTGATAGCC	30
K359	<i>polA</i>	K359S	CAAAAACGGGGATCTGGCAATGACT	30	K359T	GGGGGGATCTGGCATGATACTGGCTT	30
K360	<i>ntrB</i>	K360S	TGCGTATGCAAAAGCAGTCTCTGAC	30	K360T	GTTCCTGAGATCTGGCGCTTACCCCC	30
K361	<i>yidQ</i>	K361S	CACTGTTGATGAAATGCTGTTCTCAGCTC	30	K361T	GTGGAATGCGTGGCTGATGCAAACTTCC	30
K362	<i>frrA</i>	K362S	CTGCGTAAAGATGCACTGGAAAGCACTG	30	K362T	GTCTGCGATGACATCTTCTGCTG	30
K363	<i>rhdT</i>	K363S	CAGTTGGGATGACAGCTACACCGCGAC	30	K363T	CGTAACTGGGATCTGATCTTCTC	30
K365	<i>cpxR</i>	K365S	ATTTCATGCAATTAAACACTCCGGAGG	30	K365T	CCCACAGATCTGGGGAGACAGGGATGG	30
K369	<i>priA</i>	K369S	TTGGCGAACATGCACTGGCTACCTGACT	30	K369T	GGGATGTTGAGAGATCTGGAGCGGTCA	30
K370	<i>ptsA</i>	K370S	CTGCACTACCGCTATGCACTGGGGCGC	30	K370T	GTATTTAACTGCACTGCACTACATC	30
K372	<i>hemE</i>	K372S	CAGGTATGCACTGCACTGTTGCGTGT	30	K372T	TTTTAAGTCTGCACTTGTGCTTCT	30
K373	<i>hydH</i>	K373S	TGCGTAAAGATGCACTGTTGCTGGCAAC	30	K373T	CATAAAATGCACTTCTTGTGCTG	30
K374	<i>styE</i>	K374S	CGAAAACATGACAGATCTGGAAAGAAC	30	K374T	GAATATACTGGGATGCACTGAC	30
K375	<i>mutF</i>	K375S	CTCTCTGGTAGATCTGAAATAAAAC	30	K375T	CTTTTAACTGCACTGGGGTCTCT	30
K379	<i>lexA</i>	K379S	GAATATGCACTGCTGCTTCTGGA	30	K379T	GTAAACGGCATGCTTGGCCCTTGGG	30
K380	<i>dmaB</i>	K380S	CTTTAGCGGAGATCTGGCTTGGGG	30	K380T	TTTAACTTCTGATGCACTGAGTGA	30
K381	<i>wraA</i>	K381S	CTTCGATCTATGCACTTCTTCCGGA	30	K381T	GTTCACCCAGGAGATCTGGTGTGAGC	30
K382	<i>ssb</i>	K382S	CGACGTATGCAAGATGCTGGTACCGTT	30	K382T	ACGGCTCTGCACTGCACTTCTTCT	30
K385	<i>yjP</i>	K385S	GTGAGATGCACTGATGGCTCTCTG	30	K385T	AAAGTATGCACTGCACTGGGAGAAG	30
K387	<i>rpsR</i>	K387S	GCAAACTGTCAGATCTGGGATGCG	30	K387T	CTCTGACATGCACTGCTTCTG	30
K389	<i>barS</i>	K389S	AGAATATGCACTGCTGAGTGGGGAGGT	30	K389T	AGGGAGATCTGCACTTCAACGGGG	30
K391	<i>dcvA</i>	K391S	CTTGTGCACTATGAACTTATCTCC	30	K391T	GGTAGATAAAATGCACTGTTGACCT	30
K392	<i>dcvS</i>	K392S	GAATGATGCACTGCTTCTGTTGACAA	30	K392T	CCCATAGATCTGAAATCATCACTCC	30
K395	<i>ecm</i>	K395S	CTGACGGTAAAGATCTGGAAAGCTT	30	K395T	GTCTCTTCTGCAAACTGCTTCTT	30
K396	<i>sugE</i>	K396S	CGAACCTGAGATCTGGGAAATGTTGATA	30	K396T	AAAACAAATGCACTGACACAGCTG	30
K397	<i>yjeF</i>	K397S	AAACGGTCGAGATCTGGGATGCGGG	30	K397T	GTATGGTAGATGCACTGGGGCTGAT	30
K398	<i>mutL</i>	K398S	GATTACTGATCTGGTAGTGGGGAGG	30	K398T	AGGCTGAGATCTGCACTTCACTCTG	30
K399	<i>aidB</i>	K399S	TGAGTAAATAAGATCACTGGCGCTT	30	K399T	TTGTTCTCATGCACTATGCGAGTACCA	30
K400	<i>rpsF</i>	K400S	GGCGCTTGCAGATCTGTTCTCTTATTA	30	K400T	GATTGCAATGATGTCATGCACTGCT	30
K405	<i>treB</i>	K405S	CACGAAGATCTGGGAGACTGGAAAGG	30	K405T	TTTTATTTGCTGATGCAAACTTCT	30
K406	<i>mgfA</i>	K406S	GCCAGTAGATGCAACAGACTACGGCTC	30	K406T	CTTTATGCAAAAGGAGCTCCGGACTG	30
K407	<i>idaD</i>	K407S	CAACAACTCTGAGATCTGCTGTTGGAC	30	K407T	GTGTTTACACATGCACTTCTCT	30
K408	<i>feeA</i>	K408S	GGACCGCTTGGAGAGCTGGGGGGAG	30	K408T	GGCCTGGAGATCTGGCTACCTCCCTCAT	30
K410	<i>yjoO</i>	K410S	GTAAAAAAACGATGCAAAACAAACCTC	30	K410T	ATCATCGGAGATCTGGCTGAATGGTT	30
K411	<i>mcxC</i>	K411S	TTTGTGATGCACTCTGTTGTTATAGG	30	K411T	CAGTTCAGATGCACTGATAGGAT	30
K412	<i>mcxB</i>	K412S	GATACTTCTATGCACTGCACTCTT	30	K412T	GACTGACACAGAGATCTGCAACACGGT	30
K413	<i>hus</i>	K413S	CAATTTCCCACATCCTTACCCCA	30	K413T	GATGATGAAATGAGATGTCACACCA	30
K414	<i>husM</i>	K414S	ATCGTATGCACTGAGTGGCTGGFAA	30	K414T	AAAGCATGAAAGAGATCTGCAATGAGAT	30
K415	<i>husR</i>	K415S	AAAGGGAACTGCACTGCTTCTGCT	30	K415T	CCGGCATACGAGATCTGGGGCTGAT	30
K416	<i>dmaT</i>	K416S	CTCTGGATGCACTGCTTCTGCTT	27	K416T	ACCCTTATGAGATCTGCTGTT	27
K417	<i>fluF</i>	K417S	CGCGCTAGCTGCACTGTTGCTT	30	K417T	GTGCGGAACGATGCACTGCAATGGGAT	30
K420	<i>creB</i>	K420S	GCACCGATCTGGAGATCTGGAAAG	30	K420T	TCCCGATGCAAACTGGCTTCTT	30
K421	<i>arcA</i>	K421S	CGGGTAGATGCACTGGTACCTTACCA	30	K421T	CCATGGGAGATCTGGGGGGGGCTG	30
K423	<i>cusS</i>	K423S	GCTTAATGCACTGGGACCTCAACAG	30	K423T	CGGGAGAGATCTGGGGCTGAT	30
K424	<i>citB</i>	K424S	TCAGGTGAGATCTGGGGGGGATTC	30	K424T	AAATGGGAGATCTGGGGCTTACCTCTGG	30
K425	<i>kdpE</i>	K425S	CAAAAGACATGCACTGGGGGGGG	30	K425T	TCAGGGAGAGATCTGGGGGGCAATAG	30
K426	<i>photQ</i>	K426S	GTAACTTATGCACTGGGGATCTGGAG	30	K426T	GTGTTGAGAGATCTGGGGTACCTAC	30
K427	<i>narL</i>	K427S	CTCTGGATGCACTGGGGATCTGGAG	30	K427T	CGTAACTGCACTGGGGATCTGGGGG	30
K428	<i>cheY</i>	K428S	CTTAACTGCACTACACTCTGATTA	30	K428T	GTACGGGAGATCTGGGGGGGGCTG	30
K429	<i>yeoV</i>	K429S	TAGTCATGCAATTCTTACCGCTACG	30	K429T	GCTGGCAGATCTACAAACGTTAAGAAC	30
K430	<i>yeH</i>	K430S	CTCGTCATGCACTGGGGGGGG	30	K430T	CGGGGGAGATCTGGGGGGGGCAATAG	30
K431	<i>evsS</i>	K431S	CTAGCGAGATCTGAGTGAAGGGCGAAGTC	30	K431T	GTAAAGGAAATGCACTGTTGTTAGGG	30
K432	<i>b238J</i>	K432S	CTGTCGAGATCTTCTCACCGAACACTGG	30	K432T	ATGATGACATGCAATATACCTGGGCTC	30
K433	<i>ygiY</i>	K433S	GTAGAGAATGCACTGGTAAAGGG	30	K433T	GGGTTAAATGCACTTCACTTAAAGTGT	30
K434	<i>envZ</i>	K434S	GCAATGCACTGGTTGAGGGCTGG	30	K434T	TGCAAGAGATCTGCACTGAGATCTGG	30
K435	<i>uhpB</i>	K435S	CAACGATGCACTGGGGCTCAAATG	30	K435T	TATAGAAGATCTCTCATGCTCCCG	30
K436	<i>ntrC</i>	K436S	CCCTCGATGCAAACTCTTACCTT	30	K436T	GTCAAGGAAGATCTGCAACGGGGGG	30
K437	<i>cpxA</i>	K437S	GCTGCGATGCAAGGAGAACACATG	30	K437T	ATGACCGAGATCTGACTTCTTAAAGG	30
K438	<i>hydG</i>	K438S	CGCTGGGAGATCTGGGGAGGGCTGCC	30	K438T	ATCGTGAATGCACTCTGTTGTTCTTAC	30

K439	<i>bisS</i>	K4395	CAGAAAATGCATCAGATICAATTAGTTTTC	30	K4397	GGGAACTAGATCTGCGGGCAAACCGAAGG	30
K440	<i>dcaRyjifG</i>	K4405	TACATTATGCACTTGTCGACCCTTCCCG	30	K4407	GACTCGGAAGATCTGGTCACATGCTGACG	30
K441	<i>crcC</i>	K4415	GGGGAAAATGCTGGTTAGTGGAGATGAGC	30	K4417	ATGCCGGAATATGCAATTACAGGCCCCAACGC	30
K442	<i>yacH</i>	K4425	GCAAAGATCAATGCAATTGGGAGATCTAA	30	K4427	CGGTITGTAACAGATTAACAGGAATCT	30
K443	<i>ygaA</i>	K4435	ATAACCGCTCATGCAAGCAACATC	30	K4437	GCACCAITCTAGATCTAAATTCTCTCAA	30
K444	<i>sobA</i>	K4445	CGCAGTGAACAGAATCTGGCAAAACGCT	30	K4447	GAGCAATTGCAATGCAATTGCTCTT	30
K445	<i>rpuJ</i>	K4455	TCTTTGGTTATGCACTGACAGAGCTCC	30	K4457	CTATTATATAGATCTGAAGCAAATATTTC	30
K446	<i>musCpauZ</i>	K4465	TGGCTAACTGATGCACTGCTACTCTTCAAGA	30	K4467	ATACGGGCCAAGATCTGCGGCAATACGC	30
K447	<i>yeoE</i>	K4475	ATATCATGAACTGATAAATAAATAACCA	30	K4477	GTACACGGCTAAGATCTGCTGACCTTGC	30
K448	<i>zfdD</i>	K4485	CACGACAGAAAGATCTGCTATGGTCAGAA	30	K4487	TCAACTGCTATGCAATAACCTTATCTCTT	30
K449	<i>yhdP</i>	K4495	AAAAGAGATCATGCATTCTCTCTAC	30	K4497	TACOCCCAGAAAGATCTGAAGAAAAGGCCA	30
K450	<i>b1017</i>	K4505	CAGGATGAGATCATCATTGGCTCCGG	30	K4507	CACACAATGCACTGGCTGCTGGTAGCG	30
K451	<i>cutC</i>	K4515	CCATTGATGCAATCGACATCTCCGCTAA	30	K4517	CGCGGGTTAGAATCTGTTGGAGCTTTTG	30
K452	<i>dbbC</i>	K4525	TAACACCTTATGCAATAATCTCCCTAA	30	K4527	GGCAGAAAGATCTTGGCAGGCAATTACTG	30
K453	<i>xerD</i>	K4535	CCAGATCTGCAATTGTCCTCTATG	30	K4537	GGGATTACAGGATCTTITGCAACAAAG	30
K454	<i>excC</i>	K4545	GCATCAGCAATGCACTGGCTGCAATT	30	K4547	GTIATTAAAGAATGCTGATCAACCAACTG	30
K455	<i>fpaP</i>	K4555	AACAGTAATGCACTACCTGGGATGAC	30	K4557	GTAAACACATGAGATCTGTCAGAACCTGA	30
K456	<i>fjd</i>	K4565	CACTAAGCAATCTGATGCTTAAATTAC	30	K4567	CGTAAACGATGCAACTGTAACCTTGC	30
K457	<i>lpnD</i>	K4575	GATGCTCCCAGAATCTCTCTGTTGTTTC	30	K4577	GTCAAGTAAATGCAATTACTTAAACCT	30
K458	<i>nlpB</i>	K4585	GAACAGAATGATGCAATAATCTCCCTAA	30	K4587	GATGATGAGCAGATCTTGGCTGATGGCG	30
K459	<i>rseA</i>	K4595	TTGTTCTTTATGCTGCTTAACCTTAA	30	K4597	CTTACAAAGATCTGACACTTAAACCTT	30
K460	<i>rseB</i>	K4605	CAAAGTGAATGCACTACCTGGGATGTC	30	K4607	GATAACAAAGAATCTCCGCTTATCAGGGT	30
K461	<i>rseC</i>	K4615	CCACTTATGCAATGCACTGGGATGAA	30	K4617	GGCGGAGAGATCTGCACTGGGATAGAAA	30
K462	<i>surA</i>	K4625	TTTCCAGATGCACTACTTTTCAATTIC	30	K4627	CGCATATAATGATCTGCGCTGAACT	30
K463	<i>yacl</i>	K4635	GTTCGAGCAGATCTGTTGGCGGTGTAT	30	K4637	GAGAAAATCATGATTAACCTTCCGTTAA	30
K464	<i>yfo</i>	K4645	GTGCGCACTGAGAATCTGCTTCAAGG	30	K4647	ATTCATGCGATCATGCTGATCTTGCCT	30
K465	<i>yssN</i>	K4655	GCATTTCGCAATGCACTGCTTCTCAAG	30	K4657	GGGGGGCTAAGAATCTGCGGACACTG	30
K466	<i>yidQ</i>	K4665	CGGAGAATGAGATCTATCCTCTGAGCGG	30	K4667	AAATAACATGATCATTACCTGACTGTG	30
K467	<i>yraM</i>	K4675	TTACCAACAGCAGATCTGCACTGGGAG	30	K4677	GTGAGGAGATCTGCACTGGCGATGAGT	30
K468	<i>yfJ</i>	K4685	CTTGGATAGTGCATGGTTTCTCTCA	30	K4687	TAACCTGGAGATCTGCACTGTTGAC	30
K469	<i>yzcN</i>	K4695	GAACCTGTAGACATCTGTCAGGCAAAC	30	K4697	CTTTTCAATGATGCTGTTATGCGTC	30
K470	<i>atoC</i>	K4705	AACCCAGATCTCAGCTGGCAAGAGAC	30	K4707	ATAGCATGCGATCATGCTGATTCTCTCG	30
K472	<i>hra</i>	K4725	TGGTTGAAAAGATCTGGAAAATCAGCT	30	K4727	ATGTTGTTTATGATGTAATTCTAGCTG	30
K473	<i>fabZ</i>	K4735	GGITGCTTGGAGATCTAACACAAAATC	30	K4737	GAGTGTGTTATGCACTGATACTCTCTG	30
K474	<i>mdaG</i>	K4745	ATAAAATGCGGAGATCTCAGTGGGATG	30	K4747	AACGCAATTGATCTGTTAGTTATGTT	30
K475	<i>dapA</i>	K4755	TTTCTCCGATGATCATGCCATTCTCTG	30	K4757	ACTTAACTCCGATCTTCTGACTGTTGGG	30
K476 (N)	<i>cdsA</i>	K4765	TTGCCGCAAGAATCTATGAGGCTAA	30	K4767	CCACCGCTGATGCTGAGACCCAGGG	30
K477 (N)	<i>ygF</i>	K4775	CAATTCTCTGATGCACTGGCTTACTAC	30	K4777	TGGCGGGCATCAGATCTTCTGGCGGACAA	30
K478	<i>yrpA</i>	K4785	TGGGAGTTTATGATCTGATGCGGTT	30	K4787	GGGATGATGCACTGATGTTCTCTTAA	30
K479	<i>427#1</i>	K4795	TTGCAITCATGCAATGATGCTCAGCAGA	30	K4797	CAACATATGATGATCTTAAATTTC	30
K480	<i>acpP</i>	K4805	TTGGTGAAGTAGATGATCTGGTCAATAATG	30	K4807	CTTGCAGATGATCATACTTAAATTTC	30
K481	<i>argA</i>	K4815	TTGTAATCTGATGCTGCCAGCAGCGG	30	K4817	TACGTCTTATGATGCACTCCGACCTT	30
K482	<i>aroK</i>	K4825	GCTGCTTGCATGCTGCTTGGCATAAA	30	K4827	ACGCTTGTGAGATCTGAGCTTCCGCT	30
K483	<i>colB</i>	K4835	TCACCAAATGATCACTGGCAGAACAG	30	K4837	CCAGCATCGAGATCTGGGAGACCCAT	30
K484	<i>desC</i>	K4845	CAAGGTTCTGAGATCTAACCGGAAAC	30	K4847	CTTACGATGATCATCTTCTGCG	30
K485	<i>dsbA</i>	K4855	GAATCATCAGAGATCTTCTGCTTTT	30	K4857	GCCAATCTTATGCACTACTCTTCT	30
K486	<i>edu</i>	K4865	TTTCCAGATGATCATGAGATCTCTC	30	K4867	TGCTGTTGAGATCTGCTGTTACGCTG	30
K487	<i>flgB</i>	K4875	TGTCAGGGCAGATCTTGGCTGGC	30	K4877	CGAGCTATCATGATGCACTCCGCAAG	30
K488	<i>flgD</i>	K4885	CGCGATATGCAAGATCTGAGTAA	30	K4887	TTACCGCAATGATGATGCTTCTTAA	30
K489	<i>flgH</i>	K4895	TTTGAAGATAGATCTAAACCATTC	30	K4897	AGCTTGTGAGATCTGGGATCTCTTCA	30
K490	<i>flhA</i>	K4905	CGGCCAGATTATGATGCTGGTTTCTCG	30	K4907	GGCAAAGAGAAATCTACGACCCCTAA	30
K491	<i>flil</i>	K4915	ACAGCACAGAGATCTGGCCCGGACA	30	K4917	TCGGTAAATGATGCACTGTTGCGGCTC	30
K492	<i>flm</i>	K4925	AGCAGGCCAGAGATGCAACAGCAAG	30	K4927	GAATGATCATGATGCACTGTTGAGCTG	30
K493	<i>flnO</i>	K4935	GCAGCAATGAGATGCTGGTGC	30	K4937	TGAGTCCGCCATGATGCACTGGAGCTGG	30
K494	<i>fbzJ</i>	K4945	GCTCTTACCATGATTTACTTCCATG	30	K4947	AGCTGACTTTAGATCTAACCTGTTCTG	30
K495	<i>gvvT</i>	K4955	GAGTCTGATGATGCTTCTGCTTCTG	30	K4957	TGATGTCGGAGATCTGGCTGATCTGTC	30
K496	<i>glkF</i>	K4965	AGTCAAACATGATGATCTGGGGCCAT	30	K4967	TTTTTTACAGATCTCCCGTGGC	30
K497	<i>hsfU</i>	K4975	GGGTCTTATGATGATGAGGAGATCTTACG	30	K4977	GGCAAAGAGAAATCTACGACCCCTAA	30
K498	<i>hsIV</i>	K4985	TTACTATGATGATGAGCTGGTACGGCTT	30	K4987	CAACTGACAGAATCTACGTCGCTTCT	30
K499	<i>intB</i>	K4995	AGGGGATTTAGATGATCTCCCACTGTTA	30	K4997	GGCAACAGCAAGATGCACTCCGACCAT	30
K500	<i>leuS</i>	K5005	GGTATGCTCATGATGCGACAGCTGGTC	30	K5007	TACGGCTCAAATGATGCTGTTGAA	30
K501	<i>manX</i>	K5015	CCGGAGAGAGAGATCTGGCTAA	30	K5017	CAATAGCAATATGCTTCTGCTT	30
K502	<i>minC</i>	K5025	TTGGCTGTTTATGATGCTGGCTTACTCA	30	K5027	TTTCAGGGGAGATCTGGCGGAGATTTTC	30
K503	<i>mobA</i>	K5035	TGCTCATGATGATGATGATGCTCTT	30	K5037	TCCCTGAGAATGATCTGTTGACCGG	30
K504	<i>mosA</i>	K5045	CTAATAAGATGATGATGACATCTCTTC	30	K5047	AGGGCCCTGAGATCTTGGAAAGAACATG	30
K505	<i>mvIM</i>	K5055	ATGGCCGATGAGATCTGGCGGATTAAC	30	K5057	TACGTTATTATGATGTTTACCCAGA	30
K506	<i>ompF</i>	K5065	TATTCGGCTTATGATTTATACCTCC	30	K5067	CCGCAATTGAGATCTGCTGTTGTTGAA	30
K507	<i>ppc</i>	K5075	AAATTTGTCATGATGATCTTATCTTC	30	K5077	TGTTGGGGCCAGATCTAAATGATCGCT	30
K508	<i>ppbA</i>	K5085	GGGTCGATTATGATGATGTTCTCTAA	30	K5087	GGGAAATCAAGAATCTCATGTAAGAAG	30
K509	<i>ppD</i>	K5095	TGCAAATGAGAATCTGGTATGCGGTG	30	K5097	GTAAGCTGTCATGATGTTGAAACACT	30
K510	<i>pud</i>	K5105	TAATGATGATGATGATGAGCTGGCAG	30	K5107	TGTTGGCTGGAGATCTTGGAGATGAG	30
K511	<i>pstL</i>	K5115	TCCTCTACATGATGATGCAACAGTA	30	K5117	AAATGCTGATGATGCACTTACCTTAA	30
K513	<i>purK</i>	K5135	CGCAAACTCTGATGCGCAGCTCCG	30	K5137	GCTTTCGGAGACTTGGGCTGGCAT	30
K514	<i>purL</i>	K5145	CGAGAATTCATGATGATGCTTCTCTT	30	K5147	GGTAGGTTGAGATCTGGCTGGCCAG	30
K515	<i>purR</i>	K5155	CCATACGGGAGATCTGGCACTTAA	30	K5157	CTTTCATGATGATGCTTACCTCA	30
K516	<i>rcsA</i>	K5165	TTAATGCGGAGATCTGGCTGATCATG	30	K5167	TAATAATGCTGATGATGCTGATCCACT	30
K517	<i>rpsP</i>	K5175	AACGAAATGATGATGACATCTCTCTG	30	K5177	GACCTGACATGAGATCTTGGAGATCTGAA	30
K518	<i>sbt</i>	K5185	CAACAGCAGGAGATCTGGCTACCG	30	K5187	CTAATGCTGATGATGCACTGGAGCTCAT	30
K519	<i>smrA</i>	K5195	CAAAGTCAGATGCTGGTAA	30	K5197	CAAATGGATCATGCACTGGCTAACCA	30
K520	<i>spy</i>	K5205	CGTGTGTTATGATGATGCTGGCTT	30	K5207	ACCCATTCATGATGCTGTTGGCCG	30
K521	<i>spyA</i>	K5215	TGCGAGGAGATCTGATGAAACCTCAGGT	30	K5217	CAACGGGAAATCAAGAATCTCATCAGTC	30
K522	<i>tag</i>	K5225	GAATACTGATGATGATGACCTCTCCATC	30	K5227	CCTCCGACACAGATCTGGCCGGGAAAG	30
K523	<i>tig</i>	K5235	CGGGTGAACGAGATGATGATGCTGAA	30	K5237	CAACTGAAACATGATGCTTGTACCTCAA	30
K524	<i>tir</i>	K5245	CACTTCGGAGAGATCTGGGACCCAG	30	K5247	TGATACGTTTATGATGTTGTTCTCTT	30
K525	<i>udk</i>	K5255	GGGGACGAAAGATGCACTGGGCAATTAA	30	K5257	ATGCTCTGGAGACTGAGACGGCAACAG	30
K526	<i>utuR</i>	K5265	CCCGGCTTATGATGATGCTGGCTT	30	K5267	AGGTGGCAGACATGATGTTGTTGCGT	30
K527	<i>ybaJ</i>	K5275	GTGAGTATGATGATGATGCGCTT	30	K5277	GGTGTGTTGAGATCTGGAGACAGAGTA	30
K528	<i>yfjJ</i>	K5285	TTATGATGATGATGATGATGATGATG	30	K5287	ATACGGGCTGAGATCTAAATACATTAA	30
K529	<i>yfA</i>	K5295	CTTAAACGGAGAGATGATGATGATGATG	30	K5297	TAATGTCATGATGATGATGATGATGATG	30
K530	<i>yfD</i>	K5305	GGATACCTGATGATGATGATGCTCC	30	K5307	TGCGCTGGAGAGATCTGACCTGGGCTA	30
K531	<i>ygtT</i>	K5315	GGCGTCGGGAGATCTTGTGAGCC	30	K5317	TGCGGACAGTGCATGAGATGTTCTACA	30
K532	<i>yhdG</i>	K5325	TTGCAAGGCCAGATCTGGACTGGACCGT	30	K5327	ATTGTCGGAGATGATGAGTTGAAAGAATG	30
K533	<i>yhuU</i>	K5335	GGCGATGCCAGATCTGGCCGGCAGCT	30	K5337	CTGTCATGATGATGATGATGATGATG	30
K534	<i>yhfC</i>	K5345	AATACGGCTGAGATGATGATGATGATG	30	K5347	GATTGCTGTTATGATGATGATGATGATG	30

K535	<i>yifE</i>	K535S	TCCATCTTCGAGATCTAATCGTTTCTC	30	K535T	TGGCTGTGATGCATGATAATTTTCTTAT	30
K536	<i>yifW</i>	K536S	AAACAGGTGAATGCATCTCGCTTAGGGCT	30	K536T	GCCCAACCTTATAGCTGCTGGTCTCGGGT	30
K537	<i>yifE</i>	K537S	GCACGGGCAAAGACTAACCACTCACCGAC	30	K537T	AAAGCGCTTATGATCATTCCCATACCGGAA	30
K538	<i>yifN</i>	K538S	TTTTCTGTTATGATCATGTCAGGGCAT	30	K538T	CGGTAAAGGGAGAATTTTGCCCCGACAGG	30
K539	<i>yifP</i>	K539S	GGGCCCTCGCAAGAATGTCATAATTGCA	30	K539T	ATTCATTTGATGACITCGTCTTCCTT	30
K540	<i>yifY</i>	K540S	TAGTAAAACCATGATGATGATTAATAG	30	K540T	GCTCTGACGCCAGATCTGGGCAACGCTTC	30
K542	(gapC)	K542S	CCCTTCGGCATGCAATTTCGGAGAAT	30	K542T	AGAGGCTTAAAGAATCTCGTGGAAAGCGAA	30
K543	(orf7)	K543S	ACCCATGAACTGCACTCCCTGAAATTTC	30	K543T	ATTGGCAGCAGAGATCTGGCTGGCAGCTG	30
K544	<i>aceE</i>	K544S	CGCAGCAGTCAGAATCTGGACGGGAAT	30	K544T	GGAAACGTCATGATGGGTTATCTT	30
K545	<i>aceF</i>	K545S	AGGTAGCAAAAAGACTGTCAGCTCGCTCG	30	K545T	TGATTTCGATGATCATTTCTTCCTC	30
K546	<i>aceF</i>	K546S	CAGAGAGTAAAGACTCGCATGGCGGATA	30	K546T	CTAACATGATGATGGAAAGTACCTTAA	30
K547	<i>ace2oenB</i>	K547S	CGTAAACCGGAGAATCTCGACACAGCG	30	K547T	GGTATTCATGATGACGGTTCTCTG	30
K548	<i>adi</i>	K548S	TTAATACITATGATGATCTACCGGTA	30	K548T	CTGGGCTTAAAGATCTAAAATGATCAG	30
K549	<i>agd</i>	K549S	GGCCCTAAAGAGATCTTGGGCAAACT	30	K549T	CAGTGGCTGATGATTTAACAAATGCGGA	30
K550	<i>ansA</i>	K550S	TITGATAAAATAGATGTCGGACCGCTG	30	K550T	TTGATTCTTATGATGATGATGATGAA	30
K551	<i>ansB</i>	K551S	TTTGAAGAAAATGCACTTATCCCTCAGT	30	K551T	TGAAAGGCAAGAATCTCCGATTGAAA	30
K552	<i>appB</i>	K552S	GGAAAGTGGACAGACATCTACGGATGTT	30	K552T	TTTACATAATGATGATGATTTTCTTAA	30
K553 (N)	<i>appC</i>	K553S	CGCCCATGAGAATGCACTGATGCGCTA	30	K553T	CAATGACATCATGATGCCACTCTGTAG	30
K554	<i>araA</i>	K554S	TATCAAAAATATGCACTGTTGCTCTTAT	30	K554T	ACGGCCGAGAATGCACTGAAACCAAC	30
K555	<i>araB</i>	K555S	CAATTGCAATGATGATGATCTTACTCATC	30	K555T	GATTTTTCACAGATCTCTGGCCGAAATGG	30
K556	<i>araC</i>	K556S	ACTCAATGAAAGACTGGAATGATGCGGA	30	K556T	TTGGCGGCTCATGATCATTTTCTACATC	30
K557 (N)	<i>araD</i>	K557S	TGAGATCTCATGATGATGTTACTCTCTG	30	K557T	GGGAATGGCAGAATCTAAAGGCAACGGGA	30
K558	<i>ascB</i>	K558S	CATTAGGACAGGATCAAAACGGCAAAGA	30	K558T	CTGGAAAATACATGATGATTTTACCTCAATT	30
K559	<i>ascG</i>	K559S	GCATCTGATGATCATTTCATCCCTTAC	30	K559T	TGATCATATCAGATCTGAGGCTGACACT	30
K560	<i>atoA</i>	K560S	GATAGCCAATAGATCTGTTGTTGATAC	30	K560T	GTITGTTTGCATGATCATTTTCTCTCTG	30
K561	<i>atoB</i>	K561S	ATTCGCGGTTGAGATCTACATCAAACGCCA	30	K561T	TGACACAAATGATGATTTATCTCTCT	30
K562	<i>bglB</i>	K562S	CATACTTACAGATGTCAGAACGCA	30	K562T	TTTTTTTCATCATGATGCGTCAAGTAG	30
K563	<i>bglB</i>	K563S	CTGAGAATGATGATGATAATTACTCTT	30	K563T	GGTGGCCCGGAGAATCTAAAGGCAACGGGA	30
K564	<i>bglF</i>	K564S	TGCGTAACTCATGATGATCTGGCCCTAC	30	K564T	CTTAAATGCGATGATCTGTCAGOCCTCA	30
K566	<i>cataI</i>	K566S	TTGCAATACATGATGATCATCTCCAG	30	K566T	CCGGTAACAGAAATCTTCCCGAAGGTT	30
K567	<i>cadB</i>	K567S	TCTTGGCAGAATGATGATCTCTCTTAAT	30	K567T	GAAGCAGCTGAACTATCTACCGCCITT	30
K568	<i>cetB</i>	K568S	TCACTGCGGATGATGATCTCTATGCC	30	K568T	ATTCGCGCTGATGATCTGCTCTTGT	30
K569	<i>cpsBinarC</i>	K569S	GTTCGCACTGATGATAATTACCCCCAAT	30	K569T	CGGCAATTATGATGATGAGGGCTGGA	30
K570	<i>cylB</i>	K570S	GGGGCAAAATAGATCTCTCTGACCAG	30	K570T	AATTTCCTCATGATCAACGGGCTTCTC	30
K571	<i>cylC</i>	K571S	TCGAGCAGATAGATGATGAGTGGCCACCG	30	K571T	CGTGGAGGTTATGATGATCTCTGAG	30
K572	<i>cylA</i>	K572S	ATTGCGTGTAGATGATGATGATGAA	30	K572T	CTATATCAAAATGATGACTCTTGTAT	30
K573	<i>cylB</i>	K573S	CTGAAACCGTAGATCTTAAAGTGGCTGAT	30	K573T	CTTCAATACATGATGATCTGACTCTGT	30
K574	<i>cynR</i>	K574S	TATGTCGAGATGATGATCTGATGATGCTG	30	K574T	GGCGGCGCTCAAGATCTACCGGGGCTGAACT	30
K575	<i>cynB</i>	K575S	ATAATTTCATGATCATTCTTCTCTC	30	K575T	GAATGCGTGTGATCTGACACTCGGGT	30
K577	<i>cynD</i>	K577S	CGGAGATGATGATGATCATGCCCCCAT	30	K577T	GATGAGCGACAGAATCTGTTCTATCTT	30
K578	<i>cynE</i>	K578S	ATTGCTTAAAGTCAAACTGATGATCTGGCC	30	K578T	GTGCGGACATGATCTGCTCTGAGTCTGGA	30
K579	<i>dadaA</i>	K579S	CGCTGGAGTAAAGACTCATCTGTTGTCAT	30	K579T	GTAGACAAACATGATGACCTCCGAA	30
K580	<i>dsdXalr2</i>	K580S	TTGTAATCATGATCTCGTGGAAAGGC	30	K580T	GTATCGGAGCATGATCTCTTCTAGC	30
K581	<i>dgaA</i>	K581S	GGTTGCTACCGAGAATCTGAGATGCTG	30	K581T	TGTTGATATGATGATGAGAAACCTTT	30
K583	<i>ddl</i>	K583S	GGAAAAGGAGATGAGGGCGGCTTAATC	30	K583T	TTGTCATGATGATCTTACTCTT	30
K584	<i>dnaA</i>	K584S	GTGCTATGCAAGATTTCTCCGCAAGAAT	30	K584T	ATTCGCGCTCATGATCTGCCAGGGCCGA	30
K585	<i>dmc</i>	K585S	GCTTCCGGGAGAATGATGATCTGGCC	30	K585T	GGCATACATGATCTACCTACCCCTTC	30
K586	<i>dnrR</i>	K586S	TGCGTTTGCATGATGTTGTCATGATG	30	K586T	AATTGCTACGAGATCTACATTAGGACA	30
K587	<i>dslC</i>	K587S	CAAGAAGGGATGCAAACTCCATT	30	K587T	GAAGCCAGAGAATCTTACCGGCTG	30
K588	<i>ebgA</i>	K588S	GTACCGGAGAAGACTCTGCCCCCGGGT	30	K588T	AATCGGAGAATGATGATCTGTTGAGTT	30
K589	<i>ebgB</i>	K589S	AACTAACCGGAGAATGATGAGGCTGTA	30	K589T	TTATGATGATGATCTGCTATCTGCT	30
K591	<i>edD</i>	K591S	ACAAATGTTGATGATGATAAGGCTCTGAA	30	K591T	CTGCAAATGATGATGTTGAACTGAT	30
K592	<i>eno</i>	K592S	TTACGATTTATGATGATGTTTCTCTCAA	30	K592T	TTTGTGCGGAGATGATGACCCGGTTG	30
K593	<i>eruR</i>	K593S	TTTCCCGTAAGTCTGCAACCTGGT	30	K593T	TATGCCCTTCATGATGATGACGGAGACTA	30
K594	<i>fadA</i>	K594S	TCGACACCTGATGATGATCTTAAAG	30	K594T	CAGCGGATGAGATCTTACCGGATGCC	30
K595 (N)	<i>fadB</i>	K595S	CGCCCTTAAATGATGATGATCTCTGAA	30	K595T	CGGCGGATGATCTACATCTGATGCTCA	30
K596	<i>fadD</i>	K596S	GCCAAACCTTATGATCATTCTACCTCTAA	30	K596T	GAACCTTCGATGATCTGATCTTACCGGAT	30
K597	<i>fadH</i>	K597S	GTGCTACGGAGATCTCAAGGGCACC	30	K597T	GGCACGGTAAATGATGATGAGCTGAGA	30
K598 (N)	<i>fadR</i>	K598S	AGTAAACGAGAAGATCAAGATGTTGCG	30	K598T	GGCCCTTAATGATGATGAGTTCTCTT	30
K599	<i>farR</i>	K599S	AGGGCTTGTGATGATGATGATGATG	30	K599T	CATATGCTGAAATGCTTCTATGATGAGGGG	30
K600	<i>fba</i>	K600S	CAAAATCTATGATGATCTCTCTCTG	30	K600T	ATGCTTCCCGCATGATCTGCTGAAATCC	30
K601	<i>fdh</i>	K601S	CGGAGTGGATGAGATCTGCTGCTGCTG	30	K601T	GCTGCTGTTGATGATCTTCTCTTAAACAG	30
K602	<i>fdlE</i>	K602S	TTATGCGGATATGATCATTCTCTCTC	30	K602T	CTTCAACTGGAGATCTAACTATGGGAC	30
K603	<i>fdlF</i>	K603S	TGACGACTTATGATGATCTGCTGCTCCAG	30	K603T	GATGGAACGATGATCTGCTGAGTACTGA	30
K604	<i>fdrG</i>	K604S	ACTTCAATGATGATGATGATGATGATG	30	K604T	TGCGACTGCGGAGATCTGGCGTGGCG	30
K606	<i>fduR</i>	K606S	ACCTAACGAGAATCTGATGATGATGATG	30	K606T	TTTCCGACTTATGATGATGATCTCTCTG	30
K607 (N)	<i>fduG</i>	K607S	TTCTGCTGATGATGATGATGATGATG	30	K607T	AACCCATAAAGATGATGATGATGATG	30
K608	<i>fduH</i>	K608S	GAGATGATGATGATGATGATGATGATG	30	K608T	CACTACGAGGAGATCTACGGGATGCTG	30
K609	<i>fduJ</i>	K609S	TGTCAGTCGATGATGATGATGATGATG	30	K609T	CGACTGCGGAGATCTATGCTGCGT	30
K610	<i>fduK</i>	K610S	TAACAACTATGATGATGATGATGATG	30	K610T	AGGACTGCGGAGATCTGGCGTITGGC	30
K611 (N)	<i>fduA</i>	K611S	TGCGAGTGGATGATGATGATGATGATG	30	K611T	GACTCATGAGATGATGATGATGATG	30
K612	<i>fpr</i>	K612S	TTACCAATCATGATGATGATGATGATG	30	K612T	CCAGACAGCGAGATCTACGTCGATG	30
K613	<i>frdA</i>	K613S	CTGAGAAGGATGATGATGATGATGATG	30	K613T	CCCGGGGCCAGAATCTGCTGCTCAAACCG	30
K614 (N)	<i>frdB</i>	K614S	TTTCATCTCATGATGATGATGATGATG	30	K614T	AGCGAGCTGGAGAATCTACACGCTGTAAG	30
K615	<i>frdC</i>	K615S	TACCTGTTATGATGATGATGATGATG	30	K615T	CATGAAACACATGATGATGATGATG	30
K616	<i>frdD</i>	K616S	GATTGGATATGATGATGATGATGATG	30	K616T	CGAACGTCGAGATCTACGTCGATGCC	30
K617	<i>frdK</i>	K617S	CAACACGCTATGATGATGATGATGATG	30	K617T	ATAGCGGCGGAGATCTTGGTAGGCGG	30
K619	<i>frdR</i>	K619S	CGATGAAAAAGACTGATGAGATGAGATA	30	K619T	TTTCATCCAGATGATGATGATGATG	30
K620	<i>fuwA</i>	K620S	TTTGTGATGATGATGATGATGATGATG	30	K620T	TATGTTTCAAGATGATGATGATGATG	30
K621	<i>fuwI</i>	K621S	GAGCTTATGATGATGATGATGATGATG	30	K621T	AGCTTATGATGATGATGATGATGATG	30
K623	<i>fuwO</i>	K623S	TTCTGATGATGATGATGATGATGATG	30	K623T	TCGCAATGATGATGATGATGATG	30
K624	<i>fuwR</i>	K624S	CGCAAACTGAGATGATGATGATGATG	30	K624T	GGCTGCGGCCAGATGATGATGATGATG	30
K625	<i>funA</i>	K625S	AGGGTTTGTGATGATGATGATGATGATG	30	K625T	TCGAAATGATGATGATGATGATGATG	30
K626	<i>funB</i>	K626S	AGGGTTTGTGATGATGATGATGATGATG	30	K626T	CCGTCCTGGATGATGATGATGATGATG	30
K627	<i>funC</i>	K627S	TGCGTACTGATGATGATGATGATGATG	30	K627T	CCAAAACGCCAGATGATGATGATGATG	30
K629	<i>galK</i>	K629S	TTCTCTCATGATGATGATGATGATGATG	30	K629T	GCTGACGCGGAGATCTGGCTGAAACAGAA	30
K630	<i>galR</i>	K630S	CGACAGTAAAGACTGCGGAAAAACCT	30	K630T	CTCTTATGGTATGATGATGATGATG	30
K631	<i>galS</i>	K631S	CACGAATGATGATGATGATGATGATG	30	K631T	TGTCCTGTTGATGATGATGATGATG	30
K632	<i>galT</i>	K632S	GATTAATGATGATGATGATGATGATGATG	30	K632T	AGCATGTCGAGATCTACGTCGATACCC	30
K633	<i>galU</i>	K633S	CAAAACACAGATGATGATGATGATGATG	30	K633T	TATTAATGCGATCATGATGATGATGATG	30
K634	<i>gapA</i>	K634S	TGGTTGGGAGAATCTGAGCTGGGGCATCC	30	K634T	CTACTTGTGATGATGATGATGATGATG	30
K635	<i>gapC</i>	K635S	GGGGCGAAATGATGATGATGATGATGATG	30	K635T	AAATTTCGCTGAGATCAACCGGGTTCTC	30
K636	<i>gapD</i>	K636S	TCACCACTGAGATGATGATGATGATGATG	30	K636T	TCCGGCGTGTGAGATGATGATGATGATG	30
K637	<i>gapR_1</i>	K637S	CTTCGGCATGATGATGATGATGATGATGATG	30	K637T	GCCGCTGGGGAGATCTGGAGCAGCGGCA	30

K638	<i>gad</i>	K638S	TATTGTTAATATGCATAAAGAGACACATT	30	K638T	GAGTCGATGAAGATCTTACAACAATCAGCACG	30
K640	<i>glpA</i>	K640S	TGAATTTCGGAGATCTTAAGCAATCGAGA	30	K640T	AGTCGGAGATGATGATGTATGCCCTCTGA	30
K641	<i>glpB</i>	K641S	CGGTATGCCAGAATCTGGCACACCGGCC	30	K641T	CAGTAACAAAAGATCATTCTTCGCTCTTC	30
K642	<i>glpC</i>	K642S	AACCGTCGGAGATCTGCTGGCATTCG	30	K642T	AGCTGGTGTCTGCATGATGTTGGCTTCCTGC	30
K644	<i>glpE</i>	K644S	ATTGCAACTGATGCATCGCTCTCTTCT	30	K644T	ATTCGATACATAAGATCTCAAATGCCGAATCAT	30
K645	<i>glpG</i>	K645S	AGGTAACTATGATCATGTTGCTGCTT	30	K645T	CGAACATATAGATCTGAATGCCGCTT	30
K646	<i>glpR</i>	K646S	TTGTTGTTGATGCAATTATAAACCTGG	30	K646T	TGCAAATCTAGATCTTACAGGAATGATGT	30
K647	<i>glpA</i>	K647S	CTTGTGATCATGATCATTAAGGCTCCCTA	30	K647T	GCTCGGAGATGATCTTGTCCGGAGAACCT	30
K648	<i>gnd</i>	K648S	TCCTTGCTTATGATCATACATCTCTGTC	30	K648T	AGCCGAGAAAGATCTCCGCTTATTCGCA	30
K649	<i>gapR</i>	K649S	TCCTTCTTATGATCATGCTCTGGAAAGTAC	30	K649T	TCGATGGCTGATGATCTCAAACAGCTGGTC	30
K650	<i>gpmA</i>	K650S	GGTAGTACATGATCATACTTACCTCTCA	30	K650T	GGTAGTACATGATCTTGTACAGGCC	30
K652	<i>gutM</i>	K652S	TTCCGGTTGAGATCTGGACCGGGATCA	30	K652T	TGAGTCGGATGATGACATACTTCTTAA	30
K654	<i>hydA</i>	K654S	GATGAGCGCAGATCTACATGTTGAC	30	K654T	CGTACTGAGTACATGATGCCGTGTTAACCTC	30
K655	<i>hydA</i>	K655S	CGCGATGATGAGATCTTGGCTCCGCTT	30	K655T	CGCTTCTTCGAGATCTTGTCTCC	30
K656	<i>hydD</i>	K656S	CTTCAGGCCAGAATCTTTACCTGCTG	30	K656T	CGCTGTTGCTCATGATGAACTCCCTCTGTT	30
K657 (N)	<i>hydE</i>	K657S	GGCGGTGCGAGATCTGTATGCCATA	30	K657T	GGCIGTGTGATGATCTCCGCTCTCTG	30
K658	<i>hydF</i>	K658S	CTGTTAGTACATGATCATACTTACCTCA	30	K658T	AAAAGTTGATCATGATGAGGACGCTCTG	30
K659	<i>hydH</i>	K659S	AATTGCTCATGATCATGTTATCTCCCCG	30	K659T	TGCGACATCATGATCTACCGGAAACCCC	30
K661 (N)	<i>hydI</i>	K661S	TTGAGCATGATGATGATGCTCCCTG	30	K661T	CTCTGTCGAGATCTGCCAGAGTACGACT	30
K662	<i>hydJ</i>	K662S	TAATTCTCTGATGATGCTTGTGCGCTC	30	K662T	GGGCTTCGAGATCTTGTGAAAGTTC	30
K663	<i>hydL</i>	K663S	AGACTTAAATGATCATGACAGAACCTTCAC	30	K663T	CAAACGTATGATGATCTTGTGATTATCA	30
K664	<i>hydE</i>	K664S	CTATCTCTCATGATGAACTGCCCTCG	30	K664T	AACGAAGTGGAGATCTGAAGGTTCTGAA	30
K665	<i>hydF</i>	K665S	GAGACAACTCATGATGTTGGCAACTCTG	30	K665T	ATCTGGCTGAGATCTACCAACGGAGG	30
K666	<i>hydH</i>	K666S	GAACGCCAAATGATGATTAAACTCGGT	30	K666T	CTCTGCGGATGATCTGCCCTTCCGACA	30
K667	<i>hydI</i>	K667S	TGATGAAAGATGATGAACTTCAGCA	30	K667T	AACTTACCGAGATCTTAAATGGACGCC	30
K668	<i>hydJ</i>	K668S	ATGCCCTAACAGATGTTGGCTCCGCA	30	K668T	GGGCTTCGAGATCTTGTGAAAGTTC	30
K669	<i>hypC</i>	K669S	TAACAAACCCAGATCTCGGAAACCTTA	30	K669T	GAACGCCATATGATCATGCTGTTCTCCAG	30
K670	<i>hypD</i>	K670S	AAACAAAATGATGATCTGTTCCGTAACG	30	K670T	CATCAACAAAATGATTAATTCTCTGCC	30
K671	<i>hypD</i>	K671S	CAACGGATTAGATGATCTGTTGGTGTG	30	K671T	TGATGAAAGATGATGATGCCCTGG	30
K672	<i>icdA/cdE</i>	K672S	ACCTTACCCAGATCTAATAGATTTTC	30	K672T	CTACTTACTATGATCATCTCTCTG	30
K673	<i>idhK/genV</i>	K673S	ATAGCAGTAAAGATCTGACGGACGGTT	30	K673T	AGCTTICACCATGATCTTAAATCTCTG	30
K674	<i>kdgK</i>	K674S	AGAGAAAATTTAGATCTGGTGTACAT	30	K674T	CATACTCTGATCATGAGCTCTTGT	30
K675	<i>kdgR</i>	K675S	GAATCGTTATGATCATTAACCTCATG	30	K675T	GTATGACACGGAGATCTGTCGATTC	30
K676	<i>lacA</i>	K676S	TCATTCGCAATGATGCGATCACTCGT	30	K676T	CGAATTACTGATGATCTGTTCT	30
K677	<i>lacI</i>	K677S	ACGTACTGGATGATGATCACCCCTG	30	K677T	TTACCCGGGAGATCTGGCGACGTTTG	30
K678	<i>lldD/lldD</i>	K678S	GCTAAAAACAGATGCGATGATCCGGA	30	K678T	CTGGGAAATGATGATCGTTTCTCC	30
K679	<i>lldR/lcrR</i>	K679S	ACTGCTCTCGAGATCTGGCTGAGTAA	30	K679T	TGGGTTAAACATGATGAAAGATCATCA	30
K680	<i>lpdA</i>	K680S	CCGGAAAGTGGAGATCTGGCTTTCAG	30	K680T	TGATGTTAGTGCATGATGACCTTAT	30
K681	<i>maiI</i>	K681S	TTTGGCGGTATGATGATGACATGACT	30	K681T	GAAGTTTACCAAGATCTTCCATT	30
K682	<i>maiIM</i>	K682S	CGAAATCCAGAGATCTGGCGAACAGAA	30	K682T	TTTAACTGATGATCTTGTGTTTACCC	30
K683	<i>maiP</i>	K683S	AAATAGGTTAGATGATGAGGTTCTCTT	30	K683T	ACGGATGACAGATCTGTTGTAAGATT	30
K684	<i>maiT</i>	K684S	GAGGATGTCAGATGACAGAAAGATG	30	K684T	TTGACGGAAATGATGATGTTACTICA	30
K685 (N)	<i>maiY</i>	K685S	GGCTTACCGAGAATCTGTCGCGCTC	30	K685T	TGAAAATGATGATCTTATCTCTA	30
K686	<i>maiZ</i>	K686S	GACTACCCGAGAATCTCGGGTACAT	30	K686T	ATGCAATTAACTGATCTTCCCTGTT	30
K687	<i>manA</i>	K687S	CTGACAGGTTAGATCTCCCTTCGCG	30	K687T	TAATGAGTTTATGATGATCACTCTGTT	30
K689 (N)	<i>meiA</i>	K689S	GGCCAGAAACAGATCTATGACCTGTATT	30	K689T	TGGGTGCGAGATGATGATGCTGTT	30
K690 (N)	<i>meiR</i>	K690S	ACGTATCTGATGATGATGCTCTT	30	K690T	ATCCATGATGAGATCTTGTGTTG	30
K691	<i>mtD</i>	K691S	CGACTTATGATGATGATCACCCGTC	30	K691T	AAATGATGATGATGATGATTAACCTCA	30
K692	<i>mtIR</i>	K692S	TAACATCTCAGATCTAACACGGTATGC	30	K692T	GGCCCTGGTCATGCAATTGATGCTT	30
K693	<i>narG</i>	K693S	ACCGTATGATGATGATCTGGCTTACAT	30	K693T	CCAGGAATTCGATCTGATCTTCCCTG	30
K694 (N)	<i>narH</i>	K694S	AGGCCAGAAAAGATCTGGCAACAGAAAA	30	K694T	GTGACGAATGATGATCTTACCTCTCTG	30
K695	<i>narI</i>	K695S	TTGTCGACCTGAGATCTGGCTACGTC	30	K695T	TATTCAGGAAATGATGATGTTGTC	30
K696	<i>narJ</i>	K696S	GTCGACGGATGAGATGAAATGCGACACT	30	K696T	TCACGGGATGATGATGATGCTGCTG	30
K697	<i>narV</i>	K697S	CAGATACGATGATGATCTACCCCTCGCA	30	K697T	TGACCCGGGGAGATCTACGTCGCTG	30
K698	<i>narW</i>	K698S	TTTGGAGGATGATGATCTGGCCCTCCG	30	K698T	CCCTGAATACGATCTGCGATGTTG	30
K699	<i>narY</i>	K699S	GTGAAAGGGAGATGATCTGGCTCTG	30	K699T	CCAGATACCGAGATCTGGCTTCCGAAA	30
K700	<i>narZ</i>	K700S	CCAAAATGATGATGATGATCTCTG	30	K700T	ACGTTGACGATCTTGTGTTG	30
K701	<i>ndh</i>	K701S	ACATCTGAGAGATCTACATTAACGAG	30	K701T	TCAATGCGTATGATCTGTC	30
K702	<i>nirB</i>	K702S	ATCTATACCAAGATCTACCTCCGGTCA	30	K702T	GTCTGACCTTATGATCTGTTGCTG	30
K703	<i>nirD</i>	K703S	GTTCGGTTGATGATCTGACCCGTAATG	30	K703T	CTTCCCTACTGATGATCTGTC	30
K704 (N)	<i>nlp</i>	K704S	CGACGATCTGAGATCTGGTAAACCGACGT	30	K704T	TGAAAATCTACTGATCTTCTCTACCT	30
K705	<i>nrfA</i>	K705S	TTTGGCCCGAAAGATCTGGCTTTCCT	30	K705T	TTTAACTCTGATGATGAGGCTTACCCG	30
K706	<i>nrfB</i>	K706S	GGACAAAGCTAGATCTTAAAGTGTGCG	30	K706T	ATACGCTCATGATCATGATGTTT	30
K707	<i>nrfC</i>	K707S	CTGTTGTTGAGATCTGGCAATCCG	30	K707T	GACGAGACATGATGTTGCTCTTAAAG	30
K708	<i>nrfD</i>	K708S	CTGATGGAGATGATCTGGAAAGTGAA	30	K708T	CGGAACTGATGATGATGTTGCG	30
K709	<i>nrfE</i>	K709S	CGTCTCTAAAGATGATCTGGCGGTG	30	K709T	TCAACGGGGATGATCTGATGTCGAC	30
K710	<i>nrfF</i>	K710S	CTTGTGGCTGATGATCTGGTGTGATG	30	K710T	GAAGCCCTTATGATGATGCTGCT	30
K711	<i>nrfG</i>	K711S	GTGTTGCTGATGATCTGGCTTTCCT	30	K711T	TTTGGGGCTGATGATGCTGTTGCTCTAC	30
K712	<i>nucA</i>	K712S	ATGTTGACATGATCATGCTTACATCAA	30	K712T	GTACAAACATGATCTTGTGACCAAC	30
K713	<i>nucB</i>	K713S	TAAGCTGATGATGATCTGGCTCG	30	K713T	TGGCGTCAAGATGATCTGAGAC	30
K714	<i>nucD</i>	K714S	TCATATGATGATGATCTGGCTTCTG	30	K714T	TTGGGGCAAGAGATCTGGCTTGGCC	30
K715	<i>nucE</i>	K715S	GTGATGATGATGATCTGGCTTCTG	30	K715T	TGCTACCGGGATGATCTGGCTG	30
K716	<i>nucF</i>	K716S	GGATAATGATGATGATCTGGCTTCTCAG	30	K716T	CAGATGTTGGAAGATCTTATGACGAGAA	30
K717	<i>nucG</i>	K717S	TTGTAACGGGATGATGATCTGGCTTCT	30	K717T	GGCAGGGAGAGATCTGGGGACTGATTC	30
K718	<i>nucH</i>	K718S	GTGATGATGATGATCTGGCTCT	30	K718T	CTGGATGAAAGATCTAACGCGCAGTC	30
K719	<i>nucI</i>	K719S	ATCTTTAAATGATGATCTGGCTT	30	K719T	CCTGGGCTTATGATCTGGCTTCTTAA	30
K720	<i>nucJ</i>	K720S	AAATAGGAAATGATGATCTGGCTTCTT	30	K720T	GGTGTGGTGTGATGATCTGGCTTCTCA	30
K721	<i>nucK</i>	K721S	GTGATGATGATGATCTGGCTTCTG	30	K721T	CATACCTGGGAGATCTGGCTG	30
K722	<i>nucL</i>	K722S	AGGCAAGCATGATGATCTGGCTTCTCAG	30	K722T	TCGGGTTAAAGATCTGGGATGACGGTA	30
K723	<i>nucM</i>	K723S	GGCAGGGATGATGATCTGGCTTCTTATC	30	K723T	CTGGGCTGATGATCTGGCTTCTCTAC	30
K724	<i>nucN</i>	K724S	GGCGGTGATGATGATCTGGCTTCTG	30	K724T	ACCGGTAACTGATCTGGCTTCTG	30
K726	<i>pflA</i>	K726S	ATTTATATAAGATGATCTGGATGGAT	30	K726T	CGATTCTTATGATGATCTGACCTCTGAAC	30
K727	<i>pflB</i>	K727S	GTAGATGATGATCTGGATGGATCTGG	30	K727T	TATAGATGATGATCTGGCTTCTTAA	30
K728	<i>pfl</i>	K728S	CTGTTGAGGAAATCTGGATGATCTGG	30	K728T	GTATGATGATGATCTGGCAACTTC	30
K729	<i>pflk</i>	K729S	CTCTAATTACATGATGATCTGGATCTCG	30	K729T	CAGGGTTAATGATGATCTGGCTG	30
K730	<i>pflm</i>	K730S	AGCATATGGAGATCTGGATCTGG	30	K730T	GTGTTGGAAGATCTGGCTTCTT	30
K731	<i>pflF</i>	K731S	GTGATGACATGATGATCTGGCTTCT	30	K731T	TGGTGGCTGATGATCTGGCTTCT	30
K732	<i>pflG</i>	K732S	GGTAGATGATGATCTGGCTTCT	30	K732T	GTGCGGTTGAGATCTGGCTTCT	30
K733	<i>pflH</i>	K733S	CGGTTTCCAGAGATGATCTGGCTTCT	30	K733T	CAGGGGGCGGAGATCTGGCTTCT	30
K734	<i>pflL</i>	K734S	TCAGGCCAACATGATGATGACACACCTCAC	30	K734T	GGGCAAGGAGATCTGGCTG	30
K735	<i>pflJ</i>	K735S	CGCTCAGATGATGATCTGGCTTCTG	30	K735T	CGCGGGCTGATGATCTGGCTAC	30
K736	<i>pflK</i>	K736S	GTAACGGTTGATGATCTGGCTTCT	30	K736T	CATCCCGGAAGATCTGGCTG	30
K737	<i>pflL</i>	K737S	TTTGTACGTTATGATCTGGCTTCT	30	K737T	CGCGGATATGATCTGGCTAC	30
K738	<i>pflM</i>	K738S	CGTATTGATGATGATGAGGGCTCCAT	30	K738T	GTAACGGCAACGATCTGGCTG	30

K739	<i>phnN</i>	K739S	TCA GTT TTT CATTGATCAGAA CAC CCCC TT	30	K739T	GTC GAG CGG AGA ATCTGA AAT CCTCGCCG	30
K740	<i>phnO</i>	K740S	GCT CAC AAG CAG ATGC ATGG TTT CTCC TG	30	K740T	GCC CGT CCG GAG ATCTGA AAG AAC GAC CGCT GC	30
K741	<i>phnP</i>	K741S	TGAG GGT CAG ATGC ATTC ACAG CCCC TT	30	K741T	CCA ACAG CTCA GAT CTGAC CGC AGC CTG	30
K742	<i>phnQ</i>	K742S	GAAG GAA ATA AGAT CTTA ACT TTT ATT TA	30	K742T	GTC CGC CGG CA GAT CT TTA TAT GAC AGCT GT	30
K743	<i>pldA</i>	K743S	TAA AAC CGT CAG ATCTG CCG GCG CAG AT	30	K743T	CCT GAG AGT ATG CAT CGG TCG TGT CTCC	30
K744	<i>pldB</i>	K744S	AAT TGC CGG AA AGA ATCT CGC CAG AA CACA	30	K744T	TTTG CTG CTG ATC ATCG GGTA AAT CTGCC	30
K745	<i>ppk</i>	K745S	CACT GCG CAG ATCT GCT GA AAT TTAC	30	K745T	GCT TTT CCTG ATG CATT ACCA CT TTACTC	30
K746	<i>ppx</i>	K746S	ACCC CGG AGA GAT ATCT CGC CG ACG AA AGGC	30	K746T	TAT CGT GTAT ATG CTA FAG GGT TAT ICAG GT	30
K747	<i>psf</i>	K747S	AAA ATGAG AAA AGA ATCT TTCT CGA AGAT G	30	K747T	CA CCAT CCTT ATG CTA TGT TTT AACC TAG AG	30
K748	<i>putA</i>	K748S	CTTG CAC GAG ACG ATCT GCG ATG AGC GTG A	30	K748T	TAATA ATA CAG ATG CAT CGG TTT ATC CTCTT	30
K749	<i>putA</i>	K749S	TGTT GGT GGT ATG CTA GCT ACT CTG CTG	30	K749T	AGT GTG GTG AGAT CTCC CGG GATA AACCC	30
K750	<i>pykF</i>	K750S	ATG ATAT CGT AGAT CAC CGA ATG AGT GTGA	30	K750T	GAAG CCT TCT AAT CGTA TA AT CCT GTG	30
K751	<i>pykF</i>	K751S	AAT TCA ACCA AG AAT CTA AAA AA CAA	30	K751T	TTT GGT CCT TAT GAT CAG ATC TTAG CTG	30
K752	<i>qrq</i>	K752S	CAAT TCG TGT ATG CTA TGT CGCT CAGA AC	30	K752T	GCT TCG CCG AA AG ATCT CGCA ACC CG AG ATC	30
K753	<i>rbsK</i>	K753S	CGA AGCT TCA AGA ATCT CGCG GTG CTG CTCA	30	K753T	TGCT CGT GTT ATG CTA TAT CGG AT GTG CCA	30
K754	<i>rbsR</i>	K754S	ATG CAG TCG GAG AAT CT ACT CG AA AGT GTG	30	K754T	CTT CTA ITG ATG CTA TGT CGG AT CCT CGCC	30
K755	<i>rhaA</i>	K755S	CCAG TGT GAG ATG ATG CAG CG CAA AGG CCTT	30	K755T	GCT TAA CCT CGG AT GAT CT CGG CAC TCC CGC	30
K756	<i>rhaB</i>	K756S	AAT TGC CGA AA AGA ATC ATA GTG ATC CTG CT	30	K756T	CGGT ATG TGT CAG ATC TGC CGG AT CAG AT	30
K757	<i>rhaD</i>	K757S	GAG TTA ATG TAT GAT CGT GTG TGT GCT CTG	30	K757T	GCAGG TAC CGG AGA ATCT GGAG AG CGT CG CG	30
K758	<i>rhaR</i>	K758S	TGTC CAA CGG AGA AGAT CTG CGG AGT ATCC GT	30	K758T	TTAT GCG AGA ATG CTC CGG AT CCT CGG	30
K759	<i>rhsA</i>	K759S	TGCT ATG CGT ATG ATCT CCTT CT CG CACA	30	K759T	TAT GT AAT CAC TAT CTA TCG GCT CTG TGT	30
K760	<i>tpA</i>	K760S	ATTC AT CCT GTG ATG CTA GCT GTG CCT	30	K760T	ATG CAC AGT GAT ATC TCC CGG CGT CAA AT	30
K761	<i>sdaA</i>	K761S	GAAG CG TGA AGA GAG ATCT CGC TAT ACG CCG CT	30	K761T	CGA ATAG ACT ATG CTA GATA AT ACT CCT G	30
K762	<i>sdaB</i>	K762S	CTGG CTG CGG AGA ATCT CGC AGA AC ATCT CG	30	K762T	CGA AAC CCT ATG CTA CGA GGA AT ATCT CG	30
K763	<i>sdaA</i>	K763S	TTAT C ATG TGT GAG ATCT CCT AC CGC CTG	30	K763T	TGAT CGG CAA ATG CTA CAC ACC CCA CAC	30
K764	<i>sdbA</i>	K764S	ATC CGG CGC GAG AAT CT ACT CGC GAT G	30	K764T	AAA ACT CGG CAA AG ATCT CCT CG TGT CCC CG	30
K765	<i>sdcC</i>	K765S	GCA AT CGG AA AGA ATCT CGT CTG CT	30	K765T	TCAC ATTT CTA TAT CAG GAA TA ACC CCCC CA	30
K766	<i>sdbD</i>	K766S	GT TAT AGA AAA AGA ATCT GTG TGT CGC	30	K766T	AGG CGT GT CTG ATG CTA TAC CGG AGA CT CCT G	30
K767	<i>sucA</i>	K767S	AAG TTA CGC AGA ATCT CGA CG AT GTG CG	30	K767T	AAG CGT GTG ATG CTA TGT CGT GAT CCT TA AG	30
K769	<i>sucB</i>	K769S	CGGG AT CGG TGA GAG ATCT CGT CGT ATG	30	K769T	TAT CTG CTG TAT CAG TGT AT CCT TT	30
K770	<i>sucC</i>	K770S	GGT GGT GTG TGA GAT CT CCT GTG ATC AG	30	K770T	ATTC ATG TAA TAT CAG TGT GTG AT CCT CAC	30
K771	<i>sucD</i>	K771S	CGCT GAG CGC GAG AAT CTG CGC AGC	30	K771T	CGA TAA TCA TGT ATG TAT CCT CCT CAC	30
K772	<i>talA</i>	K772S	CACCC CGG TAA AG ATCT GAG AT CAC CG CAC	30	K772T	CGT CTA ACT ATC TAT CAG TGA GGA AT AT CCT TT	30
K773	<i>talB</i>	K773S	CG CGCC CGG AGA GAT CTG TAC CCA CG GGG	30	K773T	TCA AT TGT CGT ATG CTA GAT GAT TAT TCT	30
K774	<i>tdcA</i>	K774S	GAAG ATAG TAT GAT GCA TAA CGC ACT CG TGT	30	K774T	ATTC CAC AAA AGA ATCT CGT CAG AAG AGA	30
K775	<i>tdcR</i>	K775S	TA AAA CCA ATAG ATG AAA AAC CAA ATG	30	K775T	TG GT AT CCT CGT ATG TTT TGT GCA AAAA	30
K776	<i>tdh</i>	K776S	TGTT AAG CAG ATG CTA TCT CAC TCC CAG	30	K776T	GTG AT GGG CCA GAG ATCT TAT TAT CCT CGG	30
K777	<i>tzkA</i>	K777S	CTT AC CGG ATG GAT CTG TAT GCT CAG ATC	30	K777T	AGCG CAG TGG AGA ATCT GTG CG AC GGT TTA	30
K779	<i>tnaA</i>	K779S	TTAC GAG CCG AG ATCT TG ACT GTG CAG ATG	30	K779T	TTAC AT AAT CAG TAT CTT TTT TTA ATCA	30
K780	<i>tnaL</i>	K780S	CTG TGG AC TGT GAG ATC TAA CCT ATC CAA A	30	K780T	TAT GT AAT GAT CTA TAT CG CACT AT CCT	30
K781	<i>torA</i>	K781S	CGT A TAA GAG AAG ATCT CGT GAT CG TGT G	30	K781T	GAT CG TGT AT GAT CG TGT AT GAT CG TGT	30
K782	<i>torC</i>	K782S	GTG CG GTG GAG ATCT CG CG GAG GT G	30	K782T	TCC AGG TGT TAT CTA AT AAT ACC CG TGT	30
K783	<i>tpA</i>	K783S	CTAA AAG GTG ATG CATT TTA AT CCT CAC CG	30	K783T	AT TCC GTG CCA GAT CT TAT TAT CCT CGG	30
K784	<i>treC</i>	K784S	GGGG AT GAG ATG ATG CTT ATG GGT GAT	30	K784T	CCGG TGT AC GAG ATCT GAT CTT CCT G	30
K786	<i>ubiffr</i>	K786S	CGG AT CGG CAG ATG TAC TCC CGG GAA AT	30	K786T	AGCT TAA AGGT ATG CTA CGG CCT TTT CTG	30
K787	<i>uidA</i>	K787S	CTAC AGG CG ATG CTA GAA AGG ACT CCT C	30	K787T	TCAG TGT AC GAT CTA TCT GAC TCG AGG GT	30
K790	<i>uuA</i>	K790S	CTT GT GAT GAT GAT CTA GAT CG TGT G	30	K790T	CAAC CTG GTG AG AT TAA ATG CTG GGG G	30
K791	<i>uuA</i>	K791S	GATT GT GAT GAT CTA ATG GGT TTT G	30	K791T	GAAT GGG GGG AGA AT TATT CCT GTG CAG	30
K792	<i>uuAC</i>	K792S	TCA TAA AAC CG ATG CATT TGT CCT C	30	K792T	TCA TAT ACCA AAG ATCT CCT CCT TAA	30
K794	<i>uuuA</i>	K794S	CTT AC GAG ATG ATG CTT ATG GGT GAT	30	K794T	CAAC TGA ATG ATG CTA GTG TAA ACC CGAA	30
K795	<i>xyIA</i>	K795S	CAA AAT AGC ATG CTA TAT GAA CCT A	30	K795T	CTT CCT CCT CAC GAT CTA CCT G	30
K796	<i>xyIB</i>	K796S	CTAT CCC G ATG CTA GAT CG TGT CCT	30	K796T	TIC TIC GTG CAC ATG TGT CGT CGC	30
K797	<i>xyIR</i>	K797S	TGTT GAG TGT GAG ATCT CGT GTG TGT	30	K797T	GAC GTT TGT ATG CTA TGT CTG TGT CG	30
K798	<i>xyIV/fgk</i>	K798S	TGAG GAG CG ATG CTA GAT TTCT TTAA	30	K798T	TG GT TAA GAT ATG CTA CCT CGG GGG GT	30
K800	<i>yngE/dmsA</i>	K800S	AAAG AGC TTA AGC TCA AAT CCT CAA CCT G	30	K800T	GT TCA TTT TAT CTA ACT CCT CCT CG	30
K801	<i>yngF/dmsA</i>	K801S	GAAT GCG ATG AAT GAG ATG TAA AG CGCA	30	K801T	TAT GT GAT TTT ATG CTA TCT ACT CCT AAT TG	30
K802	<i>zwf</i>	K802S	TTTG CTG TTA CAG ATG CTA TCT CCT TAA	30	K802T	GTG TCC ATG CAG ATC TGA AAG CG AT C	30
K803	<i>gatR_2</i>	K803S	ATG AAT TC ATG CTA TTT CCT CCT TAA	30	K803T	ACAT TTA ACA AAG ATCT TAA ATG AG CG G	30
K804	<i>extT</i>	K804S	CTAC AGG CG ATG CTA GAT CG TGT CCT	30	K804T	CCCC GAG CAC TAT GAT CG TGA AG AT TT CCT	30
K805	<i>carA</i>	K805S	GAAT GGG TAA AGA ATG TGT CCT TTT G	30	K805T	GGCG TGT ACT ATG CTA AAC ACC CG CAG	30
K806	<i>ycjL</i>	K806S	GAAC CAG AGA AAG ATCT CTC AGC ATG	30	K806T	CCA AT GCT TAA GAT CTA AA GT GG ACT AA	30
K807	<i>ycjK</i>	K807S	TGCA TGG AGA TAT GGT GGT GAT	30	K807T	CAAC GAG CAC AG AT CTG CAC ACC CAG ATC	30
K808	<i>argR</i>	K808S	GAAG ATC TGA ATG CTA TGT CGC AGT GGG	30	K808T	TAG CGG CAG AT CTA GCA ATG TAC CCG AT	30
K809	<i>yjiR</i>	K809S	TTG TAA GAC ATG CTA GAT CG TGT CCT	30	K809T	AAAC ACA AGT GAT CTT GTG TTT TGA	30
K810	<i>yjtT</i>	K810S	TTG TGT GAG CAG ATG TGT GAT GAG GGG GT	30	K810T	CAA AAG CCA ATG CTA TGT TAA TTG AA AG	30
K811	<i>b2655/W2631</i>	K811S	GAC ATG CG CAG ATG CTA GCA CCT GATA	30	K811T	ACCT CCT TAT CAG TGT AT GAT CGT G	30
K812	<i>b005/yaaX</i>	K812S	CGAC GCG GTG GAG ATC TAA ACCA CGC AAG	30	K812T	AT TGC AT CTT ATG CTA AGT GAT CTT CCT	30
K813	<i>glmA</i>	K813S	CTG GT CAG CG ATG CTA CCT TAA CCT CCT	30	K813T	CAA AT CG TGT GAG AT CTG CAC CCT CCT	30
K814	<i>yjd/zraP</i>	K814S	AGT AT TTT ATG CTA TGT CCT CCT TAA	30	K814T	AGT TT CG TGT AGT GAT CTC GAG CG CG CAG	30
K815	<i>yicO</i>	K815S	CA GT GATA AAT TG CTA TGT CCT CCT GACA	30	K815T	CTG TCG GCA GAG AT CTG CTA CCT CCT	30
K816	<i>flu</i>	K816S	AT AT CG CCA GAG AT CTG GAG CG CG TGT	30	K816T	GTAC GTG TAT CTA TGT AT GAT CG CAA AG	30
K817	<i>b1742/32785</i>	K817S	TAT CAA AGT AAT GAT CTA CCT CG CCT CCG	30	K817T	AC TCT CCT CCT CAC TGT AT GAT CG TGT	30
K819	<i>ydeH</i>	K819S	TTG CT CTT ATG CTA GTC GCA CCT CCT	30	K819T	CGA TGT GCA GAG ATCT TAT CGG GT GAT	30
K820	<i>yeh</i>	K820S	TAA CCA GGT ATG ATG CTA CCT CCT CCT	30	K820T	GG CG CG GTG GAG AT CTG CTA AAAA AT GT	30
K821	<i>yel</i>	K821S	CTT G T G T G T C A G AT CCT CCT CG CG	30	K821T	TTCC AGG GT TAT CTA CCT CCT AT CCT	30
K823	<i>srnB</i>	K823S	CTG CTG TGA AAG AT CT CCT CCT CG	30	K823T	AA GT CG TGT AT GAT CG TGT CCT CCT	30
K824	<i>thrL</i>	K824S	AAAG ATG CAG CAG AT CTG CCT CCT CCT	30	K824T	TCG TGT AT GAT CG TGT AT GAT CG A	30
K825	<i>thrA</i>	K825S	CG CGA CG CAG CAG AT CTG CG TGA C	30	K825T	ACT CTA CAC ACT ATG CG TGT CCT CCT	30
K826	<i>thrB</i>	K826S	CG AT GAG TTA GAT CG CG CAG AC GCT G	30	K826T	CATA AAC CCT CCT TAT GAT CG ACT CCT	30
K827	<i>thrC</i>	K827S	TAC GAC AAG CAG AT CTG CG TGT CCT CG	30	K827T	GAT GT GAG AT GAT CG TGT CCT CCT	30
K828	<i>betA</i>	K828S	TG TGT CTA AAA ATG CTA AAT CCT CCT CG	30	K828T	GTG CG TGT AGA GAG AT CTG CG CCT CCT	30
K829	<i>betB</i>	K829S	CTG CG AT TGT CG AT GAT CG TGT CCT CG	30	K829T	CTG CG CG CAG CAG AT CTG CCT CCT	30
K830	<i>ybbY</i>	K830S	CA TGT GGG AAG AAG AT CCT TTA CGG TAA	30	K830T	AT TGT GAG AT CCT CCT CCT CCT CCT	30
K831	<i>ybbZ</i>	K831S	CAG GCG CG CAG AAT CCT CGG TAT GTC G	30	K831T	CA TGT GAC AT CCT CCT CCT CCT CCT	30
K832	<i>cysS</i>	K832S	GG CT T CCG CAG AAT CTG CAG GAG AT G	30	K832T	TGA AG AT TTT ATG CTA CGA GAT CCT	30
K833	<i>ybdL</i>	K833S	GGC AT CTA AA GAT CTG CG GAG AG CG GT	30	K833T	GAG GGT TAT CCT CCT CCT CCT CCT CCT	30
K835	<i>serS</i>	K835S	GAT CCA CG GAG AAT CTG CG CAA AT G	30	K835T	GAT TGG GAT CTA CCT CCT CCT CCT CCT	30
K836	<i>serC</i>	K836S	TCCA AAT GAG AAT CCT TGT CCT CCT	30	K836T	TGA AG AT TGT CG AT CCT CCT CCT CCT	30
K837	<i>aspC</i>	K837S	TA AT G T T C A T C A T G C A G A G G T T	30	K837T	AC CG GT GAA A C A G A D U C T G C T A C C C G A T C A	30
K838	<i>sobA</i>	K838S	TGAG AT GTC AT GAT CCT CCT CCT CG	30	K838T	TATA AAT CCT CCT CCT CCT CCT CCT	30
K839	<i>27384/ydS/b1440</i>	K839S	GG CAG CG ACT AGA CCT CCT CCT CG	30	K839T	CAA AT CCT CCT CCT CCT CCT CCT CCT	30
K841	<i>27386/ydU/b1442</i>	K841S	CTCA AAT CGC AGA ATG ATG CG A G C T G G A A	30	K841T	AT CAA AT CCT CCT CCT CCT CCT CCT CCT	30
K842	<i>(potC)ydV/b1443</i>	K842S	AAG CCT AT GCA GAG AT CTG TGT CCT CG	30	K842T	CGG CTG CAG AT GAT CG AT GAA CG CCT CGA	30
K843	<i>ydeW/b1444</i>	K843S	ATTC CG CTG ATG AT CTG CTG CCT CG	30	K843T	GTA ACT ATG CTA CCT CCT CCT CCT CCT	30

K846	<i>thrS</i>	K846S	GAGTTATAACATGCATTATATCCCTATT	30	K846T	TGGCCTTATAAGATCTGGAGGTTTGAGG	30
K847	<i>IAID/redY/dcyD</i>	K847S	CGGCCCTTITATGCAATTCATGATTAIT	30	K847T	TAACACTTATGATCTGTGATTAATACAGGT	30
K848	<i>yfQ</i>	K848S	TAAGGGTCAAGATCTTATCTGATCAA	30	K848T	TTTCAATGGATCATGAATCTGACCTTT	30
K849	<i>cysK</i>	K849S	CTTGGTATCTAGATCTGCAATGTTAATAC	30	K849T	AAAAATCTTATGCAATGCCGTCCTAAC	30
K850	<i>cysM</i>	K850S	GTTCATAATGATGCATATCTATCCATA	30	K850T	CGCTGACGGTAGATCTGCATGGCAGATG	30
K851	<i>glvA</i>	K851S	TTTACGGCTTACATCGCACTCCCTGAC	30	K851T	TIGATGATCATGACATCTGCACTATAAAA	30
K852	<i>pssA</i>	K852S	TTACCGCTACAGATCTGAACTAACGAATT	30	K852T	ATTITGACAAATGATCATGATCTCTTCT	30
K853	<i>cysC</i>	K853S	CGTCATGAGATGCAATTATCCTCCAG	30	K853T	CGGAGAACGAGATCTGCTGAGG	30
K854	<i>cysN</i>	K854S	CAAGTCGGTATGCCATTTAAATACCC	30	K854T	TCGGTGTGGCATGACATCTGACGAAAGAT	30
K855	<i>cysD</i>	K855S	GTCTAATTGATGCACACCGTTCTTGC	30	K855T	CGAATATCGCAATCTTATAAATACCGA	30
K856	<i>cysH</i>	K856S	GATCGAGTTATGATGCATGTTCTACATG	30	K856T	CACGCCGAGAGATCTACTGATGGCTTG	30
K857	<i>cysI</i>	K857S	GATGTTTCTCATGATAGTACACCTCG	30	K857T	CTGGAGAAAAGATCTGAAAGATGCCGTATT	30
K858	<i>cysJ</i>	K858S	GGACCTGTGATGATCGCTGATGTC	30	K858T	CTCAGGTTAGATCTAACCGCGTTTAA	30
K859	<i>gcvP</i>	K859S	TTAACCTCTGATGATGGCGATGGTCT	30	K859T	ATTGATGATGATCTGCAACCGAGAAC	30
K860	<i>serA</i>	K860S	GGCATACCTTATGCAATTCTAACATCTG	30	K860T	GAAGTATCCGACATCTACAGTCAGTG	30
K861	<i>metC</i>	K861S	TAGCAAATGAGATCTAACGTTTGCAC	30	K861T	GTCTTGTGATGATCTGCGGATCTCTG	30
K862	<i>yhaP/tdG</i>	K862S	CGTTGTAATGATGCAATTAGCAGTIC	30	K862T	TTTCAAAATTGATCTGGTCTCTTACGTC	30
K863	<i>yhaQ</i>	K863S	CACTAATCATGACATACCTCGGATGGC	30	K863T	GAACAGCACACAGATCTTATTCACIACC	30
K864	<i>yhaD</i>	K864S	GATTGCAATATGATCCGGCACGACGTC	30	K864T	GACGGTACGAGATCTGATGTTGGCGGC	30
K865	<i>yhaE</i>	K865S	TAGTCATCATGATGATGGCTTGC	30	K865T	AGGCCATCTGATGATCTGATCACACCCGA	30
K866	<i>yhaF/gral</i>	K866S	AAACATCCTTATGATCTGATCTTACCTTG	30	K866T	CAGGAAAAGAGATCTGATCTGAAAGATG	30
K867	<i>yhaU/grap</i>	K867S	CGGTGTCGAGATGCAATTATTCCTGG	30	K867T	GTTCATAATTAAGATCTCCCACCGGAAAC	30
K868	<i>asd</i>	K868S	AACCAAACATTGATGACAGCTTCTTC	30	K868T	CACGATAATAGATCTTACCTGCGGAAAG	30
K869	<i>glvS</i>	K869S	AAAGTTTCTCATGACATGCCCTCTACT	30	K869T	TGCGTAAACGAGATCTAAGTACCGAGTIC	30
K870	<i>glyQ</i>	K870S	TATCAACATTATGCAATTATTCCTGTC	30	K870T	GGCCTACTGGAAGATCTGAGTTTATCACT	30
K871	<i>cysE</i>	K871S	GTCTTCAACATGCAATTCTGCTGAAAT	30	K871T	AAAACCTTATGATCTGTTGGGGATGT	30
K872	<i>khI</i>	K872S	AAATTCCTCATGATCTGATCTTCA	30	K872T	GTTCACAGCAAGATCTGAAAGAATCTATA	30
K873	<i>ihvD</i>	K873S	GGTGGTACGAGATCTGGCGCACGGTTA	30	K873T	GGCATATCATGATCATGATGTTGGCG	30
K874	<i>ihvY</i>	K874S	GATCGAGTAAATGCAATTGAGCTGG	30	K874T	TCATGTCAGGAGATCTGCGGACTACAT	30
K875	<i>melT</i>	K875S	GGACGGTITCAGACTCTGGCTGGTGGC	30	K875T	GGCAATCATACATGATTTACCCCCTTGTT	30
K876	<i>lysC</i>	K876S	CAACAATTCTGATGATACACTCTCGT	30	K876T	CTCTCTGATGATGATCTGAGCTTGTG	30
K877	<i>serB</i>	K877S	TCCGTITTAAGATCTGGCTGAACT	30	K877T	AGGTAACTGATGATCTGATGCTCTGTA	30
K878	<i>cysM</i>	K878S	GTTCATAATGATGATGATCTTACATA	30	K878T	CCGTGACGGTGAATCTGATGCGGAGATG	30
K879	<i>cysA</i>	K879S	CAATCTCAATGATGATGTTCTCTG	30	K879T	CCGGTCTGGAGATCTGCTGTCACGGCT	30
K880	<i>cysW</i>	K880S	CCGGCCAGGAATGCAATTGAGCTGG	30	K880T	TOCTTCGGTGAAGATCTGGCGAACCTG	30
K881	<i>cysU</i>	K881S	GGAGCAGACGATGCAATTGAGCTGGCC	30	K881T	CCGACGGATAGATCTGAGCTGGTGAACAA	30
K882	<i>yfK</i>	K882S	ATTCATCAGTAGATCTACCGATACCTA	30	K882T	AAAGGGTGGATGATTTGATCTCTCT	30
K883	<i>ydeD</i>	K883S	CGATGATGTCGATGATGCGATG	30	K883T	AGGCCATCTGATCTCTTACCCAGGAG	30
K884	<i>ybfZ</i>	K884S	TCTGCAAGCAGATCTGATGTCGGACACA	30	K884T	CGAGCAAGAGATGCTGTGAGCTCTTGTG	30
K885	<i>macA/60878/21383</i>	K885S	CTTCGGCCTAGATCTGGGGGTATCAA	30	K885T	ATACTCAATACTGATCTCCGGTCAATAAC	30
K886	<i>cysC</i>	K886S	GTAGCAAAGCTGATCTAAATCTCTCT	30	K886T	ACCGAGTAAAGAGATCTGGTGTGGAGAT	30
K887	<i>metB</i>	K887S	ATTCTGTCGAGATCTTACGAGATCG	30	K887T	CTGTTACGATGATCTGATGAAAGTCCC	30
K888	<i>betI</i>	K888S	TCCCCAATTATGCAATTCTGGCACTT	30	K888T	GTCCCCGCCAGATCTGGCTGATATACT	30
M001	<i>deadD</i>	M001S	CGATGATGTTAGTACGTTGCTGAACTACATAC	34	M001T	GAAGATCTGATCTTACCGGAGACAG	29
M002	<i>rnc</i>	M002S	CGATGCAATGGATACATAATAATAGCTG	32	M002T	GAAGATCTGAGTGGGGATGATTAACAG	29
M003	<i>rrt</i>	M003S	GAAGATCTACTGGGGTGGATAAATACG	29	M003T	CGATGCACTGATCTTACCTTAAATACGATAAT	34
M004	<i>rho</i>	M004S	GAAGATCTGGATAGATGATGCCCC	28	M004T	CGATGCAATGAGTGTGGTGAATCTTAAACTT	31
M005	<i>ricB</i>	M005S	CGATGCAATTGTTTCTTCTTCTGTTG	34	M005T	GAAGATCTCAACGCTTACACTCTGTT	31
M006	<i>bgfG</i>	M006S	CGATGATAGACAGCTTTCCTTATAACAAAAAAAC	38	M006T	GAAGATCTGACTTACTGCTGTTCTG	29
M008	<i>rnu</i>	M008S	CGATGATGTTGGTGGTGAACCTACATAC	32	M008T	GAAGATCTGTTGTGATGCTGAAACGGCTG	29
M009	<i>rbn</i>	M009S	CGATGCAATAATGTTATCTGGCCATTAG	33	M009T	GAAGATCTGCCGCTACTGTTGCTGATG	28
M010	<i>rnc</i>	M010S	CGATGCACTGAACTACCTTATCTTACATG	35	M010T	GAAGATCTGIGGGCAACCGCTCTC	28
M011	<i>lhr</i>	M011S	GAAGATCTGTAACGGGATATTGTTG	29	M011T	CGATGCAATGCTGAACTCCGGTGAATATC	31
M012	<i>nusA</i>	M012S	GAAGATCTGGCTGGATTCTGGCTTAC	28	M012T	CGATGCACTGGGGCTTTCACCTC	25
M013	<i>rnd</i>	M013S	CGATGCAATAATGTTTCTTCTGTTGGC	32	M013T	GAAGATCTGATCTGCTGGCA	29
M014	<i>rnb</i>	M014S	CGATGCACTGGCTGGTGAACCTCTGTAAT	34	M014T	GAAGATCTGGTGAACCTCTGCTGAACTAC	29
M015	<i>rnrB(B)</i>	M015S	GAAGATCTGGACACACTCTGGCTGTT	29	M015T	CGATGCACTGCTTCTCCGTTGCTGATC	30
M016	<i>rph</i>	M016S	CGATGCAATTGAACTTACCTTACCTTACATG	35	M016T	GAAGATCTGACGGGATCTGGTCAAG	29
M017	<i>orn</i>	M017S	GAAGATCTGAACTGATCTGTTGATGTTG	33	M017T	CGATGCACTGTTGCAACCTTACAGCTG	32
M018	<i>rnbB</i>	M018S	GAAGATCTGGCTGGATTCTGGCTTAC	28	M018T	CGATGCACTGTTGCAACTCAGAACGGCTT	30
M019	<i>hrpB</i>	M019S	GAAGATCTGGAGGCTAAAGGGTGAAC	29	M019T	CGATGCAATAACGCTTACGGCTGAACTTC	33
M020	<i>hrpA</i>	M020S	GAAGATCTGACGACCTTCTGGCTCT	28	M020T	CGATGCACTGGCTGATGCTGAGACTCTG	30
M021	<i>axr</i>	M021S	GAAGATCTGGCTGTTGTTGTTCTGG	29	M021T	CGATGCACTGTTGCAACCTTAACTGTTTCTTAA	32
M026	<i>dsvA</i>	M026S	GGATATCTCATACCTTACCGCAATTCTT	34	M026T	GAAGATCTGGCAATACGGGAAACGGCTT	29
M031	<i>greA</i>	M031S	CGATGCACTTACGACAACTGTCGATGTTG	37	M031T	GAAGATCTGGCGTTCACATGCTGTT	30
M032	<i>greB</i>	M032S	GAAGATCTGGCTGGATTCTGGCTTAC	30	M032T	CGATGCACTGGCTTCTGCTGTTG	33
M041	<i>nusB</i>	M041S	GAAGATCTACCATCGGGTTTCAAC	29	M041T	CGATGCAATAACGCTTACGGCTGTTCTG	32
M044	<i>oxyS</i>	M044S	GAAGATCTGGCTGCTTCTGTTAAAGAC	30	M044T	GGATGCTGACGTTCTGCTGAGCTAC	32
M045	<i>pth</i>	M045S	CGATGCACTTCTTCTGCTGATGTTGATCAAC	36	M045T	GAAGATCTGCTTCTGCTGAGCTGGCAAC	30
M047	<i>ribfA</i>	M047S	CGATGCAATAATCTCTGCAAAAGGGC	35	M047T	GAAGATCTGATGTTCTGCAACGGCTGATC	30
M049	<i>refB</i>	M049S	CGATGCACTTCTGACACTCTGTTAATCAACATG	35	M049T	GAAGATCTGAGTGTCTGGGG	29
M050	<i>rhdB</i>	M050S	CGATGCACTGGTGAATGATGCTTACATG	36	M050T	GAAGATCTGGGGACACATGAAATTC	29
M059	<i>rpaB</i>	M059S	GAAGATCTCTGGGAACGCTGTTG	29	M059T	CGATGCACTGTTGCTCTGGATGTTG	31
M061	<i>rpd</i>	M061S	GAAGATCTGATGTTGGTAACTGGTACAG	29	M061T	CGATGCACTGGCTCTACCTTGTGAAATTC	32
M062	<i>rpeE</i>	M062S	CGATGCACTGGTAACTGCTTACCTTAC	30	M062T	GAAGATCTGGGCTTACACTGAACTGAG	31
M063	<i>rph</i>	M063S	CGATGCACTAACTCTTCAACATGATCTCT	35	M063T	GAAGATCTGATGTTGGGACAGATGG	30
M064	<i>rhdA</i>	M064S	GAAGATCTGGGATGCTTCTCTGGTAC	29	M064T	CGATGCACTGGTGAAGATCTGTTCTC	30
M066	<i>rpaA/rriA/refA</i>	M066S	GAAGATCAAAGGTTACGCTCAAAAGATAC	38	M066T	GAAGATCTGGCAAAAGAGTTGCTATACCG	31
M076	<i>rtcR</i>	M076S	GAAGATCTGGTGTGATGTTGCTTAC	29	M076T	CGATGCACTTGTGATCTCTTAAAGACGATTTICA	39
M079	<i>ssrA</i>	M079S	GAAGATCTGAGGTTACGGCTGAGCTT	29	M079T	GAAGATCTGGATGCTGAGCTGGCAACATTG	30
M090	<i>ycgJ</i>	M090S	GAAGATCTGAGGAGGAGGAGTGTGTTG	31	M090T	CGATGCACTAACGCTAACATCAATGAAACCCCG	32
N001	<i>otsA</i>	N001S	CGATGCACTGATCTACCTCTGTTAATTC	32	N001T	TCAGATCTGGGACAAATGGG	22
N002	<i>otsB</i>	N002S	CGATGCACTGGGTTCTCTCTCTCTTTC	31	N002T	GAAGATCTGGGACAGTGTGTTATGAGCTG	30
N003	<i>aldB</i>	N003S	CGATGCACTGGCTTCTCTGGT	26	N003T	GAAGATCTGAAAAACGACGGGAAAGGTGCTATACCG	28
N004	<i>appY</i>	N004S	GAAGATCTGTTGATGTTGCTTGGGCC	32	N004T	CGATGCACTTGGCTACCTATCAAAATAAACAAAG	36
N005	<i>cfa</i>	N005S	GAAGATCTGCAAGTGTGTTGCTTGGGCC	30	N005T	CGATGCACTGGCTTCTCTACACTGTC	28
N006	<i>csgB</i>	N006S	GAAGATCTGAAACGCTCTGTTCTCCACACC	34	N006T	CGATGCACTGTTGCTACCTGGAC	26
N007	<i>hre</i>	N007S	CGATGCAATAACCTCTGATGAGTTAATAAAC	37	N007T	GAAGATCTGGGACAGTGTGACGAGATAAG	30
N008	<i>gfsB</i>	N008S	CGATGCAATGGGACACCTCTGGTAC	28	N008T	GAAGATCTGGGACAGTGTGACGAGATAAG	30
N009	<i>ihfA</i>	N009S	CGATGCACTGGTCAACCTCTAATGAC	30	N009T	GAAGATCTGGGACAGCAGTGTGAC	28
N010	<i>osmC</i>	N010S	GAAGATCTAACATGATGTTCTGGTGT	33	N010T	CGATGCACTGTTGCTCTGG	26
N011	<i>osmE</i>	N011S	CGATGCAATCTGGCTCTTGTGTTATCAGC	31	N011T	GAAGATCTGGGAAAGTGTGAGCTGAGTCTTC	33
N012	<i>posB</i>	N012S	CGATGCACTGGTCTCATCTCTGATG	28	N012T	GAAGATCTGGGACAGAATTTACGGC	29
N013	<i>proP</i>	N013S	GAAGATCTGGTGTGCTGGTGTGATGCTG	31	N013T	CGATGCACTGTTCTGCAAGAGTGTG	27

N014	<i>proV</i>	N014S	GAAGAICTGTGGCTGACAGATGTGAAAGC	29	N014T	CGATGCCATGCAATAAGAAAGATCCTTATTTGCTATG	38
N015	<i>rob</i>	N015S	CGATGCCATAAAATATTCCTCATCTTCAACAACG	34	N015T	GAAGAICTCAATCCTCTTAAATACCCCG	30
N016	<i>rpsS</i>	N016S	CGATGCCATAAGTGGCTCTTACCCG	25	N016T	GAAGAICTCTGGATACTGGCACAGATTTC	31
N017	<i>sodC</i>	N017S	CGATGCCATAAGACCTCGCTCATGTG	27	N017T	GAAGAICTCTGCCAACACTACAAAACCTGC	30
N018	<i>treA</i>	N018S	CGATGCCATAAATCATTCTCCCTGGGAAAC	31	N018T	GAAGAICTGGATGACAAACCGAGAAACCG	30
N019	<i>xbaA</i>	N019S	GAAGAICTCATTAAAGTGCATATAAATGATAACG	37	N019T	ACATGCCATGCAATGCTGCCATTATTCAGATAAG	34
N021	<i>fisQ</i>	N021S	GAAGAICTGGCTTCTGAAAGATGTGTTATGCC	32	N021T	CGATGCCATTAGTCGCCAGTTCAG	27
N022	<i>hdaA</i>	N022S	ACATGCCATGCACTGTAATCTTCAACTAAAGTGAAG	40	N022T	GAAGAICTCCAGAGACCAACGGGAAACTG	29
N023	<i>osmB</i>	N023S	CGATGCCATAACTCTCTCTGAAATTATGATCAC	36	N023T	GAAGAICTGAAAAAAAGCGGAAATGATGTTGGCC	34
N024	<i>adlE</i>	N024S	CGATGCCATAATGCTCTCTGATAATGTTAAC	32	N024T	GAAGAICTCTGCCAACACTACAAAACCTGC	29
N025	<i>cipA</i>	N025S	GAAGAICTGACAAGGGGAGGTGATGATC	29	N025T	CGATGCCATGGACCTCCCCAAATTITATG	31
N026	<i>gadA</i>	N026S	CGATGCCATTGGACTCTTAAATTATTTGAAGG	35	N026T	GAAGAICTTATGCCAGAGATACCCCG	30
N027	<i>gadB</i>	N027S	CGATGCCATTAAATCTTAAATGATTGATCG	35	N027T	GAAGAICTGCCAAATAATAACGCCCGTC	31
N028	<i>gfpD</i>	N028S	GAAGAICTTATAGACCACATAGTGGCCCTG	30	N028T	CGATGCCATGCTGGCTTACATCTTCTTC	27
N029	<i>hlpA</i>	N029S	GAAGAICTCCGCCATAGGCCAGTAATATG	30	N029T	CGATGCCATAAAACTCTTACATCCCCATTG	34
N031	<i>moxA</i>	N031S	GAAGAICTAAAGGAAAGGCCGACGCAAAGC	29	N031T	CGATGCCATGGTAAACCCCTAATGTAACG	29
N032	<i>ompC</i>	N032S	CGATGCCATTGATAAACCTCTGTATAATGCC	32	N032T	GAAGAICTGAGCATTGGTAAATAG	29
N033	<i>ompX</i>	N033S	GAAGAICTCGGCTTCAATGCCAGACG	29	N033T	CGATGCCATAACCCCTAAATGATCAATAAG	35
N034	<i>pspA</i>	N034S	GAGGATCCCCCGCTGCTGACAAACAG	28	N034T	CGATGCCATAATGTTGCTCTGATTCIGC	31
N035	<i>sip</i>	N035S	GAAGAICTCTTACAGACCTGTTACCTCCGATAC	30	N035T	CGATGCCATGTTACTATCTTACAAACAAATAAAAC	38
N036	<i>smaI</i>	N036S	GAAGAICTCCGGAAATCTACACCGTAAAGG	32	N036T	CGATGCCATGATACACCTTACCGGAC	25
N037	<i>treF</i>	N037S	GAAGAICTGCCCTTTATGTTATATG	32	N037T	CGATGCCATAAGGATCACCTCCGGAATTC	30
N038	<i>uspB</i>	N038S	CGATGCCATTTGATAACCTCTGTATAATGCC	26	N038T	GAAGAICTCCGGTATAGGTGAGATAG	29
N039	<i>actA</i>	N039S	GAAGAICTGATGGCGATTATGAGGTAG	32	N039T	CGATGCCATAACCCCTAAATGATCAAG	28
N040	<i>cspD</i>	N040S	CGATGCCATTGCTGACATCTCG	25	N040T	GAAGAICTCAGTCATAAAACCTCCATCGG	32
N041	<i>galE</i>	N041S	CGATGCCATTGCTGACATGGCGCTGATG	31	N041T	GAAGAICTTGTGTTGCTCCACCCGCTG	29
N042	<i>galY</i>	N042S	CGATGCCATCTCCGTTGTTGATTC	32	N042T	GAAGAICTGGTAAACTGATAACGCCG	29
N043	<i>glcC</i>	N043S	CGATGCCATGACTAATCTCTTAACTCUC	34	N043T	GAAGAICTTAACTCTGTCACCGCA	29
N044	<i>hrs</i>	N044S	CGATGCCATTGATGAACTTAAACTTATGGGG	35	N044T	GAAGAICTGGTAAAGGATATCGGTITCCCTTAC	32
N045	<i>hydA</i>	N045S	GAAGAICTCATTAACAAATAACCCCTGAG	33	N045T	CGATGCCATGACGCTCTCTCC	26
N046	<i>rbsB</i>	N046S	GAAGAICTCCGATCTGTTGGCTGGTTGG	30	N046T	CGATGCCATTAGCAAGTGTGAGTC	29
N047	<i>rbsD</i>	N047S	GAAGAICTTATGCGCGGCTGATC	30	N047T	CGATGCCATTGTTCTCCATAGGGAAACG	30
N048	<i>slyD</i>	N048S	CGATGCCATGATATCTCTGAGATGGG	27	N048T	GAAGAICTCATGCCAACCTGACAAATTC	31
N049	<i>stpA</i>	N049S	CGATGCCATAAAAGGAAACCTTTAACGCCAAC	36	N049T	GAAGAICTTAAATACTTAGATAATGCCCTACC	33
N050	<i>wrbA</i>	N050S	CGATGCCATTTGCTGATCTGTTATTC	31	N050T	GAAGAICTTGTGTTCCGGTGTAGGTGAGT	32
N052	<i>ahpC</i>	N052S	GAAGAICTCATTAATTGCTTTCTGACTG	35	N052T	CGATGCCATTAATCTCTCCGTTGTTTC	29
N053	<i>cpxP</i>	N053S	GAAGAICTTTGCTGCTGCTG	28	N053T	CGATGCCATTTGCTCCAAAATCTTCTG	31
N054	<i>cstE</i>	N054S	GAAGAICTCCCCCTTACTCTACCG	29	N054T	CGATGCCATTTCTCCATAGGGAAACG	36
N055	<i>cpxC</i>	N055S	CGATGCCATTGAAAATCTCTAGATGTTCTC	37	N055T	GAAGAICTTGTGTTAGTCTGCTGACTGC	32
N056	<i>cpxE</i>	N056S	GAAGAICTGAGGAAACCTGGGAC	28	N056T	CGATGCCATAAAATCTCTTACATGAAAAGACAC	38
N057	<i>galP</i>	N057S	GAAGAICTTAAAGGAAACCTGGTGGAG	30	N057T	CGATGCCATCTCTGGTAACTCTCGAAAGTG	28
N058	<i>gor</i>	N058S	GAAGAICTGCGGTGCGAAAAGG	28	N058T	CGATGCCATGACAAAGTGTCTATGTTG	29
N059	<i>guaB</i>	N059S	CGATGCCATGGGCAATATCTGACCG	26	N059T	GAAGAICTGGCGTGTGTTAGT	28
N060	<i>katG</i>	N060S	GAGGATCCGGAGTACCGGATTTOCCATAC	30	N060T	CGATGCCATATGCTGTTCTCCCTTAC	26
N061	<i>oxyR</i>	N061S	GAAGAICTGATGTTGGTGTAGCAAGATG	31	N061T	CGATGCCATTAATCTCCATGCC	26
N062	<i>pem</i>	N062S	CGATGCCATTGCTGCAACCTCCCAC	25	N062T	GAAGAICTGTAATGCTGTCATGCG	28
N064	<i>lexA</i>	N064S	CGATGCCATTGCTGCTTCTGTTATGTTAG	32	N064T	GAAGAICTGCTTAACTTAAACATTAATGTAAC	46
N065	<i>phoH</i>	N065S	CGGGATCCGTACAAAAAAAGCTCAATGCCAG	33	N065T	CGATGCCATCCGCCGATCTCAATGAGC	30
N066	<i>ldhA</i>	N066S	CGATGCCATAAGACTTCTCCAGTGTGATC	37	N066T	GAAGAICTCAATTGCTCCAGACAAGAAC	32
N067	<i>ldhB</i>	N067S	CGATGCCATAAACTCTCTGTTACCTACCG	33	N067T	GAAGAICTTGTGTTGTTGCTCC	30
N068	<i>nrdD</i>	N068S	CGATGCCATGATGCCCATATTTAAAGAAC	36	N068T	GAAGAICTCGAAAGGCCACCAAC	29
N069	<i>tag</i>	N069S	GAAGAICTCTGAAATGTCGCGAC	29	N069T	CGATGCCATCAATTCTCCCTGCTATG	31
N070	<i>msyB</i>	N070S	CGATGCCATCACGATCTCCCTTGTGTT	32	N070T	GAAGAICTGATGACTGGGTTGACGTG	28
N071	<i>metE</i>	N071S	GAAGAICTCTGACACTCAATGCCAATG	30	N071T	CGATGCCATTTCTCTTAACTATGTAATCTATG	44
N072	<i>metK</i>	N072S	GAAGAICTCTGAGAAGGCCGAGATG	29	N072T	CGATGCCATATTAACTACCTTAAAGAGAATGTTAG	42
N073	<i>cyaA</i>	N073S	CGATGCCATTAACTTAAACCTCTGAAATCACCG	32	N073T	GAAGAICTCTGTTGCTGGTGTGCTG	28
N074	<i>purB</i>	N074S	CGATGCCATAGACCAACTCCGGGG	28	N074T	GAAGAICTTGTGTTGCGATAC	29
N075	<i>purF</i>	N075S	CGATGCCATACAGCTTCTCTCTGTTAAGCC	33	N075T	GAAGAICTGACAGGGTAAATCTG	29
N076	<i>purT</i>	N076S	GAAGAICTCTGTTGTTATGTTGACCG	30	N076T	CGATGCCATCAAAAGTACCTCTGTAATITCC	35
N077	<i>entB</i>	N077S	GAAGAICTTATGGTTGCTGAGTGGCAAAG	29	N077T	CGATGCCATCTGTTCTCTTCAAGG	30
N078	<i>mpvC</i>	N078S	CGATGCCATCTGAGCCCTTTTTGAACTT	35	N078T	CGGGATCCATTGCTGACCCACCGCAG	30
N079	<i>relB</i>	N079S	CGATGCCATTGCTGACCTCTGTTAACTAACATG	38	N079T	GAAGAICTTGTGTTGCTGGTGTGCTG	31
N080	<i>fixA</i>	N080S	GAAGAICTAACCAAAAGTGGCGAC	30	N080T	CGATGCCATATTGCGTGTGTTAACAGATATC	36
N081	<i>hepA</i>	N081S	CGATGCCATTGCTGCTCATATTTAAATG	35	N081T	GAAGAICTCTTCTGATGCGTACAT	31
N082	<i>marRumarA</i>	N082S	GAAGAICTGGGAAACCTGAAATGATGATC	33	N082T	CGATGCCATGATGAAAGGCAATIG	29
N084	<i>ompG</i>	N084S	GAAGAICTCTGACACCACTGATCTAG	30	N084T	CGATGCCATTTGTTCTCTGTTATCTGGG	32
N085	<i>cpxA</i>	N085S	GAAGAICTCTGAGCAAAATGGAGCTTACG	32	N085T	CGATGCCATAGTGTAACTCTTAAATTAATGIG	37
N086	<i>sfmA</i>	N086S	GAAGAICTGACCAACTGAGCCAC	28	N086T	CGATGCCATATTCTCTTAACTTATCCGAC	36
N087	<i>sfmC</i>	N087S	GAAGAICTGACTGGTACCTCTGTTGTC	29	N087T	CGATGCCATAGTGTAACTGCCGACTGTT	31
N088	<i>aes</i>	N088S	CGATGCCATACAAACCTCTTAACTACGTC	37	N088T	GAAGAICTCACAGGTAACGAGCAACTG	32
N089	<i>acrR</i>	N089S	CGATGCCATTGCTGAACTTACAGGCTGAG	28	N089T	GAAGAICTGCTGAGTGGGCTGAGCAGCT	33
N090	<i>frbA</i>	N090S	CGATGCCATTGCTCTCTGCTGTAATG	31	N090T	GAAGAICTGCTGATGCTGTCATGACTG	29
N091	<i>entC</i>	N091S	GAAGAICTGGAGAAGGCCGAGACG	28	N091T	CGATGCCATACCTCCACAAATGATAAGG	33
N092	<i>yfIC-purB</i>	N092S	CGATGCCATTGCTGACTCTCTTGTGTTAAAG	31	N092T	GAAGAICTCTGCTGTTGCTGGCTGG	30
N093	<i>cpxA-purF</i>	N093S	CGATGCCATTGCTGACGATTTCACCTC	29	N093T	GAAGAICTGCCGAAAATGCGTAAAGTG	32
N094	<i>csID</i>	N094S	GAAGAICTCTGAGAACCTCTCTC	29	N094T	CGATGCCATGAGCTCTTCTGATG	29
N096	<i>hdeB</i>	N096S	CGATGCCATTGCTGAACTTAAATAGAGTATG	41	N096T	GAAGAICTGTTGCTGAAATGTTCTGAG	32
N097	<i>hdeD</i>	N097S	GAAGAICTCTGAGAAGCTGAACTTAAATG	30	N097T	ACATGCCATGAGACCCCTAAATAAGAAG	37
N098	<i>nlpD</i>	N098S	CGATGCCATTCCCCAGGAAATTG	29	N098T	GAAGAICTTGGGATGATGGCAAGGTTG	29
N099	<i>sodA</i>	N099S	GAAGAICTCTGCGGATCAATCCTTAAATATCC	32	N099T	CGATGCCATATTCTCTGCTGTTGCTG	29
N100	<i>sodB</i>	N100S	GAAGAICTCTGAAACCTGAGAACCTG	33	N100T	CGATGCCATTGCTCTCTTAAATTAATG	35
N101	<i>ybgS</i>	N101S	CGATGCCATTGAGATCTGTTGATGTC	28	N101T	GAGGATCTTGGCTGGCGACAGGATC	29
N102	<i>ycfF</i>	N102S	CGATGCCATTGCTGAACTTACAGGCTAATG	32	N102T	GAAGAICTCTGAGTAACTTCTGGCCAAAC	30
N103	<i>ycfG</i>	N103S	CGATGCCATTGCTCTCTGCTGTTG	29	N103T	GAAGAICTGGAATGAGACCCCTAAATAAGAAG	31
N104	<i>yjhJ</i>	N104S	GAAGAICTGCTGGGGATGCTGAGT	28	N104T	CGATGCCATAACAGACTCTCTG	29
N105	<i>yifH</i>	N105S	GAAGAICTGTTGCTTGGACACTTCTGG	29	N105T	CGATGCCATTGCTCTCTGCTTCT	27
N107	<i>yczZ</i>	N107S	GAAGAICTCTGCCCCATATCAATTAAACCTG	34	N107T	ACATGCCATGCTCTGCTTCTTAAATTAAGATG	33
N108	<i>yguU</i>	N108S	CGATGCCATTGCTGAACTTACGTC	29	N108T	GAAGAICTCTGTTAGGTGGCGACAGGAAAC	28
N109	<i>yiaG</i>	N109S	CGATGCCATTGACCCACTGGCTAATC	29	N109T	CGATGCCATTGAAACTCTTAAATCACACTG	31
N110	<i>yfE</i>	N110S	GAAGAICTCTGAGTAACTGCTGTTG	30	N110T	CGATGCCATTGCTGAGCTCTTAAATG	26
N111	<i>fxsA</i>	N111S	GAAGAICTCTGTTGACATGTAACCTTCTCAAG	37	N111T	CGATGCCATTGCTGTTGCTGAAAC	30
N112	<i>galM</i>	N112S	CGATGCCATTGCTCTTGTGTTGATG	27	N112T	GAAGAICTCTGTTGCGACAGGAAACAC	31
N113	<i>hptG</i>	N113S	GAAGAICTCTGATCTGCCAACCAAC	28	N113T	CGATGCCATTGCTGTTGCTTAAATG	30
N114	<i>hptY(htg)</i>	N114S	GAAGAICTCTGCTGAGCGAACAAAC	29	N114T	CGATGCCATTGCTGAGCGACCT	23

N115	<i>cipP</i>	N115S	GAAGAICTTGTGCTCTGGAAAGAACAGGCTG	31	N115T	CGATGCATTTCCGCTCTGGATAAAATIG	30
N116	<i>pbaA</i>	N116S	GAAGAICTGACATGAAAATTCATTGCTAGITG	35	N116T	CGATGCATTTATTCTCCATGTAACAAATAC	32
N117	<i>ataA</i>	N117S	GAAGAICTCTGGTAAACCGTGTATTGCGG	33	N117T	CGATGCATGATTTTCCCTTACATAGTG	32
N118	<i>yceP</i>	N118S	CGATGCATCTGGCCCCCTAACTGTG	27	N118T	GAAGAICTGAAGTACCATAGCGAAACTCTIC	33
N119	<i>livK</i>	N119S	CGATGCATAGTCAAAATCCCATTCTGT	29	N119T	GAAGAICTGTAAACGAGGAAGGGAAATACTC	30
N120	<i>rpmE</i>	N120S	GAAGAICTAGAAAATGCCAAGCAAGAACAG	34	N120T	CGATGCATGGAAAACCTGGTTAAAGG	28
N121	<i>lon</i>	N121S	GAAGAICTTAACTGGAAAGGCGTGTGATCTG	31	N121T	CGATGCATAGACTCTCTTAACTTTC	32
N123	<i>husB</i>	N123S	CGATGCATAACTTCAGGCTGCG	26	N123T	AAGATCTATACCTTCTGGTAACCCCG	29
N124	<i>gst</i>	N124S	CGATGCATCGTTATCTCCAGAGATTAAGG	30	N124T	GAAGAICTCGTTCTCCCTCCGGAC	27
N125	<i>metA</i>	N125S	GAAGAICTGTCACTGGGTGACATC	27	N125T	CGATGCATAACTGGTAACTACATACATAC	31
N126	<i>hfq</i>	N126S	GAAGAICTGGTAAAGGGTAAAGATGAG	32	N126T	CGATGCATCTCTTCTTAACTGTTATTTG	35
N127	<i>kdsA</i>	N127S	GAAGAICTTCACTCGTGCAGTAAACAACG	31	N127T	CGATGCATAGTAAACTGACTTATGGATG	31
N128	<i>ibpA</i>	N128S	CGATGCATAACTAGCTCTGAAATCAG	30	N128T	GAAGAICTGGCAGTAAAAGCTGTTCATC	29
N129	<i>ugpB</i>	N129S	CGATGCATGTTAATCTTGTGTTGACCO	31	N129T	GAAGAICTCTTCCGATCTGGTGAITGC	29
N130	<i>ompA</i>	N130S	CGATGCATTTTGGCCTCGTATCATC	30	N130T	GAAGAICTGGTGTCTGGTGGAG	28
N131	<i>groES</i>	N131S	GAAGAICTAAAACAGCGGAGGTGAC	28	N131T	CGATGCATGTTAATCTCTTGTGAAAGTC	32
N132	<i>fjaM</i>	N132S	CGATGCATGGTTATCTCAATTGAGGCC	28	N132T	GAAGAICTCAAACGAAACGGGACGCC	28
N133	<i>fifF</i>	N133S	GAAGAICTTGAAGTGAATTGGCCCCATC	29	N133T	CGATGCATGGGACCTCTGTG	22
N134	<i>fifC</i>	N134S	CGATGCATCGTTAATCTTATGCAAGTC	33	N134T	GAAGAICTGGGGCTGGAAAGTCGTG	28
N135	<i>fifD</i>	N135S	GAAGAICTTAACTAGACCTGGACAG	29	N135T	CGATGCATGTTTCTTCTGACAGGCTGAC	30
N136	<i>fifD</i>	N136S	CGATGCATATTCCCCAGAGATAACC	28	N136T	GAAGAICTTAAAATGCCAGCCCC	29
N137	<i>fifA</i>	N137S	CGATGCATGATAAAACGGCTGGTATATGAG	33	N137T	GAAGAICTCTGCAATAGTGAAGGGC	30
N138	<i>fifK</i>	N138S	GAAGATCTGACTGATAATGAAACGGGAAGC	32	N138T	CGATGCATGGAGGTCTTAAACGCTTC	29
N139	<i>yabA</i>	N139S	GAAGAICTTAAACCAACCATTGTTAAGG	38	N139T	CGATGCATGACACCTTTAATCTTAACTC	32
N140	<i>ydlZ</i>	N140S	CGATGCATTTTAACTTATTATCAGCCAC	34	N140T	GAAGAICTTGTGAGAAGGATGGGAGAAACTTGC	31
N141	<i>yeaC</i>	N141S	CGATGCATAATTTCGCTGCTCTGOT	27	N141T	GAAGAICTTAATTGTCGAGATGGCAGTTTAC	33
N142	<i>serB(yefO)</i>	N142S	GAAGAICTCTTCTCCTACATACGGCC	29	N142T	CGATGCATGCTGTCATCTGGAA	27
N143	<i>ptsH</i>	N143S	GAAGAICTGTCGATAAGCTGATGGCATC	32	N143T	CGATGCATGTATTTCTTCAATTAGGTTAG	34
N144	<i>epd/gspB</i>	N144S	CGATGCATGATCTCTGCAAGGTTTTC	29	N144T	CGGGATCCGCTGAGGTTGCGATCTTCTG	29
N145	<i>mpvA</i>	N145S	GAAGAICTCACCGGTCAGAACATGC	29	N145T	CGATGCATAAACTGAACTTAAACAAATT	37
N146	<i>pyrG</i>	N146S	CGATGCATGCTGAACTGAGGTTAGG	28	N146T	GAAGAICTGAGGGTAGTACGAAGGGCG	28
N147	<i>aceB</i>	N147S	GAAGAICTGAGCTGCGTGTGACCG	26	N147T	CGATGCATGCTGAGCTCTCTGTC	24
N148	<i>peKA</i>	N148S	GAAGAICTCTGAACTAACCGGTGCAATC	31	N148T	CGATGCATTACTGCTCTTAACTATAG	31
N149	<i>ppmA</i>	N149S	CGATGCATGAAACAACTTCTTGTGATAATG/AAC	35	N149T	GAAGAICTCAAACGTTGCGATCAACGCAATT	33
N150	<i>emR</i>	N150S	CGATGCATGAAATATTAGGAAATAATATTGCA	40	N150T	GAAGAICTGAGCTGGTAGCTTCTTCT	29
N151	<i>glfF</i>	N151S	GAAGAICTGAGTGGCCCTTGTG	29	N151T	CGATGCATGACACCTTTAATCTTAAACAAATT	34
N152	<i>ihI</i>	N152S	GAAGAICTGCACTGAACTGAGGTGAC	29	N152T	CGATGCATGGCTGCTGCACTTGTG	26
N153	<i>rhdD</i>	N153S	GAAGAICTTAAAGGGTCAAGATAGTA	30	N153T	CGATGCATATAAGGGCTTCTTGTATGTT	34
N154	<i>yhdO</i>	N154S	CGATGCATACACTTCCGTTAATTCTTC	34	N154T	GAAGAICTGGGTGATTCGCAAAAGTG	30
N155	<i>ygeL</i>	N155S	CGATGCATTGTCCTCCATATGCTCC	29	N155T	GAAGAICTGGTAGGGCTGAGGTT	28
N156	<i>yjP</i>	N156S	CGATGCATAAACTGGCTTGTAGAC	29	N156T	GAAGAICTAACCTTCTGACCTTAAACCCCTT	32
N157	<i>yjQ</i>	N157S	GAAGAICTGCTGATAATCTGTATATGCG	31	N157T	CGATGCATATTCTCCACATCACTGTC	29
N158	<i>exaT</i>	N158S	GAAGAICTAAACGATAGCTCCCAATCTG	32	N158T	CGATGCATAAACTGTTGCTTAATCCTGG	29
N159	<i>yjR</i>	N159S	CGATGCATGAGGGCTTCAAGATAGTA	30	N159T	GAAGAICTGAGACAAGGCTTATGCGAT	30
N160	<i>rplN</i>	N160S	CGATGCATTAGTCGCTCCGCTAATGTCAC	31	N160T	GAAGAICTCGGATCTGCAAGTGGCG	27
N162	<i>rplL</i>	N162S	CGATGCATTAATACTCTGTTGACCTTGTG	34	N162T	GAAGAICTGGTAGATCCGCAAGACCC	28
N163	<i>rpkM</i>	N163S	GAAGATCTGGGCTTACATGGGGTAC	26	N163T	CGATGCATATAAACTTCAAGTGGATAAAC	35
N164	<i>rpsA</i>	N164S	GAAGAICTCACAACTGGGGCATCC	27	N164T	CGATGCATTTTCAAGTGGACCTTAC	37
N165	<i>rpsB</i>	N165S	GAAGAICTCATCCAGCACCTTCGGC	28	N165T	CGATGCATGATAAAACCTTATATAAAAGTGGG	35
N166	<i>dnaX</i>	N166S	GAAGATCTGGGGTGTGCTTGTGAC	26	N166T	CGATGCATGGCGAGGCTCTGAAACG	25
N167	<i>gyrA</i>	N167S	GAAGAICTCAACGCCCATATCAGACC	27	N167T	CGATGCATCTACCGCTATCTCTAC	27
N183	<i>sgtT</i>	N183S	GAAGAICTGTTACCGTGTACTTGTG	29	N183T	CGATGCATCTCTCTGAACTTAAAGTAC	33
N184	<i>yeaC</i>	N184S	GAAGAICTGGCAGCGTGTGAAATC	27	N184T	CGATGCATGGCTCCCTGTC	24
N185	<i>yedM</i>	N185S	GAAGAICTCGAGACTTCACTGTCAG	28	N185T	CGATGCATTTTCACTGAGCCGG	24
N186	<i>yjQ</i>	N186S	GAAGAICTTCTGGCTGAGTGTGACTG	26	N186T	CGATGCATGAGCTTCCGATAAAATTG	29
N187	<i>yjR</i>	N187S	GAAGAICTCCGGTTGAGGTGCTG	26	N187T	CGATGCATGGCCATTACCTTCATGATAG	29
N188	<i>ydeK</i>	N188S	GAAGAICTCATGAGCTGTGCTGTTG	29	N188T	CGATGCATATAACGCTTCCATACAAACATAC	34
N189	<i>ygeR</i>	N189S	GAAGAICTCGTGTAGCTGCCCC	29	N189T	CGATGCATATACTTCTCGCTTAAAAACAGAC	35
N190	<i>sdhA (ygeS)</i>	N190S	GAAGAICTCCGGCAAACAGCTGCAAC	28	N190T	CGATGCATGAGTAACTCCAGCTGG	25
N191	<i>rhlE</i>	N191S	GAAGAICTGGAGATAACTGCTGAGGTG	31	N191T	CGATGCATAACTCTGCAACGGC	25
N199	<i>yhfM/rfp</i>	N199S	GAAGAICTCTCTGAACTGCTGCAATG	28	N199T	CGATGCATGCGATTTCCGCG	24